

**VILLE DE LIÈGE**

**Institut de Technologie  
Enseignement de Promotion sociale**

Année académique 2021 – 2022

**Développement d'un codec audio AAC :  
optimisation de l'algorithme MDCT  
pour l'architecture ARM**

Étudiante :

**Laura Binacchi**

Lieu de stage :

**EVS Broadcast Equipment**

Rue du Bois Saint-Jean 13, 4102 Ougrée

Maître de stage :

**Bernard Thilmant**

Software Engineer

Épreuve intégrée présentée pour l'obtention du diplôme de  
**BACHELIER.E EN INFORMATIQUE ET SYSTÈMES**  
**FINALITÉ : INFORMATIQUE INDUSTRIELLE**

*À mon père*

## Remerciements

De nombreuses personnes m'ont accompagnée durant la réalisation de ce travail et ont contribué, chacune à leur manière, à la réussite de ce projet.

Merci à Bernard Thilmant et Frédéric Lefranc pour leur disponibilité tout au long de mon stage.

Merci à Justin Mannesberg de m'avoir fait confiance pour la réalisation de ce travail.

Merci aux enseignants de l'ITLg pour ces années enrichissantes : An Dang, Pol Godelaine, Eric Bosly, et tout particulièrement Annick Delanaye qui m'a accompagnée avec bienveillance dans les moments les plus difficiles de la rédaction de ce travail.

Merci à mes relecteurs, en particulier aux deux plus assidus d'entre eux, Vincent et Benjamin, qui ont patiemment corrigé tous mes spectres de fréquence et vérifié toutes les connections de ce travail comme des précédents.

Merci à Christine et Valérie pour leur soutien et leurs encouragements.

Enfin un immense merci à Benjamin dont la présence rend ma vie plus douce depuis plus de quatre ans.

## Table des matières

<b>Glossaire</b>	<b>4</b>
<b>Introduction</b>	<b>7</b>
<b>1 EVS Broadcast Equipment</b>	<b>8</b>
1.1 Présentation d'EVS et du département R&D	8
1.2 Le serveur XT	8
<b>2 Les codecs audio</b>	<b>10</b>
2.1 L'encodage audionumérique	10
2.2 Définition d'un codec	10
2.3 Les codecs MPEG	10
2.4 Les modèles psychoacoustiques	11
<b>3 Le codec AAC</b>	<b>13</b>
3.1 Fonctionnement de l'encodeur AAC	13
3.2 Le bloc MDCT	14
<b>4 Environnement de développement</b>	<b>15</b>
<b>5 Algorithmes MDCT de référence</b>	<b>17</b>
5.1 Description mathématique de la MDCT	17
5.2 Implémentations des MDCT de référence en <i>floating point</i> et <i>fixed point</i>	17
5.3 Validation des MDCT de référence	18
<b>6 Algorithme MDCT basé sur la FFT</b>	<b>23</b>
6.1 Utilisation de la librairie <i>FFTW3</i>	23
6.2 Implémentation de la MDCT basée sur la FFT de la librairie <i>FFTW3</i>	23
6.3 Validation de la MDCT <i>FFTW3 float 32</i>	24
<b>7 Intégration de la librairie <i>Ne10</i></b>	<b>26</b>
7.1 Choix de la librairie	26
7.2 Implémentation de la MDCT basée sur la FFT <i>Ne10</i> en <i>float 32</i>	26
7.3 Validation de la MDCT <i>Ne10 float 32</i>	27
7.4 Performances des FFT	28
<b>8 Algorithme MDCT en arithmétique <i>fixed point</i></b>	<b>30</b>
8.1 Arithmétique <i>fixed point</i>	30
8.2 Implémentation de la MDCT basée sur la FFT <i>Ne10</i> en arithmétique <i>fixed point</i>	31
8.2.1 Utilisation de la FFT <i>Ne10</i> en <i>int 32</i>	31
8.2.2 Initialisation des <i>twiddle factors</i>	32
8.2.3 Opérations de <i>pre-twiddling</i> et de <i>post-twiddling</i>	32
8.3 Validation de la MDCT <i>Ne10 fixed point plain C</i>	33
8.4 Performances de l'arithmétique <i>fixed point</i>	34

<b>9 Optimisations à l'architecture ARM</b>	<b>36</b>
9.1 Instructions ARM NEON . . . . .	36
9.2 Implémentation de la MDCT basée sur la FFT de <i>Ne10</i> en arithmétique <i>fixed point</i> avec optimisations NEON . . . . .	39
9.2.1 Séparation du tableau de facteurs de <i>twiddling</i> . . . . .	39
9.2.2 Utilisation de la FFT optimisée NEON . . . . .	40
9.2.3 Organisation des données du signal temporel . . . . .	40
9.2.4 Pre-processing . . . . .	41
9.2.5 Post-processing . . . . .	42
9.3 Validation . . . . .	43
9.4 Performances . . . . .	44
<b>10 Analyse des résultats</b>	<b>45</b>
10.1 Protocole de validation . . . . .	45
10.2 Performances des MDCT . . . . .	48
<b>11 Pistes d'amélioration</b>	<b>51</b>
<b>Conclusion</b>	<b>53</b>
<b>Références</b>	<b>55</b>

## Table des figures

1	Vues avant et arrière (en configuration IP) de l'XT-VIA . . . . .	8
2	Vue simplifiée d'un codec MPEG basé sur un modèle psychoacoustique . . . . .	11
3	Effets de masque dans le domaine fréquentiel . . . . .	12
4	Schéma fonctionnel de l'encodeur AAC . . . . .	13
5	Raspberry Pi 4 . . . . .	15
6	Fonction <code>ref_float_mdct</code> . . . . .	18
7	Fonction <code>ref_int_mdct</code> . . . . .	18
8	Signal sinusoïdal à 440 Hz codé en <i>floating point</i> ( <i>float</i> et <i>double</i> ) . . . . .	19
9	Spectres de fréquences générés par les MDCT de référence en <i>floating point</i> (440 Hz) . . . . .	20
10	Signal sinusoïdal à 440 Hz codé en <i>fixed point</i> (Q15) . . . . .	21
11	Spectre de fréquences généré par la MDCT de référence en <i>fixed point</i> (440 Hz) . . . . .	21
12	Schéma fonctionnel de la MDCT . . . . .	23
13	Fonction <code>ftw3_mdct_f32</code> . . . . .	24
14	Spectre de fréquences généré par la MDCT FFTW3 <i>float</i> comparé au spectre de référence (440 Hz) . . . . .	25
15	Fonction <code>ne10_mdct_f32</code> . . . . .	27
16	Spectre de fréquences généré par la MDCT Ne10 <i>float</i> 32 comparé au spectre de référence (440 Hz) . . . . .	28
17	Fonction <code>ne10_mdct_i32_c</code> . . . . .	31
18	Spectre de fréquences généré par la MDCT Ne10 i32 <i>plain C</i> comparé au spectre de référence (440 Hz) . . . . .	34
19	Fonctionnement d'une instruction SIMD ( <i>Single Instruction on Multiple Data</i> ) . . . . .	37
20	Banque de registres partagée entre NEON et VFP . . . . .	37
21	Instruction NEON <code>VADD.I16</code> . . . . .	38
22	Fonction <code>ne10_mdct_i32_neon</code> . . . . .	39
23	Séparation du tableau de facteurs de <i>twiddling</i> . . . . .	39
24	Fonctionnement de l'instruction <code>VLD2.16{D0, D1}, [R0]</code> . . . . .	40
25	Inversion des données dans un vecteur de quatre éléments . . . . .	41
26	Fonctionnement de l'instruction <code>VST2.32 {D0, D1}, [R0]</code> . . . . .	42
27	Spectre de fréquences généré par la MDCT Ne10 i32 NEON comparé au spectre de référence (440 Hz) . . . . .	43
28	Spectre de fréquences généré par la MDCT Ne10 i32 NEON comparé au spectre de référence (10 kHz) . . . . .	45
29	Signal temporel composé de deux sinus d'amplitude différente à 440 et 880 Hz . . . . .	46
30	Spectre de fréquences généré par la MDCT Ne10 i32 NEON pour un signal composé de deux sinus d'amplitude différente . . . . .	47
31	Signal temporel composé de sinus à 440 Hz, 880 Hz, 4.4 kHz, 8.8 kHz et 17.6 kHz . . . . .	47
32	Validation de la génération d'un spectre composé de multiples fréquences . . . . .	48
33	Window function (MLT) . . . . .	51
34	Comparaison des spectres de fréquences générés par la MDCT avec et sans MLT (440 Hz) . . . . .	52

## Glossaire

### AAC

Advanced Audio Coding, codec audio défini par les normes MPEG-2 partie 7 et MPEG-4 partie 3.

### ARM

Advanced RISC Machines, type d'architecture de processeur à faible coût et à faible consommation en énergie.

### ARM NEON / Advanced SIMD

Jeu d'instructions SIMD spécifique à l'architecture ARM (ARMv7 et ARMv8).

### Broadcast

Diffusion, utilisé dans ce travail pour désigner le domaine de la diffusion audiovisuelle.

### CMake

Système de construction logicielle multiplateforme. Il permet de vérifier les prérequis nécessaires à la construction et de déterminer les dépendances entre les différents composants d'un projet afin de planifier une construction ordonnée et adaptée à la plateforme.

### Codec

Procédé logiciel composé d'un encodeur (*coder*) et d'un décodeur (*decoder*).

### DCT

Discrete Cosine Transform, type de transformation utilisée pour l'analyse fréquentielle d'un signal.

### DFT

Discrete Fourier Transform, type de transformation utilisée pour l'analyse fréquentielle d'un signal.

### Dépassement

Phénomène survenant lorsqu'une opération mathématique produit une valeur numérique supérieure à celle représentable dans l'espace de stockage disponible : le résultat de l'opération est alors un nombre de signe opposé à la valeur attendue.

### FFT

Fast Fourier Transform, type de transformation utilisée pour l'analyse fréquentielle d'un signal.

### FFTW3

Librairie permettant de calculer des transformées de Fourier de tailles variables, à une ou plusieurs dimensions, en complexes ou en réels.

### Fixed point

Méthode d'encodage de nombres possédant un nombre fixe de chiffres avant et après la virgule.

### Floating point

Méthode d'encodage de nombres réels utilisée par les ordinateurs, équivalente à la notation scientifique en numération binaire.

### Fonction intrinsèque (intrinsic)

Terme utilisé pour qualifier les fonctions implémentées directement par le compilateur, par opposition aux fonctions fournies par des bibliothèques.

**FPU**

Floating Point Unit, coprocesseur mathématique conçu pour réaliser des opérations mathématiques en floating point.

**GCC**

GNU C Compiler, compilateur des langages C et C++.

**Headroom**

La headroom est la capacité d'un système de traitement de signal à dépasser ses limites sans être endommagé. Ce terme est utilisé ici pour désigner la marge de valeurs inutilisées à l'encodage du signal.

**MDCT**

Modified Discrete Cosine Transform, type de transformation utilisée pour l'analyse fréquentielle d'un signal.

**MLT**

Modulated Lapped Transform, fonction de fenêtre propre à la MDCT.

**MPEG**

Moving Picture Experts Group, groupe d'experts à l'origine de normes d'encodage, de décodage et de transmission de données audiovisuelles.

**Ne10**

Librairie de fonctions de traitement de signal optimisée pour les processeurs ARM supportant les instructions NEON.

**Overlap**

Chevauchement, la MDCT utilise des fenêtres d'échantillons avec overlapping : la seconde moitié de la fenêtre analysée correspond à la première moitié de la fenêtre suivante.

**PCM**

Pulse-Code Modulation, numérisation de signal audio sans perte d'information.

**Raspberry PI**

Le Raspberry Pi est un nano-ordinateur monocarte à processeur ARM.

**Saturation**

Lors d'une opération mathématique, si la valeur résultante sort de la limite des nombres représentables, au lieu de causer un dépassement, elle garde la valeur de la limite de son encodage.

**SBC**

Single-board computer, ordinateur construit sur un seul circuit.

**SIMD**

Single Instruction on Multiple Data.

**SSH**

Secure SHELL, protocole de connexion réseau.



**TDAC**

Time-domain Aliasing Cancellation.

**Transtypage (cast)**

Conversion d'un type à un autre, pouvant, dans certains cas, engendrer un changement d'encodage.

**Twiddling**

Les opérations de twiddling sont les opérations de réarrangement des données de la MDCT effectuées autour de l'appel à la FFT.

**VFP**

Vector Floating Point, type de FPU spécifique à l'architecture ARM.

**Window function**

Fonction appliquée à une fenêtre d'un signal temporel avant son analyse fréquentielle dans le but d'améliorer cette analyse.

**Wrapper**

Un conteneur (wrapper en anglais) est un fichier pouvant contenir divers types de données. Les spécifications du format conteneur décrivent la façon dont sont organisées les données à l'intérieur du fichier.

## Introduction

Ce travail présente les résultats d'un stage consacré à l'optimisation de l'encodeur audio AAC (*Advanced Audio Coding*). Il s'inscrit dans la continuité du travail d'analyse de Wafaa Heddari, étudiante qui m'a précédée au sein de l'équipe Hardware-Firmware d'EVS. Son stage a débouché sur une synthèse d'optimisations possibles du codec AAC. Le mien a eu pour but d'en concrétiser certaines.

Il a été décidé que mon stage se concentrerait sur le bloc MDCT (*Modified Discrete Cosine Transform*) de l'encodeur AAC. La MDCT est le bloc de transformation du signal audio du domaine temporel vers le domaine fréquentiel. La compression du codec AAC repose sur l'utilisation d'un modèle psychoacoustique qui détermine les informations à éliminer en partie sur base de l'analyse fréquentielle du signal.

L'algorithme MDCT développé dans ce travail est un algorithme basé sur un autre type de transformation : la FFT (*Fast Fourier Transform*). Mon travail a débuté par l'implémentation, sur base d'un code d'exemple, de cet algorithme. Ce code d'exemple a ensuite été adapté à l'utilisation de la FFT de la librairie *Ne10*.

Une des optimisations de la MDCT consiste à passer d'une arithmétique *floating point* à une arithmétique *fixed point*. La logique à mettre en œuvre pour les opérations en *floating point* est plus lourde que celle des opérations sur des entiers. L'arithmétique *fixed point* offre généralement des performances plus intéressantes pour les applications de traitement du signal. Ce travail montrera que ce n'est pas le cas pour les processeurs équipés d'un FPU (*Floating Point Unit*) performant comme celui du processeur ARM.

L'utilisation d'instructions SIMD (*Single Instruction on Multiple Data*) est l'optimisation qui permettra réellement à l'algorithme de gagner en performance. Les instructions SIMD reposent sur le principe de vectorisation des données pour pouvoir opérer simultanément une même instruction sur plusieurs données. Les opérations SIMD spécifiques au processeur ARM sont appelées ARM NEON ou *Advanced SIMD*.

La MDCT a été développée spécifiquement pour une architecture reposant sur un processeur ARM. C'est l'architecture utilisée pour la nouvelle génération du serveur XT-VIA d'EVS, serveur pour lequel est développé le codec AAC. Tous les tests ont été réalisés sur un Raspberry Pi 4 équipé d'un processeur ARMv7.

Les différentes itérations de la MDCT ont été testées dans le double objectif de gagner le maximum de performance tout en perdant le moins possible en précision. Les données de sortie des MDCT ont systématiquement été validées par comparaison avec les spectres de fréquences générés par un algorithme de référence. Ces comparaisons sont présentées pour chaque étape du développement. La section consacrée au protocole de validation présente les résultats pour la dernière itération de la MDCT générés avec un panel plus complet de signaux d'entrée.

Les performances constituent l'aspect le plus important du développement. La qualité des données audiovisuelles et leur quantité sont de plus en plus importantes. Dans le *broadcast*, les codecs sont utilisés en boucle sur de nombreux flux de données en parallèle. La production en *live* a des exigences de temps réel pour les enregistrements et les diffusions.

Les itérations de la MDCT développées au cours de ce travail sont toutes présentées en annexes. L'aboutissement de mon stage est une implémentation de la MDCT basée sur la FFT de la librairie *Ne10* en arithmétique *fixed point* avec optimisations NEON (annexe L).

# 1 EVS Broadcast Equipment

## 1.1 Présentation d'EVS et du département R&D

Mon stage s'est déroulé au sein de la société EVS Broadcast Equipment. EVS est une entreprise d'origine liégeoise devenue internationale. Fondée en 1994 par Pierre L'Hoest, Laurent Minguet et Michel Counson, EVS compte aujourd'hui plus de 600 employés dans plus de 20 bureaux à travers le monde mais son siège principal se situe toujours à Liège[1].

EVS est devenu leader dans le monde du *broadcast* avec ses serveurs permettant l'accès et la diffusion instantanée de données audiovisuelles. L'entreprise est également célèbre pour ses ralentis instantanés. Ces technologies sont utilisées pour la production live des plus importants événements sportifs dans le monde : le matériel EVS est notamment utilisé pour la retransmission des Jeux Olympiques depuis 1998.

Plus de 50% des employés d'EVS travaillent en recherche et développement afin de répondre au marché du *broadcast* en constante évolution. Outre ses solutions techniques innovantes, EVS se différencie de ses concurrents par la proximité entretenue avec les clients en leur proposant des solutions à l'écoute de leurs besoins et en leur offrant un service de support de qualité.

C'est en R&D, dans l'équipe Hardware-Firmware, que s'est déroulé mon stage. Sous la direction de Justin Mannesberg, cette équipe se compose d'une vingtaine d'employés spécialisés en développement embarqué et en développement FPGA (*Field-programmable gate array*). La situation particulière dans laquelle s'est déroulé mon stage, en pleine pandémie de Covid et alors que tous les employés étaient confinés, ne m'a pas permis d'interagir avec beaucoup de membres de l'équipe ni de pouvoir observer leur travail. Bernard Thilmant (Software Engineer dans l'équipe Hardware-Firmware) a cependant réussi à m'apporter le soutien nécessaire à la bonne réalisation de mon stage : il m'a permis de m'initier au C++, m'a aidée à ne pas me perdre dans les concepts parfois complexes de l'encodage audio et m'a aidée à apporter la rigueur scientifique nécessaire à la réalisation de mon travail. J'ai également pu bénéficier de l'expertise technique de Frédéric Lefranc (Principal Embedded System Architect dans l'équipe Hardware-Firmware) ainsi que du suivi de Justin Mannesberg (Manager de l'équipe Hardware-Firmware).

## 1.2 Le serveur XT



FIGURE 1 – Vues avant et arrière (en configuration IP) de l'XT-VIA

EVS développe et commercialise de nombreux produits allant des serveurs de production aux interfaces permettant d'exploiter des données audiovisuelles ou de monitorer des systèmes de production[2]. Le serveur de production *live* XT est un des produits emblématiques d'EVS. Il permet de stocker de grandes quantités de données audiovisuelles et d'y accéder en temps réel. La *remote* LSM (*Live Slow Motion*) permet d'accéder aux contenus des serveurs XT afin de créer les ralentis pour lesquels EVS est célèbre dans le monde.

Le serveur XT a connu plusieurs versions : XT, XT2, XT2+, XT3 et enfin l'XT-VIA. L'XT-VIA (figure 1), la plus récente version du serveur XT, en quelques informations clés[2] :

- offre un espace de stockage de 18 à 54 TB, soit plus de 130h d'enregistrement en UHD-4K;
- dispose de 2 à plus de 16 canaux selon le format choisi : 2 canaux en UHD-8K (4320p), 6 canaux en UHD-4K (2160p) et plus de 16 canaux en FHD and HD (720p, 1080i, 1080p);
- permet une configuration hybride de ses entrées et sorties en IP (10G Ethernet SFP+, 100G en option, ST2022-6, ST2022-7, ST2022-8, ST2110, NMOS IS-04, IS-05, EMBER+, PTP) ou SDI (1.5G-SDI, 3G-SDI et 12G-SDI);
- supporte de nombreux formats d'encodage vidéo : UHD-4K (XAVC-Intra et DNxHR), HD/FHD (XAVC-I, AVC-I, DNxHD et ProRes), PROXY (MJPEG et H264);
- peut enregistrer 192 canaux audio non compressés et supporte les standards AES et MADI;
- offre de nombreuses possibilités de connexion, avec du matériel EVS ou non.

C'est pour la dernière génération du serveur XT, l'XT-VIA, que le codec AAC est développé. La compression avec perte de données de ce codec permet d'optimiser l'espace occupé par les données audio sans en altérer la qualité perçue. Outre la qualité audio, les performances de l'encodage sont importantes à prendre en compte pour permettre l'enregistrement de plusieurs canaux en parallèle tout en conservant un traitement de l'information qui tienne le temps réel. L'optimisation des performances doit tenir compte de l'architecture de l'XT-VIA : le processeur ARM remplace le processeur Intel de ses prédécesseurs avec des différences importantes dans le jeu de fonctions intrinsèques disponibles.

## 2 Les codecs audio

### 2.1 L'encodage audionumérique

Le son est un phénomène physique. Les microphones transforment la pression acoustique en une tension. Pour pouvoir la transmettre et travailler dessus, cette tension va être numérisée par un système de conversion analogique-numérique (DAC, *Digital-to-Analog Converter*)[3].

L'oreille humaine perçoit au mieux les fréquences entre 20 Hz et 20 kHz. Les systèmes audio sont donc toujours limités à cette bande passante, avec une fréquence d'échantillonnage typiquement à 44.1 kHz ou à 48 kHz pour respecter le théorème de Nyquist-Shannon et éviter les phénomènes de recouvrement (*aliasing*).

Le signal compris dans cette bande de fréquences est quantifié : une valeur numérique lui est attribuée en fonction de son amplitude. La donnée audio peut alors être traitée ou enregistrée.

La transformée de Fourier offre une représentation fréquentielle du signal audio temporel. Cette transformation repose sur le principe que tout signal périodique peut être représenté par une somme de composantes sinusoïdales ou cosinusoidales.

### 2.2 Définition d'un codec

Un codec est un procédé logiciel composé d'un encodeur (*coder*) et d'un décodeur (*decoder*)[4]. Un codec audio permet donc, d'une part, de coder un signal audio dans un flux de données numériques et, d'autre part, de décoder ces données afin de restituer le signal audio d'origine.

La compression audio réduit la quantité d'information contenue dans un flux audionumérique (*bistream*). La quantité de données à stocker limite les possibilités des systèmes audio. Les limitations dues à la taille des données sont un enjeu encore plus grand pour la transmission des données, limitée en bande passante[3].

La compression audio peut se faire avec perte (*lossy*) ou sans perte (*lossless*). L'encodage PCM, par exemple, est dit sans perte puisque la totalité de l'information sonore est encodée et peut être retrouvée au décodage. L'encodage avec perte supprime les données inaudibles d'un signal. Il permet théoriquement de retrouver la même qualité sonore perçue au décodage sans reproduire toutes les données captées.

### 2.3 Les codecs MPEG

MPEG (*Moving Picture Experts Group*) désigne une alliance de différents groupes de travail définissant des normes d'encodage, de compression, de décompression et de transmission de média audio, vidéo et graphiques[5]. MPEG est actif depuis 1988 et a produit depuis de nombreuses normes.

Les codecs audio qui implémentent les normes MPEG ont pour point commun d'être des codecs avec perte de données basés sur un modèle psychoacoustique (section 2.4). Le premier est le MP3, défini par la norme MPEG-1 Layer-3 ISO/IEC 11172-3 :1993. Le codec AAC est conçu en 1997 pour remplacer le MP3[6]. Il est défini par les normes MPEG-2 partie 7 ISO/IEC 13818-7 :2006[7] et MPEG-4 partie 3 ISO/IEC 14496-3 :2019[8].

Les normes MPEG définissent les grandes lignes de l'encodage et du décodage ainsi que le format du conteneur (*wrapper*). Elles ne définissent pas l'implémentation du codec, qui peut de ce fait être plus ou moins performant. Les codecs MPEG sont typiquement composés des blocs suivants[9] :

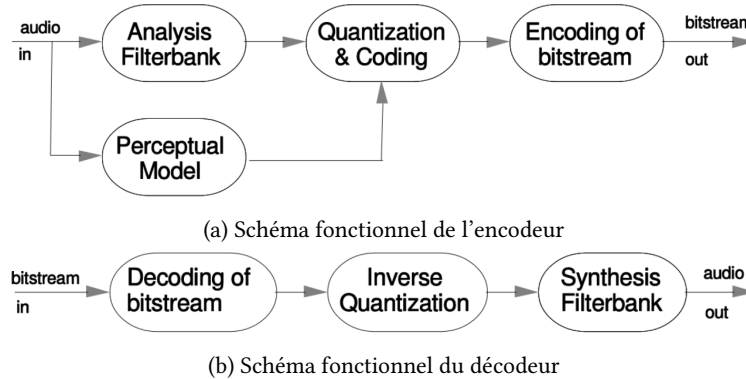


FIGURE 2 – Vue simplifiée d'un codec MPEG basé sur un modèle psychoacoustique

**filter bank** la banque de filtres décompose le signal temporel d'entrée en différentes composantes fréquentielles

**perceptual model** le modèle psychoacoustique utilise le signal temporel et/ou sa décomposition fréquentielle pour éliminer les données audio dont l'absence ne nuira pas à la qualité perçue à l'écoute

**quantization and coding** la quantification attribue une valeur numérique aux données du spectre de fréquences : elles sont typiquement codées avec une méthode entropique qui peut être optimisée avec le modèle psychoacoustique

**encoding of bitstream** les données sont formatées en un flux contenant typiquement le spectre de fréquences codé et des informations supplémentaires permettant l'encodage

Le décodeur a un fonctionnement inverse : le flux de données est décodé (**decoding of bitstream**), les composantes fréquentielles du signal sont retrouvées par l'opération inverse à la quantification (**inverse quantization**) et ces sous-bandes fréquentielles sont finalement rassemblées pour reconstituer le signal temporel (**synthesis filter bank**).

Le fonctionnement du décodeur ne sera pas plus développé dans ce travail car le bloc MDCT fait partie de la banque de filtres de l'encodeur. Le fonctionnement spécifique de l'encodeur AAC sera par contre détaillé un peu plus dans la section 3.

## 2.4 Les modèles psychoacoustiques

La section précédente a défini les codecs MPEG comme étant basés sur un modèle psychoacoustique. La psychoacoustique est une branche de la psychophysique qui étudie la manière dont l'oreille humaine perçoit le son[10]. Cette discipline permet d'améliorer la compression d'un signal audio en éliminant les sons qui sont captés par un microphone mais qui ne peuvent pas être perçus par l'oreille humaine. Les avancées dans cette discipline permettent de développer des encodeurs audio de plus en plus performants. Les codecs basés sur un modèle psychoacoustique sont toujours des codecs avec perte puisqu'une partie des informations auditives sera définitivement perdue, ce qui ne nuit pour autant pas à la qualité perçue du son.

L'encodage audionumérique tient déjà compte des seuils de fréquences humainement audibles pour limiter les données audio enregistrées (cf. section 2.1) : aucun son n'est perçu en deçà de 20 Hz ou au-delà de 20 kHz. La psychoacoustique permet de mieux dessiner la limite entre ce qui est humainement audible ou non afin d'éliminer un maximum des informations non pertinentes et ainsi augmenter le facteur de compression des données : le facteur de compression des codecs MPEG est environ 15 fois supérieur à celui du CD[11].

Les effets de masque sont au centre des différents modèles psychoacoustiques utilisés pour la compression audio. L'enjeu afin d'obtenir le meilleur taux de compression est de calculer le plus finement possible les seuils de masquage, i.e. la limite entre les informations pertinentes et celles qui peuvent être éliminées. Les effets de masque dans le domaine fréquentiel (*spectral masking effects*) sont parmi les plus utilisés mais il en existe d'autres, e.g. dans le domaine temporel.

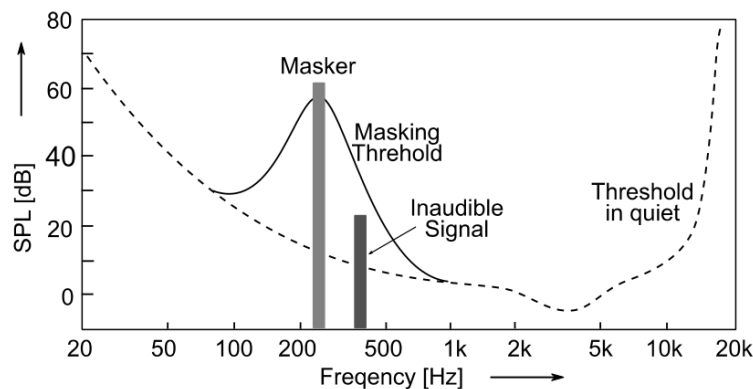


FIGURE 3 – Effets de masque dans le domaine fréquentiel

La figure 3 représente différents effets de masques du domaine fréquentiel :

- la ligne en pointillés représente le seuil de masquage dans le silence : en deçà de ce seuil, aucun son n'est audible pour l'oreille humaine[12] ;
- la ligne pleine représente le seuil de masquage lié à la composante fréquentielle : le son d'intensité plus forte représenté sur le graphique masque le son d'intensité plus faible[13].

Ces quelques explications montrent déjà en quoi l'analyse fréquentielle d'un signal est essentielle au système audio. Combinée au modèle psychoacoustique de l'encodeur, elle permet une compression plus efficace des données. Elle contribue ainsi à augmenter les capacités de traitement du système audio.

### 3 Le codec AAC

#### 3.1 Fonctionnement de l'encodeur AAC

L'étudiante qui m'a précédée en stage présente dans son travail d'analyse une étude complète de l'encodeur AAC et des normes MPEG qui le définissent[14]. L'objectif de cette section est d'introduire brièvement le fonctionnement global de l'encodeur AAC avant de consacrer le reste du travail au bloc MDCT.

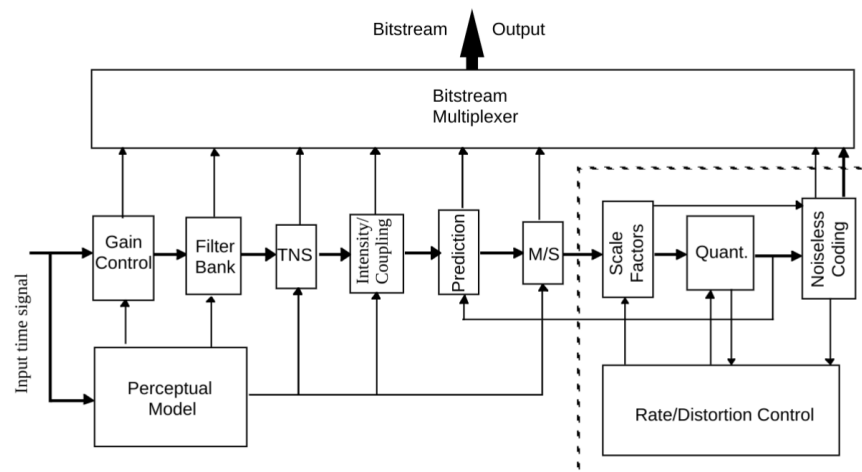


FIGURE 4 – Schéma fonctionnel de l'encodeur AAC

L'encodeur AAC est composé des blocs suivants (figure 4)[9] :

**Gain control** bloc actif seulement sur le profil SSR (*Scalable Sampling Rate*) de l'encodeur pour décomposer le signal en quatre bandes fréquentielles avant son traitement ;

**Filter bank** la banque de filtres de l'AAC se base sur la MDCT (section 3.2) ;

**Perceptual model** le modèle psychoacoustique réduit les données encodées à partir du signal temporel et de son analyse fréquentielle ;

**TNS (*Temporal Noise Shaping*)** bloc de réduction du bruit particulièrement efficace pour l'encodage des voix humaines ;

**Prediction** outil utilisé seulement pour le profil principal de l'encodeur qui permet d'améliorer l'encodage de sons se rapprochant de sons purs ;

**M/S (*mid/side*)** bloc utilisé pour l'encodage stéréo ;

**Quantization** quantification des valeurs codées basée sur une table de Huffman améliorée ;

**Noiseless coding** encodage des données basé sur une méthode entropique en évitant d'introduire du bruit ;

**Bitstream multiplexer** le *bitstream* est multiplexé à partir des données quantifiées et codées du spectre de fréquences et d'autres informations issues des différents autres blocs.



### 3.2 Le bloc MDCT

Les transformations de type DFT (*Discrete Fourier Transform*) ou DCT (*Discrete Cosine Transform*), aussi appelées *block transforms*, fonctionnent sur base d'une fenêtre d'échantillons temporels dont elles permettent de représenter les composantes fréquentielles[15].

Les *block transforms* produisent des *blocking artifacts* : des discontinuités peuvent apparaître dans le signal à cause de la coupure nette entre les différents blocs analysés. Pour atténuer ces artéfacts, il est possible d'arrondir les valeurs aux extrémités du bloc analysé avec une *window function* (fonction de fenêtre). Certains échantillons seront alors dupliqués. La transformation est dite avec *overlap* car les parties aux extrémités du bloc analysé correspondent aux échantillons des blocs voisins[16].

La particularité de la MDCT est de proposer un *overlapping* qui ne produise pas d'échantillons supplémentaires. La banque de filtres de la MDCT repose sur le TDAC (*Time-domain Aliasing Cancellation*) : les échantillons créés par l'*overlapping* sont supprimés lors du processus de transformation[17].

La MDCT fonctionne avec un *overlap* de 50% : la seconde moitié des échantillons temporels de la fenêtre analysée correspond à la première moitié des échantillons de la fenêtre suivante. La fenêtre d'entrée de la MDCT est adaptative mais elle a été implémentée dans ce travail avec une taille fixe de 1024 échantillons.

## 4 Environnement de développement

Les tests des différentes itérations de la MDCT ont été faits sur un Raspberry Pi 4. Le Raspberry est un *single-board computer* (SBC) développé par la Raspberry Foundation et Broadcom depuis 2012. Le modèle 4B utilisé pour ce travail (figure 5) date de 2019. Il a été choisi car il possède un processeur ARM, processeur pour lequel les optimisations de la MDCT doivent être développées[18].



FIGURE 5 – Raspberry Pi 4

Les informations sur le CPU du Raspberry Pi 4 se trouvent dans le fichier `/proc/cpuinfo` (**annexe A**) :

- le Raspberry Pi 4 dispose de 4 CPU ;
- chacun de ces processeurs est un ARMv7 ;
- les processeurs disposent, entre autres, des instructions NEON et des instructions VFP.

Les instructions ARM NEON sont les instructions SIMD spécifiques à l'ARMv7. C'est l'utilisation de ces instructions dans la dernière itération de la MDCT qui va lui permettre de réellement gagner en performances.

Le Raspberry Pi 4 possède également des instructions VFP (*Vector Floating Point*) qui offrent des performances très intéressantes pour les opérations en *float*. Les instructions VFP ne sont pas liées aux instructions NEON : la plupart des ARM possèdent les deux mais ce n'est pas toujours le cas. Les mesures de performances de différentes MDCT développées dans ce travail mettront plusieurs fois en évidence l'influence de ces instructions sur les très bonnes performances observées dans les algorithmes en *floating point*.

Le développement de ce travail s'est fait uniquement sous OS Linux et principalement en *remote* sur le Raspberry : seule la première itération de la MDCT a pu être testée sur une machine équipée d'un processeur Intel. Il aurait été intéressant de maintenir une implémentation de référence de la MDCT compatible Intel mais l'utilisation de la librairie *Ne10* ne l'a pas permis.

Le code a été développé dans Visual Studio Code. Cet éditeur de texte offre des extensions pour le développement en C et C++. Il permet de se connecter facilement en SSH au Raspberry pour le développement en *remote*.

Le code est compilé avec GCC (version 8.3.0) avec les commandes CMake présentées à l'**annexe B** : un fichier CMake principal est placé à la racine du projet et permet d'appeler les fichiers CMake de la librairie *Ne10* et du projet *audio\_encoding* contenant les codes et les tests des différentes MDCT. Le fichier CMake utilisé pour la génération des exécutables de test n'est pas présenté d'un bloc dans ce travail. Les commandes utilisées pour générer les exécutables seront présentées dans les annexes à chaque fois sous le code qu'elles permettent de compiler.

Le projet est développé en C++. Ce choix peut paraître étonnant pour le développement d'un codec, traditionnellement développé en C. Hormis quelques spécificités de C++, comme l'utilisation des classes, le code présenté dans ce travail est très procédural puisqu'il consiste principalement à développer une seule fonction : le bloc MDCT. Le développement en C++ m'a permis d'apprendre ce langage majoritairement utilisé pour les développements chez EVS.

## 5 Algorithmes MDCT de référence

La première étape de ce travail consiste à développer des algorithmes de référence afin de valider les différentes MDCT implémentées par la suite. Ces algorithmes de référence sont développés en algorithmique flottante sur base de la formule mathématique de la MDCT. Ils permettent de générer des spectres de fréquences en *float* ou en *integer* afin de valider les données de sortie des MDCT optimisées.

### 5.1 Description mathématique de la MDCT

La transformation effectuée par la MDCT est donnée par l'équation suivante[15] :

$$X_k = \sum_{n=0}^{2N-1} x_n \cos \left[ \frac{\pi}{N} \left( n + \frac{1}{2} + \frac{N}{2} \right) \left( k + \frac{1}{2} \right) \right]$$

$X_k$  avec  $k \in [0, N[$  pour une fenêtre d'entrée de  $2N$  échantillons ( $N$  échantillons utiles et  $N$  échantillons réservés à l'*overlap*)

$x_n$  avec  $n \in [0, 2N[$  : la fenêtre d'entrée

$F : R^{2N} \rightarrow R^N$  la MDCT est une fonction linéaire qui pour  $2N$  nombres réels en entrée produit  $N$  nombres réels en sortie

À cette équation s'ajoute le facteur d'échelle  $\frac{2}{\sqrt{2N}}$ . Ce facteur a été déterminé empiriquement sur base du code d'exemple fourni pour l'implémentation de la MDCT.

La MDCT a été implémentée avec une fenêtre d'entrée de  $2N = 1024$  échantillons :  $N = 512$  échantillons utiles et  $N = 512$  échantillons pour l'*overlap*. Le bloc de sortie, i.e. le spectre de fréquences de la fenêtre d'entrée a une taille de  $N = 512$  composantes fréquentielles en nombres complexes, ou de  $\frac{N}{2} = 256$  composantes fréquentielles en nombres réels. Ces valeurs, utilisées à de très nombreux endroits du code, sont rassemblées dans le header `mdct_constants.h` présenté dans l'**annexe C**. Ce fichier contient également d'autres valeurs pré-calculées sur base de la taille de la fenêtre d'entrée.

La section suivante présente deux implémentations simples de cette formule. Ces implémentations ne pourraient pas être utilisées sans avoir été optimisées car elles seraient beaucoup trop lentes pour un codec qui doit tenir le temps réel sur plusieurs canaux.

La complexité de l'implémentation de cette formule est de  $O(N^2)$  opérations (où  $N$  est la taille de la fenêtre d'entrée). Cette complexité peut être ramenée à  $O(N \log N)$  opérations par une factorisation récursive. La complexité peut également être diminuée en se basant sur une autre transformation, e.g. une DFT (*Discrete Fourier Transform*) ou une autre DCT (*Discrete Cosine Transform*). La complexité sera alors de  $O(N)$  opérations de *pre-* et *post-processing* en plus de la complexité de la DFT ou de la DCT choisie[15]. C'est cette dernière option qui a été retenue pour ce travail.

### 5.2 Implémentations des MDCT de référence en *floating point* et *fixed point*

La formule mathématique de la MDCT a été implémentée très simplement en algorithmique flottante avec la possibilité d'obtenir le spectre de fréquences codé en *float*, *double* ou *integer* sur 32 bits (**annexe D**). L'objectif de ces implémentations est de pouvoir valider les spectres de fréquences calculés par les implémentations optimisées de la MDCT. Les MDCT de référence serviront également à mesurer la précision des MDCT optimisées.

La première implémentation de l'équation de la MDCT est présentée dans l'**annexe D.1** et représentée par la figure 6. Les calculs et les résultats peuvent être effectués et obtenus aussi bien en *float* (32 bits) qu'en *double* (64 bits) grâce à l'utilisation d'un *template*. Le signal temporel a la même précision (*float* ou *double*) que le spectre généré.



FIGURE 6 – Fonction ref\_float\_mdct

La seconde fonction de référence est présentée dans l'**annexe D.2** et représentée par la figure 7. Elle permettra de vérifier les résultats des implémentations optimisées en *fixed point*. Tous les calculs sont faits en algorithmique flottante (*double* pour plus de précision) avant de transtyper le spectre de fréquences en *integer* sur 32 bits.

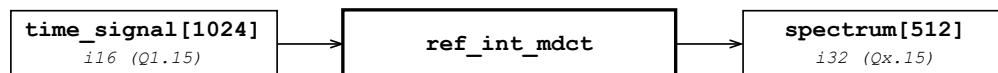


FIGURE 7 – Fonction ref\_int\_mdct

La représentation *fixed point* du spectre de fréquences correspond à une notation Qx.15 signée. Le Q15 a été choisi car il était souhaité que l'algorithme MDCT soit implémenté entièrement en 16 bits. Cela n'a pas été possible à cause d'une trop grande perte de précision (cf. section 8 consacrée au passage en arithmétique *fixed point* de la MDCT). La mise à échelle Q15 a été conservée mais une autre représentation pourrait facilement être mise en place selon les besoins du bloc suivant.

### 5.3 Validation des MDCT de référence

Les MDCT de référence sont validées en générant le spectre de fréquences d'un signal connu pour pouvoir observer que celui-ci corresponde bien à ce qui est attendu. Tout au long de ce travail, les MDCT ont été validées avec divers signaux en entrée : des signaux à une ou plusieurs fréquences connues ou des données aléatoires. La section 10.1 consacrée au protocole de validation donne plus de détails sur la génération des spectres de fréquences produits par les MDCT et leur interprétation. Afin de faciliter la lecture des résultats et les comparaisons, ce travail présentera principalement des tests effectués avec un signal à 440 Hz en entrée des MDCT.

L'**annexe E** présente les codes permettant de générer les signaux sinusoïdaux destinés à être donnés en entrée aux MDCT. Les signaux sinusoïdaux sont produits en *floating point* (**annexe E.1**) ou en *fixed point* (**annexe E.2**). Le signal est paramétrable :

- en taille ou nombre d'échantillons : la fenêtre d'entrée de la MDCT sera toujours de 1024 échantillons ;
- en amplitude : paramètre utilisé pour limiter le signal à une certaine *range* de valeurs ;
- en fréquence : les résultats présentés dans ce travail utilisent le plus souvent une fréquence de 440 Hz mais les MDCT ont été testées avec de nombreux autres signaux ;
- en déphasage : ce paramètre n'a pas été utilisé ;
- et en fréquence d'échantillonnage toujours à 48 kHz.

Dans ce travail, la *range* du signal est toujours comprise entre  $-0.9$  et  $0.9$ , que le signal soit codé en *floating point* ou en *fixed point*. Cette limitation de la *range* vise à reproduire la *headroom* du signal temporel, i.e. l'espace réservé aux valeurs limites du signal : le signal réel est clippé et ne couvre pas l'ensemble des valeurs possibles. Le fait de ne pas coder le signal sur toutes les valeurs possibles est moins important pour les algorithmes travaillant en *floating point* mais il sera essentiel pour la mise à échelle des données en représentation *fixed point* (section 8).

Les signaux codés en *float* ou en *double* serviront à valider les implémentations intermédiaires de la MDCT. L'objectif reste cependant de développer une MDCT capable de traiter des données entières sans transtypage. Le signal en *integer* servira à valider les dernières itérations de la MDCT. Ce signal est codé en 16 bits (représentation Q15 signée) afin de correspondre aux données réelles qui seront reçues par l'algorithme.

La figure 8 offre une représentation graphique des signaux sinusoïdaux en *floating point* utilisés pour tester les MDCT en *floating point* :

- les deux signaux sont équivalents : le signal généré en *float* (en pointillés) se superpose parfaitement au signal généré en *double* ;
- la période du signal est de 2.3 ms correspondant à la fréquence de 440 Hz attendue ;
- les valeurs du signal sont comprises entre  $-0.9$  et  $0.9$  pour respecter une *headroom*.

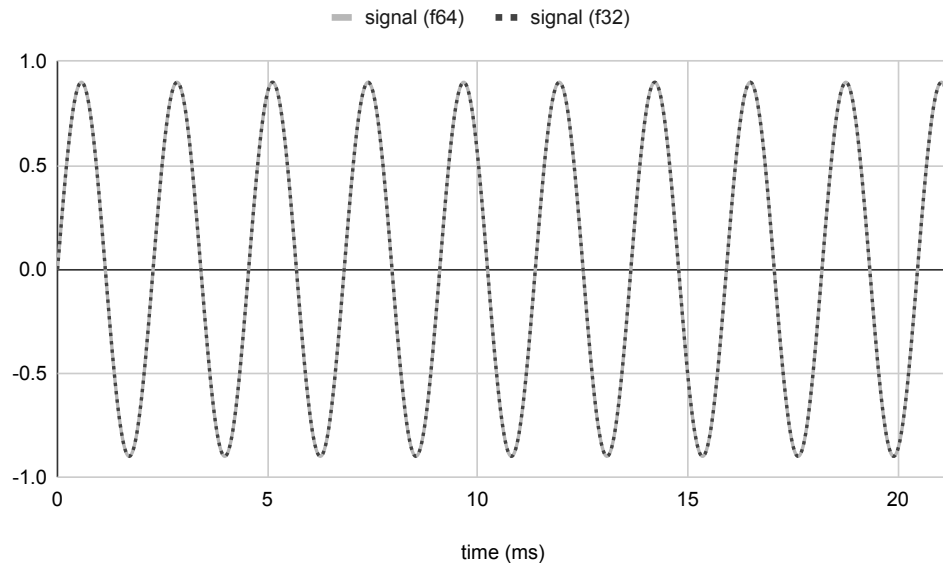


FIGURE 8 – Signal sinusoïdal à 440 Hz codé en *floating point* (*float* et *double*)

Les MDCT de référence en *floating point* prenant en entrée ces signaux sinusoïdaux à 440 Hz génèrent les spectres de fréquences présentés à la figure 9 :

- les deux MDCT génèrent le même spectre : le spectre généré par l'algorithme en *float* (en pointillés) se superpose parfaitement à celui généré en *double*;
- la représentation graphique des spectres de fréquences met bien en évidence une composante fréquentielle principale aux alentours de 440 Hz (la section 10.1 expliquera pourquoi la résolution du spectre de fréquences ne permet pas de trouver exactement une fréquence à 440 Hz).

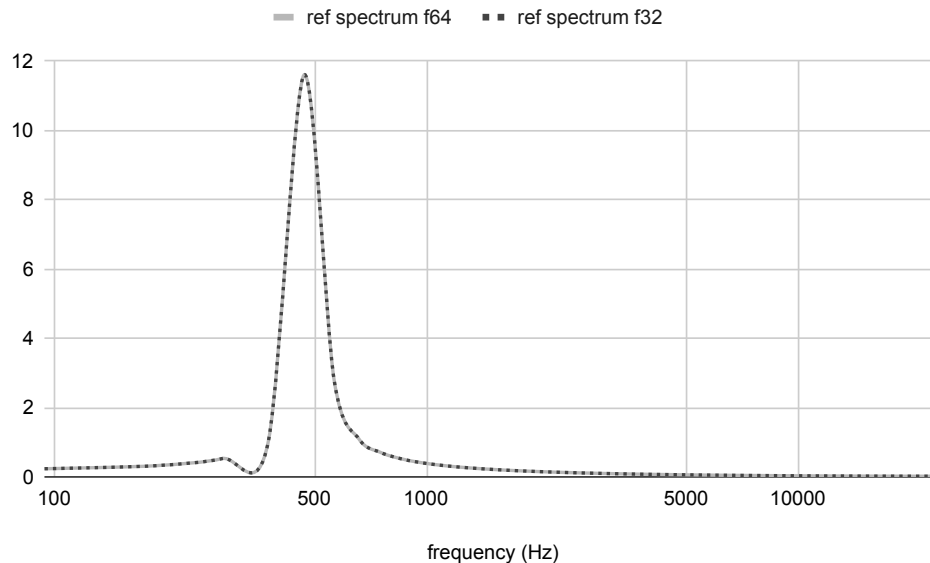


FIGURE 9 – Spectres de fréquences générés par les MDCT de référence en *floating point* (440 Hz)

Le résultat obtenu est déjà satisfaisant puisque la fréquence mise en évidence par le spectre est bien celle du signal d'entrée. Cependant, l'implémentation d'une fonction de fenêtre appliquée au signal d'entrée permettrait d'améliorer encore le spectre de fréquences généré par la MDCT. La section 11 consacrée aux améliorations possibles de ce travail revient sur cette fonction de fenêtre.

Le signal sinusoïdal en *fixed point* utilisé pour la validation des MDCT *fixed point* est représenté par la figure 10 :

- le signal prend la même forme que ceux en *floating point* (figure 8);
- la période du signal de 2.3 ms correspond à la fréquence de 440 Hz attendue ;
- le signal varie entre 29491 et -29491, valeurs qui correspondent aux valeurs limites du signal en *floating point* mises à échelle pour une représentation *fixed point* Q15.

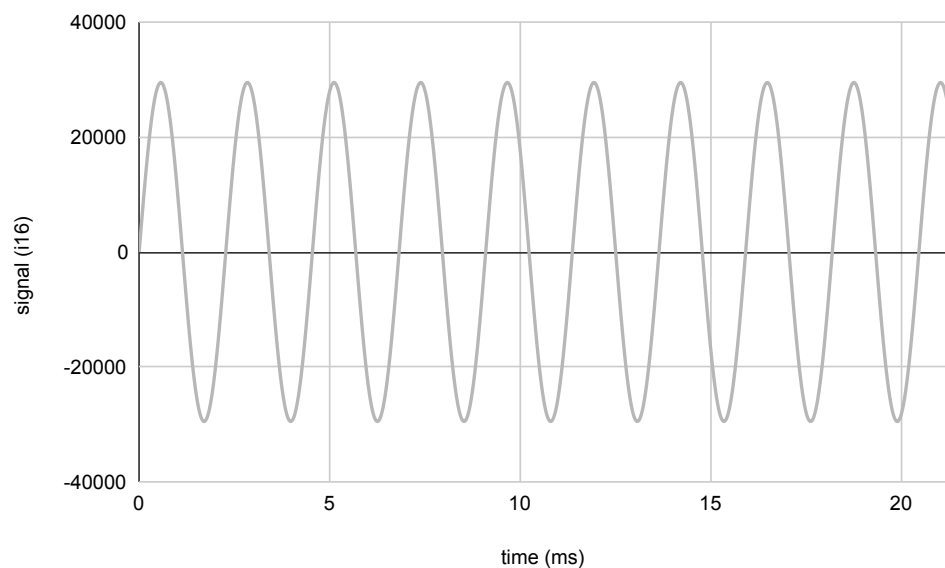


FIGURE 10 – Signal sinusoïdal à 440 Hz codé en *fixed point* (Q15)

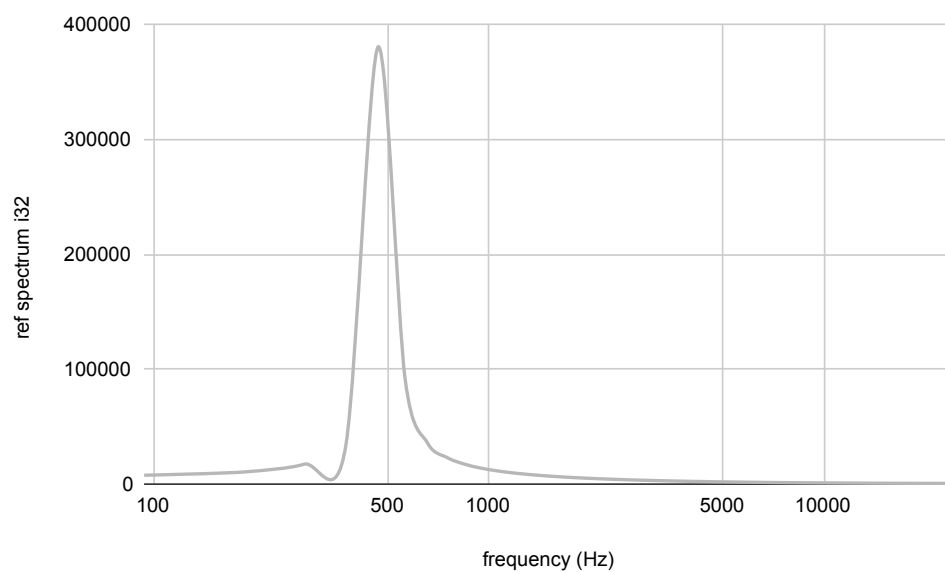


FIGURE 11 – Spectre de fréquences généré par la MDCT de référence en *fixed point* (440 Hz)



La représentation graphique du spectre de fréquences généré par la MDCT de référence en *fixed point* à partir du signal à 440 Hz est présentée par la figure 11 :

- le spectre prend la même forme que le spectre de fréquences généré par les MDCT en *floating point* (figure 9);
- le spectre met bien en évidence une composante fréquentielle principale aux alentours de 440 Hz;
- les valeurs des composantes fréquentielles sont beaucoup plus grandes que celles du spectre en *floating point* puisqu'elles sont mises à échelle Q15.

## 6 Algorithme MDCT basé sur la FFT

Il a été décidé en amont de ce travail d'implémenter une MDCT basée sur une FFT existante. À cette fin, un code d'exemple m'a été fourni[19]. Ce code d'exemple fait appel à la FFT de la librairie *FFTW3*. Cette FFT est disponible en *float* ou en *double* mais cette section ne présentera que son utilisation en *float*.

Le principe de cette implémentation de la MDCT est de pré-traiter le signal temporel pour pouvoir le faire passer dans une FFT déjà optimisée puis de post-traiter la sortie de la FFT afin de reconstituer le spectre de fréquences de la MDCT (figure 12). Seules les opérations de *pre-* et de *post-processing* (aussi appelées *pre-* et *post-twiddling*) devront alors être optimisées.

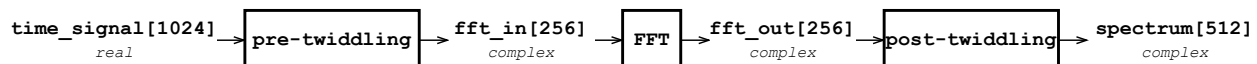


FIGURE 12 – Schéma fonctionnel de la MDCT

Les FFT de *FFTW3* ne sont disponibles qu'en arithmétique *floating point*. Cette librairie ne pourra donc pas être conservée pour les itérations suivantes de la MDCT. L'implémentation de la MDCT présentée dans cette section vise uniquement à valider l'algorithme de MDCT fourni puisqu'il constitue la base de toutes les MDCT développées dans ce travail.

### 6.1 Utilisation de la librairie *FFTW3*

*FFTW* est une librairie développée au MIT afin de proposer des algorithmes de FFT[20]. *FFTW 3.3.9* était la dernière version disponible de la librairie au moment de la réalisation de ce travail. Elle a récemment été mise à jour avec la version 3.3.10.

La librairie s'installe simplement en téléchargeant les sources sur le site de *FFTW*[21] et en les compilant avec le Makefile fourni. La librairie fonctionne par défaut en *double* mais elle peut également fonctionner en *float* en activant l'option `-enable-float` à la configuration. Le header `<fftw3.h>` doit ensuite être inclus dans les fichiers source faisant appel à la FFT. Enfin, la librairie doit être liée à l'exécutable lors de la compilation.

### 6.2 Implémentation de la MDCT basée sur la FFT de la librairie *FFTW3*

L'implémentation de la MDCT basée sur la FFT de *FFTW3* en *float* sur 32 bits est présentée à l'**annexe F**. Le code est structuré de la manière suivante :

- Le header définit la classe `fftw3_mdct_f32` : les données qu'elle contient et les prototypes de ses fonctions (constructeur, destructeur et fonction MDCT);
- le constructeur initialise les facteurs de *pre-* et de *post-processing* et la configuration de la FFT;
- le destructeur libère la mémoire allouée dans le constructeur;
- la fonction MDCT opère les opérations de *pre-processing*, fait appel à la FFT et opère les opérations de *post-processing*.

Le header de la classe `fftw3_mdct_f32` (**annexe F.1**) définit les données suivantes :

- `fft_plan` : la configuration de la FFT de *FFTW3*;
- `fft_in` et `fft_out` : les tableaux contenant les données d'entrée et de sortie de la FFT;
- le tableau `twiddle` contenant les facteurs utilisés pour le *pre-* et le *post-processing*.

Le constructeur (**annexe F.2**) initialise :

- les facteurs de *twiddling* : le tableau contient en alternance un facteur calculé par un cosinus (aux index pairs) et un facteur calculé par un sinus (aux index impairs);
- la configuration de la FFT conformément à la documentation de *FFTW3*.

Le destructeur (**annexe F.3**) libère la mémoire allouée aux tableaux d'entrée et de sortie de la FFT et à la configuration de la FFT.

La fonction MDCT de la classe `fftw3_mdct_f32` est présentée dans l'**annexe F.4**. Elle opère les fonctions de *pre-twiddling* sur le signal temporel, appelle la FFT et opère les opérations de *post-twiddling* comme exposé par la figure 12. La fonction prend en entrée un signal temporel codé en *float* pour générer un spectre de fréquences lui aussi en *float* (figure 13).

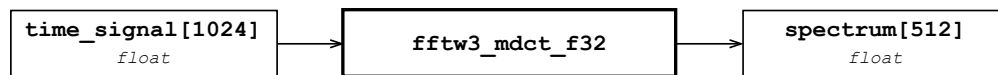


FIGURE 13 – Fonction `fftw3_mdct_f32`

Les opérations de *pre-twiddling* ont pour but de réduire de moitié la taille de la fenêtre d'entrée. Les transformations effectuées par les calculs fournis transforment la fenêtre de 1024 échantillons temporels (réels) en une fenêtre de 256 nombres complexes. Ces nombres sont placés dans le tableau `fft_in` qui alterne les parties réelles et imaginaires des nombres complexes qu'il contient.

La FFT de *FFTW3* en *float 32* est appelée sur ce tableau. Le résultat de la FFT est placé dans le tableau `fft_out` lui aussi en nombres complexes. Le fait d'avoir réduit d'un quart la taille de la fenêtre d'entrée a permis de diminuer la complexité de l'algorithme.

Le spectre de fréquences est reconstitué par les opérations de *post-twiddling* en combinant le tableau de sortie de la FFT et les facteurs de *twiddling*. Ce spectre de fréquences contient également des nombres complexes dans un tableau à une dimension alternant les parties réelles et imaginaires de ces nombres.

### 6.3 Validation de la MDCT *FFTW3 float 32*

La MDCT *FFTW3 float 32* est validée par comparaison avec l'algorithme de référence développé dans la section précédente, en *double* pour plus de précisions. La MDCT a été validée avec de nombreux signaux en entrée, y compris avec des données aléatoires. Pour faciliter la lecture des résultats et la comparaison avec les résultats présentés dans les autres sections, le spectre de fréquences présenté à la figure (14) a été généré à partir d'un signal sinusoïdal à 440 Hz.

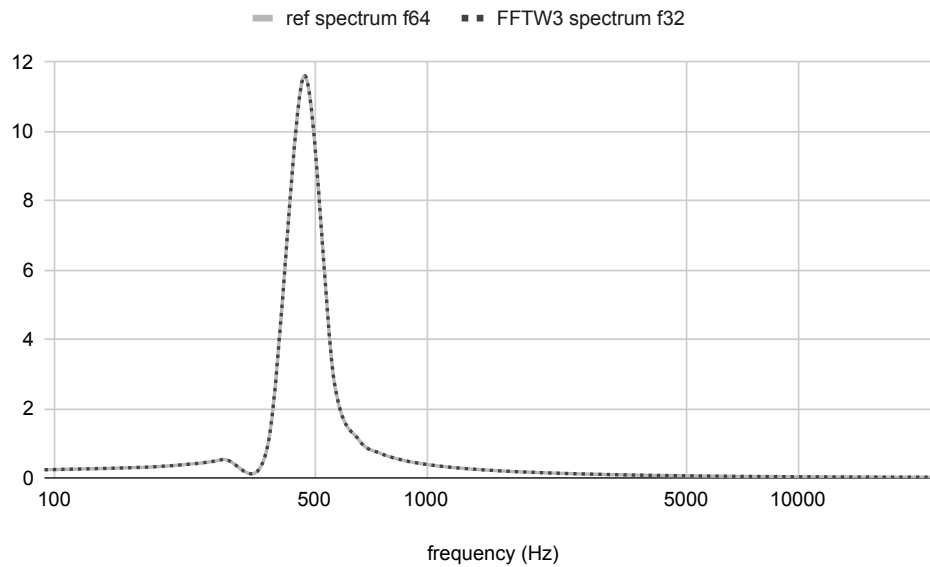


FIGURE 14 – Spectre de fréquences généré par la MDCT FFTW3 *float* comparé au spectre de référence (440 Hz)

Le spectre généré par la MDCT *FFTW3 float 32* se superpose parfaitement au spectre de fréquences de référence. Il fait bien apparaître une composante fréquentielle principale aux alentours de 440 Hz.

L'algorithme basé sur la FFT validé, il est maintenant possible de passer à la suite du développement de ce projet. Puisque *FFTW3* ne travaille qu'en *floating point*, la prochaine étape est d'intégrer une autre librairie capable d'opérer une FFT en *fixed point*.

## 7 Intégration de la librairie *Ne10*

### 7.1 Choix de la librairie

La librairie *FFTW3* utilisée pour l'itération précédente de la MDCT ne propose pas de FFT en algorithmique entière. Le passage à une autre librairie était donc nécessaire et le choix s'est porté sur la librairie *Ne10* qui propose différentes FFT en *fixed point*.

Le projet *Ne10* propose toute une série de fonctions mathématiques et physiques de base ainsi que des fonctions de traitement de signal et de traitement d'image. La librairie est spécifiquement développée pour les architectures ARM possédant les instructions ARM NEON (ARMv7 et ARMv8-A)[22].

*Ne10* propose à la fois des fonctions développées en *plain C* et des fonctions optimisées avec les instructions ARM NEON : les deux types de fonctions seront utilisés pour développer une MDCT optimisée et pour conserver une MDCT de référence en *plain C*. Maintenir une MDCT *plain C* permettra d'avoir une référence pour la mesure des performances de l'algorithme *fixed point* mais pourrait aussi s'avérer utile pour une utilisation de l'encodeur AAC sur un processeur ARM ne disposant pas des instructions NEON.

L'utilisation de la librairie *Ne10* est soumise à la licence *3-Clause BSD*, licence permissive qui permet un usage commercial des produits intégrant la librairie et qui ne contraint pas à en distribuer le code source[23].

### 7.2 Implémentation de la MDCT basée sur la FFT *Ne10* en *float 32*

La librairie *Ne10* s'installe simplement en suivant les instructions données par la documentation : clone du projet GitHub, run du CMake et build du projet[22]. La librairie ne peut cependant être installée que sur une plateforme Linux, Android ou iOS reposant sur un processeur ARM. À partir de ce moment, il n'est donc plus possible de maintenir une implémentation de référence de la MDCT pour une architecture Intel.

*Ne10* propose des algorithmes de FFT *real to complex* et *complex to complex* en *floating point* (32 bits) ou en *integer* (32 bits et 16 bits). L'objectif est évidemment de passer toute la MDCT en *integer* mais pour un premier test de la librairie, l'algorithme de la section précédente a tout d'abord été repris en remplaçant la FFT de *FFTW3* par la fonction `ne10_fft_c2c_1d_float32_c` de *Ne10* : FFT en *complex to complex* en *float 32*.

L'**annexe H** présente le code de cette implémentation par la classe `ne10_mdct_f32_c`. L'**annexe H.1** montre que ce code est construit sur le même modèle que le code utilisant la librairie *FFTW3*. La classe contient :

- la configuration de la FFT ;
- les tableaux de données d'entrée et de sortie de la FFT ;
- le tableau de facteurs de *twiddling*.

La représentation des données d'entrée et de sortie de la FFT n'est plus un tableau alternant les parties réelles et imaginaires des nombres complexes mais un tableau de nombres complexes. Ces nombres sont définis par une structure propre à la librairie *Ne10* contenant deux nombres entiers : le premier pour représenter la partie réelle du complexe et le second sa partie imaginaire.

L'**annexe H.2** montre l'initialisation de la MDCT dans le constructeur de la classe. Le constructeur initialise les tableaux de facteurs de twiddling de la même manière que l'algorithme basé sur la FFT de *FFTW3*. La configuration de la FFT de *Ne10* se fait conformément au code d'exemple donné par la documentation de la librairie[22].

Le destructeur présenté à l'**annexe H.3** permet de libérer la mémoire allouée pour la FFT en appelant la fonction adéquate de la librairie *Ne10*.

La fonction MDCT présentée dans l'**annexe H.4**, comme pour l'itération précédente, permet de transformer un signal temporel en *float* en un spectre de fréquences en *float* (figure 15).

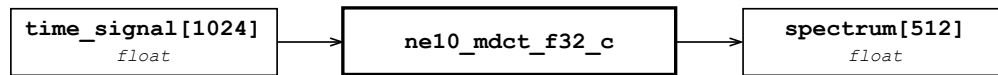


FIGURE 15 – Fonction `ne10_mdct_f32`

La MDCT de la classe `ne10_mdct_f32` :

- effectue les opérations de *pre-processing* ou *pre-twiddling* : ce sont les mêmes que celle de la MDCT *FFTW3* en arithmétique *floating point* sur 32 bits ;
- appelle l'algorithme de FFT : la FFT de *Ne10* prend en paramètres les tableaux contenant les données d'entrée et de sortie, la configuration de la FFT et un *integer* à 0 pour réaliser la FFT ou à 1 pour réaliser l'opération inverse ;
- effectue les opérations de *post-processing* ou *post-twiddling* : ici aussi les mêmes que celles de la MDCT *FFTW3* en arithmétique *floating point* sur 32 bits.

L'algorithme développé ici ne diffère donc pas de l'algorithme présenté à la section précédente. Son développement est trivial mais il permet de tester et de valider le fonctionnement de la librairie *Ne10*.

### 7.3 Validation de la MDCT *Ne10 float 32*

L'utilisation de la librairie *Ne10* est validée par comparaison du spectre de fréquences qu'elle génère avec le spectre généré par la MDCT de référence en *double*. Parmi les nombreux signaux d'entrée testés, les résultats sont présentés dans cette section avec un signal d'entrée à 440 Hz afin de faciliter la comparaison avec les autres spectres de fréquences présentés dans ce travail.

La représentation graphique de la comparaison des deux spectres à la figure 16 montre que le spectre de fréquences produit par la MDCT basée sur la FFT de *Ne10* en *float 32* se superpose parfaitement au spectre de fréquences généré par la MDCT de référence. La principale composante fréquentielle relevée se situe bien aux alentours de 440 Hz.

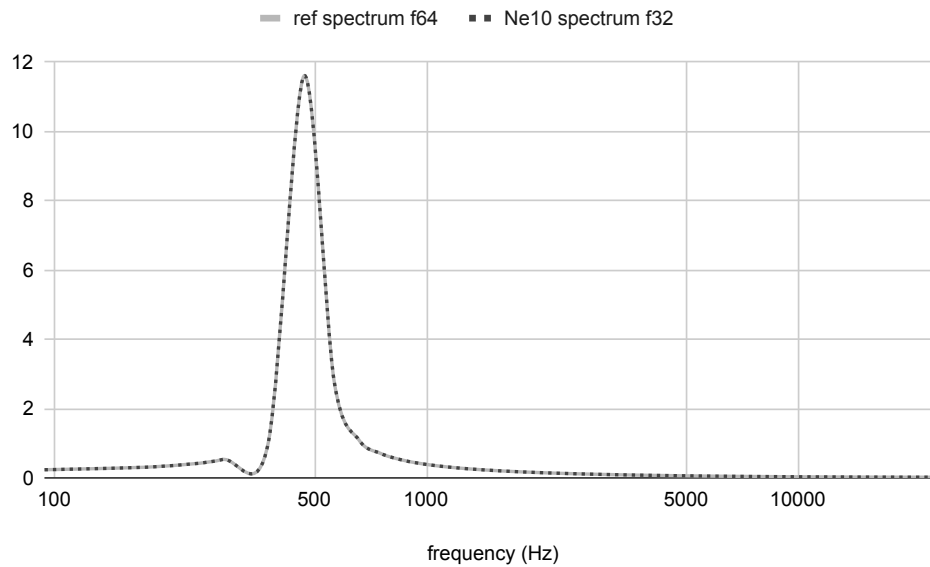


FIGURE 16 – Spectre de fréquences généré par la MDCT Ne10 float 32 comparé au spectre de référence (440 Hz)

## 7.4 Performances des FFT

Une fois l'utilisation de la librairie *Ne10* validée, des mesures de performances ont été réalisées sur les différentes FFT proposées par *Ne10*. Les FFT pour lesquelles les mesures de performances ont été effectuées sont celles qu'il était alors envisagé d'utiliser pour les futures itérations de la MDCT. Leurs temps d'exécution moyens ont été mesurés par comparaison entre les implémentations en *plain C* ou avec optimisations NEON.

La mesure de ces performances a été effectuée par le code présenté dans l'**annexe I** : le même code (**annexe I.1**) permet de générer les différents exécutable de mesure des performances des FFT en fonction de la variable de préprocesseur définie à la compilation (**annexe I.2**).

À titre comparatif, les performances de la FFT de *FFTW3* en *float 32* ont également été mesurées. L'**annexe J** présente le code utilisé pour la mesure des performances de cette FFT (**annexe J.1**) et les commandes utilisées pour le compiler (**annexe J.2**).

Les tests de performances ont été effectués sur 10 000 000 d'exécutions pour chaque FFT. Les données d'entrées des FFT sont générées aléatoirement et sont différentes pour chaque exécution. Les tests de performances ont été réalisés via un script permettant de lancer tous les exécutable de test les uns à la suite des autres. Ce script a été lancé sur le Raspberry via une connexion SSH. Aucune autre action n'a été réalisée sur le Raspberry durant l'exécution des tests.

Les tests de performances ont également été réalisés avec d'autres signaux en entrée, e.g. un signal sinusoïdal simple répété à chaque exécution. Les résultats de ces tests sont équivalents aux résultats des tests avec données aléatoires en entrée.

La table 1 présente les résultats de ces tests de performances.

FFT	Temps d'exécution moyen (ns)	Écart type (ns)
<i>Ne10 f32 plain C</i>	5538.36	$0.61161 \times 10^{-6}$
<i>Ne10 f32 NEON</i>	3013.71	$0.11833 \times 10^{-6}$
<i>Ne10 i32 plain C</i>	10678.9	$2.12600 \times 10^{-6}$
<i>Ne10 i32 NEON</i>	3396.91	$0.84808 \times 10^{-6}$
<i>Ne10 i16 plain C</i>	9569.07	$0.01582 \times 10^{-6}$
<i>Ne10 i16 NEON</i>	2002.41	$0.08582 \times 10^{-6}$
<i>FTW3 f32</i>	4661.46	$0.13637 \times 10^{-6}$

TABLE 1 – Tests de performances des algorithmes FFT

Conformément à ce qui pouvait être attendu, les FFT optimisées avec les instructions ARM NEON sont, en moyenne, plus rapides que leur équivalent en *plain C*.

La FFT en *integer* sur 16 bits avec optimisations NEON est la plus rapide de toutes : ce résultat n'est pas étonnant puisque les instructions SIMD permettent de réaliser plus d'opérations en parallèle avec des données codées sur moins de bits (cf. section 9 consacrée aux instructions ARM NEON). Elle aurait été la FFT la plus intéressante à utiliser mais la section 8 montrera pourquoi cela n'a pas été possible.

Contrairement aux attentes initiales, les FFT en *integer* sur 32 bits sont, en moyenne, plus lentes que les FFT en *float*. En *plain C*, la FFT en *integer* est deux fois plus lente avec un temps d'exécution moyen de 10  $\mu$ s contre 5  $\mu$ s pour la FFT en *float*. Avec les optimisations NEON, la FFT en *integer* est légèrement plus lente avec un temps d'exécution moyen de 3.4  $\mu$ s contre 3  $\mu$ s pour la FFT en *float*.

Ces résultats s'expliquent par la modernité du processeur ARM qui est capable de réaliser les opérations en *floating point* de manière très performante[24]. Sur 32 bits, une instruction en *integer* ne sera pas significativement plus rapide qu'une instruction en *float* comme cela pouvait être le cas pour des processeurs plus anciens.

En plus de ne pas permettre de gagner en performances, l'arithmétique *fixed point* va rendre l'algorithme plus lent qu'en *floating point*. En effet, l'arithmétique *fixed point* nécessite généralement plus d'opérations que l'arithmétique *floating point* pour arriver au même résultat, e.g. une multiplication en *floating point* devra être remplacée par une multiplication et une rotation de bits en *fixed point* (cf. section 8). La différence est moins marquée sur les FFT avec optimisations NEON car les instructions SIMD permettent parfois d'effectuer plusieurs de ces opérations en une seule.

Enfin, en *float* sur 32 bits, la FFT de *FTW3* est plus performante que celle de *Ne10* avec un temps d'exécution moyen de 4.7  $\mu$ s contre 5.5  $\mu$ s pour la FFT de *Ne10* en *float 32 plain C*. La FFT de *Ne10* est cependant plus performante avec les optimisations NEON, que ce soit en *float* sur 32 bits (3  $\mu$ s) ou en *integer* sur 32 bits (3.4  $\mu$ s).



## 8 Algorithmes MDCT en arithmétique *fixed point*

Le passage d'une arithmétique flottante à une arithmétique entière est une des optimisations envisagées par l'analyse préalable à ce travail. Le bénéfice attendu est double : l'arithmétique entière est généralement plus rapide et un bloc MDCT en arithmétique entière serait mieux intégré à l'ensemble de l'encodeur.

La première de ces attentes n'a pas pu être rencontrée. En effet, comme les résultats des tests de performances sur les FFT l'ont mis en évidence, le processeur ARMv7 du Raspberry Pi 4 supporte de nombreuses instructions en *floating point* sur 32 bits de manière très performante[24]. Or, plusieurs instructions *fixed point* sont souvent nécessaires pour remplacer une seule instruction en *floating point*. Plutôt que de gagner en temps d'exécution, le passage en *fixed point* a ralenti la MDCT.

Cependant, le passage en *fixed point* permet d'économiser un transtypage du *integer* vers le *float* en entrée de la MDCT et inversement en sortie. Avec un temps d'exécution au moins équivalent en *fixed point* qu'en *floating point*, le passage en *fixed point* permettrait donc tout de même d'améliorer les performances de l'ensemble de l'encodeur AAC.

Enfin, les données reçues à l'entrée de la MDCT sont codées en *integer* sur 16 bits alors que les *float* sont codés au minimum sur 32 bits. Garder le maximum de données et d'opérations en 16 bits permettrait de gagner en performance au moment de l'utilisation des instructions SIMD.

### 8.1 Arithmétique *fixed point*

La représentation *fixed point* est une alternative au *floating point* pour le codage des nombres décimaux[25]. Le principe est de réserver un certain nombre de bits pour coder la partie entière et un autre nombre de bits pour coder la partie décimale du nombre. Ce travail utilise deux notations pour la représentation en *fixed point*, toujours signée :

- $Qm$  où  $m$  est le nombre de bits réservés aux décimales, e.g. une notation Q15 sur 16 bits permet de représenter un nombre signé ne contenant que des décimales et pas de partie entière puisqu'un bit est réservé pour le signe ;
- $Qx.y$  où  $x$  est le nombre de bits réservés à la partie entière (avec signe) et  $y$  le nombre de bits réservés à la partie décimale, e.g. une notation Q1.15 équivaut à une notation Q15 sur 16 bits.

Pour passer la MDCT en algorithmique *fixed point*, il faut tout d'abord prêter attention à choisir la représentation adéquate. Par exemple, les données d'entrée de la MDCT sont comprises entre  $-0.9$  et  $0.9$ . Elles peuvent donc être représentées en Q15. Si elles avaient été comprises entre  $-1$  et  $1$ , la conversion en représentation Q15 aurait produit un dépassement sur l'une des valeurs limites et par conséquent une perte d'information.

Des dépassements peuvent également se produire lors des opérations arithmétiques :

- une **addition** ou une **soustraction** peut causer un dépassement d'un bit, e.g. la somme d'un nombre sur 32 bits et d'un nombre sur 16 bits nécessite potentiellement 33 bits pour être codée ;
- le résultat d'une **multiplication** ou d'une **division** peut devoir être codé sur un nombre de bits équivalent à la somme des nombres de bits composant les deux nombres multipliés ou divisés, e.g. le produit d'un nombre de 16 bits multiplié par un nombre de 32 bits nécessite potentiellement 48 bits pour être codé.

Ces dépassements sont théoriques. En fonction des données réelles à traiter, il est possible de ne pas respecter à la lettre les règles énoncées plus haut. C'est le cas par exemple avec les facteurs de *twiddling* dont on sait qu'ils valent au maximum un quart de la valeur d'un sinus ou d'un cosinus et qui sont codés en Q15 : il est alors certain que l'addition de deux de ces nombres ne causera pas de dépassement.

Là où l'implémentation en *floating point* était triviale, puisqu'elle demandait simplement de reprendre le code d'exemple fourni et de l'adapter à l'utilisation de la librairie *Ne10*, l'implémentation en *fixed point* devient plus complexe : il faut prêter attention à coder les nombres dans les bonnes *ranges* et à implémenter les différentes opérations arithmétiques de sorte à ne pas causer de dépassements.

## 8.2 Implémentation de la MDCT basée sur la FFT *Ne10* en arithmétique *fixed point*

L'**annexe K** présente l'implémentation de la MDCT *Ne10 fixed point* en *plain C*. La classe `mdct_ne10_i32_c` a la même structure que l'implémentation en *floating point*. Le header présenté dans l'**annexe K.1** montre que seul le type des données a changé :

- La configuration et les tableaux d'entrée et de sortie de la FFT sont définis avec les types `int32`, et non plus `float32`, de la librairie *Ne10*;
- Le tableau de facteurs de *twiddling* passe du `float` au `int16_t`;
- La fonction MDCT prend en paramètres un signal temporel en `int16_t` et renvoie un spectre en `int32_t` au lieu des tableaux de `float` (figure 17).

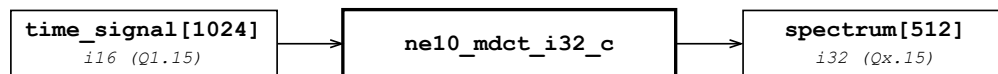


FIGURE 17 – Fonction `ne10_mdct_i32_c`

### 8.2.1 Utilisation de la FFT *Ne10* en *int 32*

L'utilisation de la librairie *Ne10* en *integer* est très peu différente de son utilisation en *float* :

- La configuration est initialisée dans le constructeur de la classe `mdct_ne10_i32_c` (**annexe K.2**) en *complex to complex* en *integer 32* avec en paramètre la taille de la fenêtre de la FFT.
- L'espace alloué à la configuration est libéré dans le destructeur de la classe `mdct_ne10_i32_c` (**annexe K.3**) avec la fonction appropriée de la librairie *Ne10*;
- La fonction de FFT est appelée avec en paramètres le tableau contenant les données d'entrée, le tableau dans lequel sera calculé le résultat de la FFT, la configuration préalablement initialisée, un *integer* qui indique à la fonction de réaliser la FFT et non son opération inverse et, en plus de la FFT en *float*, un facteur de mise à échelle mis ici à 0.

Il est à noter que l'initialisation du facteur de mise à échelle de la fonction de FFT n'est pas documentée dans la librairie *Ne10*. L'effet de ce facteur sur la FFT n'est pas non plus indiqué. Ce facteur a été initialisé à 0 après avoir testé la FFT de *Ne10* dans le but d'obtenir les mêmes valeurs qu'en *float* mises à une échelle Q15.

La documentation incomplète de la librairie a été une des difficultés de ce travail. En dehors des quelques codes d'exemple disponibles, il est très compliqué de savoir quelles données sont attendues et sont produites par les fonctions de *Ne10*. Il est également très difficile de trouver des ressources externes sur l'utilisation de *Ne10*.

Le manque de documentation est également ce qui a empêché l'utilisation de la FFT en *int16* plutôt qu'en *int32*. Des opérations en 16 bits pour tout le bloc MDCT auraient été plus performantes. Malheureusement, si la documentation de *Ne10* dit bien travailler en Q15 pour du 16 bits et en Q31 pour du 32 bits, elle ne dit pas quelle *headroom* prévoir, quelles *ranges* de valeurs sont acceptées, si les opérations saturent ou non, etc. En testant la FFT 16 bits avec des données codées en Q15, trop de valeurs fausses étaient produites par la FFT. L'utilisation du facteur de mise à échelle n'a pas non plus permis d'obtenir de résultats satisfaisants.

Pour ne pas produire de dépassement dans la fonction de FFT, il a fallu prévoir 8 bits de *headroom* pour la FFT. Pour des données codées sur 16 bits, cela signifie qu'il ne resterait plus que 8 bits de données utiles pour le signal, dont 1 bit pour le signe. Cette perte de précision trop importante a forcé l'utilisation de la FFT en 32 bits.

### 8.2.2 Initialisation des *twiddle factors*

Le tableau de facteurs de *twiddle* est initialisé dans le constructeur de la classe `mdct_ne10_i32_c` (**annexe K.2**). Ses valeurs sont calculées en *double* puis converties en *integer* (représentation Q15).

Il aurait été possible de convertir les opérations d'initialisation en *fixed point* mais l'optimisation du constructeur n'est pas nécessaire. En effet, puisque la taille de fenêtre d'entrée ne varie pas, l'appel de l'initialisation ne sera fait qu'une fois et la MDCT est ensuite appelée en boucle avec les mêmes facteurs de *twiddling*.

### 8.2.3 Opérations de *pre-twiddling* et de *post-twiddling*

L'essentiel du travail pour cette implémentation a été le passage des opérations de *pre-* et de *post-processing* en arithmétique *fixed point*. Le résultat de ce travail se trouve dans l'**annexe K.3** qui présente la fonction MDCT basée sur la FFT de *Ne10* en *plain C*.

Les opérations de *pre-twiddling* transforment le signal temporel et les facteurs de *twiddling*, tous deux en représentation Q15, en un nombre en représentation Q1.23 sur 32 bits à donner en entrée de la FFT de *Ne10* en *int32*. La représentation Q1.23 est celle qui permet de garder le maximum de précision tout en s'assurant de ne pas produire de dépassement dans la FFT en gardant 8 bits de *headroom*.

Le *post-twiddling* récupère les données en Q9.23 produites par la FFT de *Ne10* : la précision de 23 décimales donnée en entrée, le bit de signe et les 8 bits de *headroom*. En combinaison avec les facteurs de *twiddling* codés en Q15, elles sont transformées en un spectre de fréquences codé en Q9.15 sur 32 bits.

Les opérations de *pre-processing* suivent toujours le même schéma : les parties réelles ou imaginaires des données d'entrée de la FFT sont la somme de deux produits d'un facteur de *twiddling* et de la somme de deux échantillons du signal temporel. Voici en exemple la transformation de la première opération de l'arithmétique *floating point* vers l'arithmétique *fixed point* :

$$fft\_in[i/2].r = r0 * c + i0 * s;$$

devient

$$fft\_in[i/2].r = (((r0 * c) + 64) >> 7) + (((i0 * s) + 64) >> 7);$$

$$\text{où } r0 = time\_signal[MDCT\_M32 - 1 - i] + time\_signal[MDCT\_M32 + i];$$

$$\text{et } i0 = time\_signal[MDCT\_M2 + i] - time\_signal[MDCT\_M2 - 1 - i];$$

**r0** est la somme de deux échantillons du signal temporel codés en Q1.15 : il correspond donc à une notation **Q2.15** ici codée sur 32 bits plutôt que de perdre un bit de précision pour garder la valeur sur 16 bits;

**c** *twiddle factor*, est codé en Q1.15, mais il est connu que le facteur de mise à l'échelle pour une fenêtre de 1024 échantillons temporels l'a réduit à  $\frac{1}{4}$  de la range possible du Q1.15, noté **Q1.15/4**;

**r0\*c** le produit d'un nombre en Q2.15 avec un nombre Q1.15 est théoriquement un Q2.30 mais tient en pratique sur du **Q1.30/2** puisque le *twiddle factor* est en Q1.15/4;

**((r0\*c)+64)»7** le résultat en Q1.30/2 est ramené à du **Q1.23/2** par une opération de shift avec arrondi ( $64 = 2^6$ , ajouter un bit en 7<sup>ème</sup> position en partant du LSB permet d'arrondir la valeur du 8<sup>ème</sup> bit);

**((i0\*s)+64)»7** l'opération est équivalente à la précédente et est donc également codée en **Q1.23/2**;

**((r0\*c)+64)»7 + ((i0\*s)+64)»7** l'addition de deux Q1.23/2 donne un **Q1.23**, codé sur 32 bits, il permet de conserver les 8 bits de *headroom* nécessaire à la FFT.

Les opérations de *post-processing* suivent elles aussi toujours le même schéma : les valeurs du spectre de fréquences sont calculées en additionnant deux produits, chacun étant le résultat d'une multiplication entre un facteur de *twiddling* et une donnée de sortie de la FFT. Voici en exemple la conversion de la première opération de *post-twiddling* en *fixed point* :

$$spectrum[i] = -r0 * c - i0 * s;$$

devient

$$spectrum[i] = ((((-r0 + 128) >> 8) * c + 16384) >> 15) - (((i0 + 128) >> 8) * s + 16384) >> 15);$$

où *r0* et *i0* sont les parties réelle et imaginaire des données de sortie de la FFT

**r0** donnée de sortie de la FFT, est codé en **Q9.23**;

**(-r0+128)»8** *r0* est ramené en **Q9.15** par un *shift* de 8 avec arrondi;

**c** *twiddle factor*, est codé en Q1.15, mais il est connu que le facteur de mise à l'échelle pour une fenêtre de 1024 échantillons temporels l'a réduit à  $\frac{1}{4}$  de la range possible du Q1.15, noté **Q1.15/4**;

**((-r0+128)»8)\*c** la multiplication d'un Q9.15 par un Q1.15/4 donne un Q10.30/4 ou **Q9.30/2**;

**(((-r0+128)»8)\*c+16384)»15** le résultat en Q9.30/2 est ramené à du **Q9.15/2** par un *shift* de 15 avec arrondi;

**((i0+128)»8)\*s+16384)»15** le second terme effectue les mêmes opérations pour un résultat en **Q9.15/2**;

**(((-r0+128)»8)\*c+16384)»15 - (((i0+128)»8)\*s+16384)»15** la différence de deux Q9.15/2 est un Q10.15/2 ou **Q9.15**.

### 8.3 Validation de la MDCT *Ne10 fixed point plain C*

L'algorithme est validé par comparaison avec l'algorithme de référence. Le protocole de validation est détaillé dans la section 10.1 : les spectres sont générés par les différentes MDCT sur base du même signal temporel pour que tous les spectres puissent être comparés entre eux. Afin de s'assurer de la cohérence des données produites par la MDCT, le signal d'entrée est un signal sinusoïdal : le spectre de fréquences ne doit donc mettre en évidence qu'une seule composante fréquentielle.

La figure 18 montre la comparaison entre le spectre de fréquences généré par la MDCT basée sur la FFT Ne10 en plain C et celui de référence en *integer* sur 32 bits (calculs en *double* mis à échelle Q15) pour un signal d'entrée à 440 Hz.

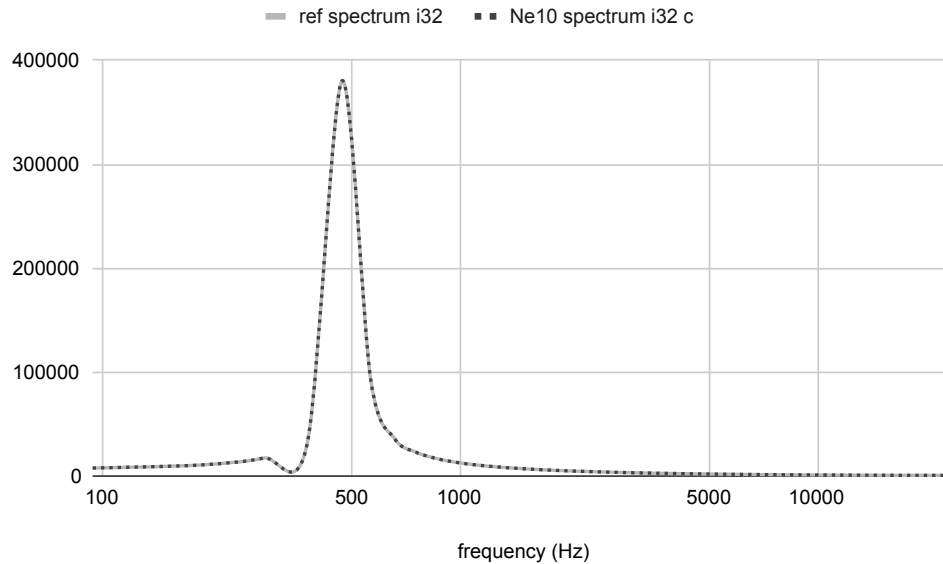


FIGURE 18 – Spectre de fréquences généré par la MDCT Ne10 i32 plain C comparé au spectre de référence (440 Hz)

Le spectre de fréquences généré par la MDCT *Ne10 i32 plain C* (en pointillés) se superpose parfaitement au spectre de référence. La composante fréquentielle la plus haute se situe bien aux alentours de 440 Hz.

## 8.4 Performances de l'arithmétique *fixed point*

Les performances de la MDCT *fixed point* en *plain C* sont moins bonnes que celles de l'implémentation en *floating point* (cf. section 10.2 pour plus d'explications sur la mesure des performances) :

- La MDCT NEON *float 32 plain C* a un temps d'exécution moyen de 9  $\mu$ s ;
- La MDCT NEON *integer 32 plain C* a un temps d'exécution moyen de 22  $\mu$ s.

Le temps d'exécution notablement plus conséquent s'explique par le fait que le processeur ARMv7 supporte de nombreuses instructions *floating point* sur 32 bits. Contrairement à des processeurs plus anciens, l'ARMv7 n'est donc pas plus efficace en arithmétique *fixed point*.

De plus, la section 8.2 a montré qu'une seule instruction en *floating point* était remplacée par plusieurs opérations *fixed point*. Une multiplication est, par exemple, remplacée par une multiplication, une rotation et une addition pour l'arrondi. Puisque les opérations sur des *integer* ne sont pas plus rapides que sur des *float*, il n'est donc pas étonnant que la MDCT *fixed point* soit plus lente que la MDCT *floating point*.

L'algorithme *fixed point* utilise également des opérations de *cast* d'*integer* en 32 bit vers du 64 bit. Ces opérations ont pour but d'éviter un dépassement qui se produit dans les opérations de *post-twiddling* et fausse les résultats obtenus. Sans ces opérations de *cast*, l'algorithme *fixed point* a un temps moyen d'exécution de 15  $\mu$ s.

Ces explications sont cohérentes avec les mesures des performances des différentes FFT (section 7.4) : la FFT de *Ne10* en *int 32 plain C* a un temps d'exécution moyen de 11  $\mu$ s contre 6  $\mu$ s pour la FFT NEON *float 32 plain C* et 5  $\mu$ s pour la FFT *FTW3 float 32*. À la perte de 5  $\mu$ s dans l'exécution de la FFT s'ajoute donc 1  $\mu$ s dû aux opérations de *pre-* et *post-processing* supplémentaires et 7  $\mu$ s pour les opérations de *cast*.

## 9 Optimisations à l'architecture ARM

La dernière optimisation de la MDCT implémentée dans ce travail consiste à optimiser l'algorithme au processeur ARM par l'utilisation des instructions ARM NEON. Ce sont des instructions SIMD (*Single Instruction on Multiple Data*), ou vectorisées, i.e. elles permettent de réaliser certaines opérations arithmétiques en une seule instruction effectuée en parallèle sur plusieurs données, contrairement aux opérations scalaires des itérations précédentes de la MDCT qui effectuent les opérations les unes à la suite des autres. Ce sont les fonctions intrinsèques (*intrinsic*) spécifiques au processeur ARMv7 qui est celui du Raspberry Pi 4.

Les sections précédentes ont montré que les instructions sur 32 bits de l'ARMv7 sont aussi performantes en *float* qu'en *integer* et que l'arithmétique *fixed point* est toujours un peu plus lente que l'arithmétique *floating point*. Il n'est donc pas raisonnable d'attendre qu'une MDCT en *fixed point* soit plus performante que son équivalent en *floating point*.

Il est cependant possible d'aller chercher des performances en codant les données sur moins de bits : si le *float* est codé au minimum sur 32 bits, ce n'est pas le cas de l'*integer* qui peut être codé sur 16 bits. L'enjeu est alors de maintenir les données sur le plus petit espace tout en prêtant attention aux dépassements et à la perte de précision.

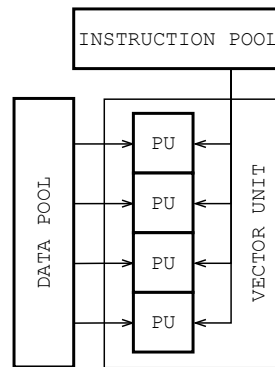
La différence de temps d'exécution entre le *fixed point* et le *floating point* peut également être atténuée par l'utilisation de certaines instructions SIMD : une seule instruction vectorielle peut combiner plusieurs instructions scalaires, e.g. les multiplications peuvent se faire entre deux nombres codés sur 16 bits et coder le résultat sur 16 bits (en ne gardant que les bits de poids fort) et ainsi éviter une instruction de *shift*. Les instructions avec saturation permettent également d'éviter les dépassements sans mettre en place de mécanisme coûteux en temps d'exécution, comme c'était par exemple le cas pour l'algorithme *fixed point plain C* avec un *cast* vers un *integer* 64 bits.

Le tableau de facteurs de *twiddling*, et plus généralement les différents vecteurs sur lesquels seront appelées les instructions SIMD, peuvent être organisés de manière à limiter le nombre d'opérations nécessaires. L'utilisation des instructions SIMD est d'autant plus performante si les données ont été initialisées, ou placées par les opérations précédentes, dans le bon ordre plutôt que de devoir réorganiser les données avant l'appel de chaque instruction.

Enfin, pour rappel, l'optimisation des algorithmes *fixed point* ne s'arrête pas à l'algorithme en tant que tel puisqu'une MDCT *fixed point* permet d'éviter le transtypage des données d'entrée (reçues en Q15) et des données de sortie (le bloc de quantification devant également être implémenté en *fixed point*).

### 9.1 Instructions ARM NEON

Le jeu d'instructions NEON, ou *Advanced SIMD* est le jeu d'instructions SIMD spécifique à l'architecture ARMv7. Les instructions SIMD permettent d'exécuter une même instruction (*Single Instruction*) sur plusieurs données (*Multiple Data*), par opposition aux instructions SISD (*Single Instruction on Single Data*) ou MIMD (*Multiple Instruction on Multiple Data*). La vectorisation des données permet de réaliser simultanément une instruction sur les données vectorisées (figure 19)[26]. Des contraintes fortes s'appliquent à l'utilisation des instructions SIMD en raison de leur mode de fonctionnement propre. Les algorithmes de traitement de signal, comme c'est le cas ici avec la MDCT, se prêtent bien à la vectorisation.

FIGURE 19 – Fonctionnement d'une instruction SIMD (*Single Instruction on Multiple Data*)

Les instructions SIMD sont appelées sur des registres spécifiques. La banque de registres NEON compte 32 registres de 64 bits. Ces registres sont partagés entre NEON et VFP (*Vector Floating Point*, jeu d'instructions SIMD pour *float* sur 32 bits). Les 32 registres peuvent aussi être vus comme 16 registres de 128 bits en associant les registres de 64 bits deux à deux[24]. La figure 20 montre la correspondance entre les registres NEON et VFP et montre comment les 32 registres de 64 bits (D0 à D31, D pour *doubleword*) peuvent être associés pour former 16 registres de 128 bits (Q0 à Q15, Q pour *quadword*).

S0-S31 VFP only	D0-D15 VFPv 2 or VFPv 3-D16	D0-D31 VFPv 3-D32 or Advanced SIMD	Q0-Q15 Advanced SIMD only
S0	D0	D0	Q0
S1	D1	D1	
S2	D2	D2	
S3	D3	D3	Q1
S4			
S5			
S6			
S7			
...	...	...	...
S28	D14	D14	Q7
S29	D15	D15	
S30			
S31			
		D16	Q8
		D17	
		...	...
		D30	Q15
		D31	

FIGURE 20 – Banque de registres partagée entre NEON et VFP



Les instructions NEON permettent de travailler avec des *integer* de 8, 16, 32 ou 64 bits, signés et non signés. Pour le développement de la MDCT, seules des représentations signées en 16 ou en 32 bits seront utilisées. Le 8 bits n'est pas assez précis pour de l'audio, il est généralement utilisé pour de la vidéo. Le 64 bits serait désavantageux par rapport à un algorithme en *float* sur 32 bits : son utilisation doit donc être évitée.

Les données doivent être chargées dans les registres NEON avec des instructions de *load* spécifiques. Ces instructions de chargement ne permettent pas de charger n'importe quelles données dans n'importe quel ordre : les données à charger doivent être consécutives et devront être rangées dans le bon ordre avant leur chargement. Après avoir exécuté les instructions SIMD souhaitées, les données sont déchargées des registres avec des instructions de *store*.

Les instructions NEON permettent de réaliser une même instruction (*Single Instruction*) sur plusieurs données à la fois (*Multiple Data*) après que celles-ci ont été vectorisées. Pour les instructions sur deux vecteurs, les instructions sont appliquées sur les nombres dans l'ordre dans lequel ils ont été chargés dans les vecteurs. Pour une addition, le premier nombre du premier vecteur est additionné au premier nombre du second vecteur, le deuxième nombre du premier vecteur est additionné au deuxième nombre du second vecteur, etc. Par exemple, l'instruction VADD.I16, schématisée à la figure 21, additionne deux vecteurs de 128 bits contenant chacun 8 nombres entiers signés de 16 bits.

Les résultats des instructions SIMD sont placés dans le vecteur de résultats en respectant la position des données des vecteurs utilisés pour calculer ces résultats. Le résultat de l'instruction VADD.I16 est placé dans un troisième vecteur de 128 bits contenant également 8 nombres entiers signés de 16 bits. Les résultats des instructions SIMD peuvent également être placés dans des vecteurs contenant deux fois moins de données afin de conserver plus de précision : par exemple, le résultat de la multiplication de deux vecteurs contenant chacun quatre *integer* codés sur 16 bits peut être placée dans un vecteur contenant quatre *integer* en 32 bits.

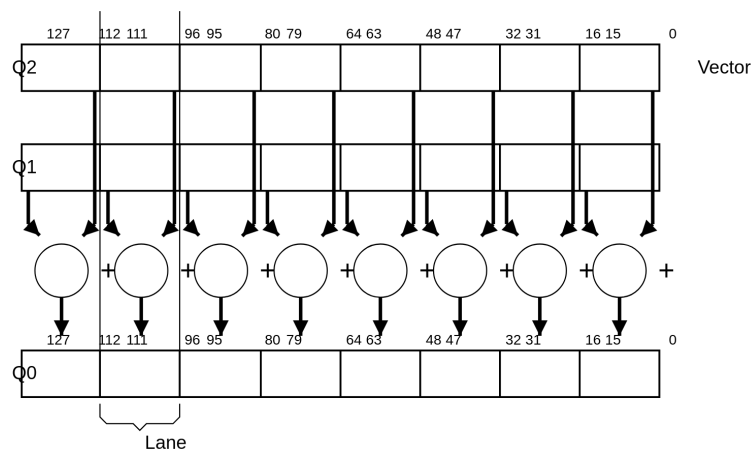


FIGURE 21 – Instruction NEON VADD.I16

GCC rend disponible l'accès aux *intrinsic* NEON via le *header* <arm\_neon.h> [27]. L'utilisation de ces instructions est activée avec l'option -mfpu=neon à la compilation. Les noms donnés aux fonctions de ce *header* permettent de facilement comprendre le rôle de ces fonctions. C'est le cas, par exemple, de la fonction vmull\_s16, utilisée à de nombreuses reprises dans ce travail :

**v** le **v** en début d'instruction indique qu'il s'agit d'une fonction *Advanced SIMD*;

**mul** indique que l'instruction appelée est une multiplication;

**l** indique que le résultat de la multiplication sera entièrement conservé, et pas uniquement les bits de poids fort;

**s16** la multiplication est effectuée sur un vecteur de nombres signés de 16 bits : le résultat sera donc un vecteur de nombres signés de 32 bits.

## 9.2 Implémentation de la MDCT basée sur la FFT de *Ne10* en arithmétique *fixed point* avec optimisations NEON

L'**annexe L** présente l'implémentation de la MDCT *Ne10 fixed point* avec optimisations NEON. Le *header* de la classe `mdct_ne10_i32_neon` (**annexe L.1**) contient les mêmes définitions de fonctions que l'implémentation *plain C* (figure 22). La fonction MDCT a la même signature avec optimisations NEON qu'en *plain C*. La configuration de la FFT et les tableaux d'entrée et de sortie de la FFT sont également les mêmes qu'en *plain C*. La différence se trouve au niveau des facteurs de *twiddling* qui sont désormais séparés en quatre tableaux.

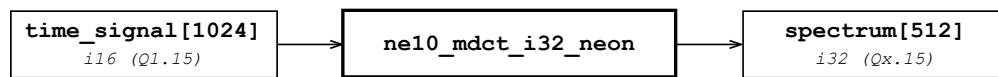


FIGURE 22 – Fonction `ne10_mdct_i32_neon`

### 9.2.1 Séparation du tableau de facteurs de *twiddling*

La figure 23 montre comment le tableau de 512 *twiddle factors* est séparé en deux tableaux de 256 éléments : un tableau (*twiddle start*) contenant les 256 premiers éléments dans le même ordre que le tableau original et un tableau (*twiddle end*) contenant les 256 derniers éléments du tableau original rangés du dernier au 256<sup>ème</sup>.

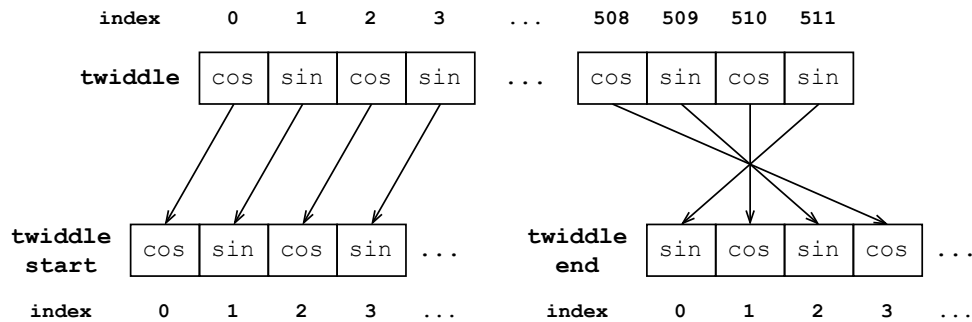


FIGURE 23 – Séparation du tableau de facteurs de *twiddling*

Comme pour l'itération précédente de la MDCT, ces facteurs sont calculés dans le constructeur (**annexe L.2**) en *double* avant d'être convertis en *integer*. Chacun des deux tableaux de *twiddling factors* est codé de deux manières différentes dans deux tableaux différents :

- les facteurs de *pre-twiddling* sont codés sur 16 bits en représentation Q15;
- les facteurs de *post-twiddling* sont codés sur 32 bits en représentation Q31.

Cette séparation vise à optimiser la MDCT en adaptant au préalable les facteurs de *twiddling* à la manière dont ils vont être utilisés dans les opérations de *pre-* et de *post-twiddling*. En effet, la MDCT sera toujours appelée de la même manière, avec la même configuration, puisque la taille de la fenêtre d'entrée ne varie pas. L'initialisation n'est appelée qu'une fois avant d'appeler en boucle la MDCT : les opérations supplémentaires à l'initialisation sont donc finalement beaucoup moins coûteuses qu'à chaque appel de la MDCT.

### 9.2.2 Utilisation de la FFT optimisée NEON

Le passage de la FFT en *plain C* à la FFT optimisée NEON est assez simple puisque les deux fonctions ont la même signature et sont appelées de la même manière. Pour pouvoir remplacer l'appel de la fonction *plain C* par l'appel de la fonction optimisée, il suffit d'initialiser au préalable la configuration de la FFT avec la fonction appropriée, i.e. `ne10_fft_alloc_c2c_int32_neon` au lieu de `ne10_fft_alloc_c2c_int32_c` (**annexe L.2**). L'espace mémoire alloué à la configuration est libéré de la même manière qu'en *plain C* (**annexe L.3**).

### 9.2.3 Organisation des données du signal temporel

Comme les facteurs de *twiddling*, les échantillons du signal temporel doivent être organisés afin de pouvoir appeler efficacement les instructions SIMD. Pour trouver l'organisation des données les plus efficaces, j'ai décomposé les opérations de *pre-twiddling* pour pouvoir y identifier les schémas répétitifs. J'ai ensuite validé l'organisation des opérations dans un tableau. Le détail de ces opérations est donné en commentaire dans l'**annexe L.4**.

Le tableau contenant les échantillons du signal temporel est décomposé en quatre parties : de `t1` à `t4`. Ces données sont chargées dans les vecteurs NEON avec l'opération `vld2_s16` : instruction *Advanced SIMD* (**v**) de chargement (**ld**) dans deux vecteurs (avec un désentrelacement de 2) de données signées codées sur 16 bits (**s16**). Le désentrelacement charge une donnée sur deux dans un vecteur et les données restantes dans un second vecteur (figure 24)[28].

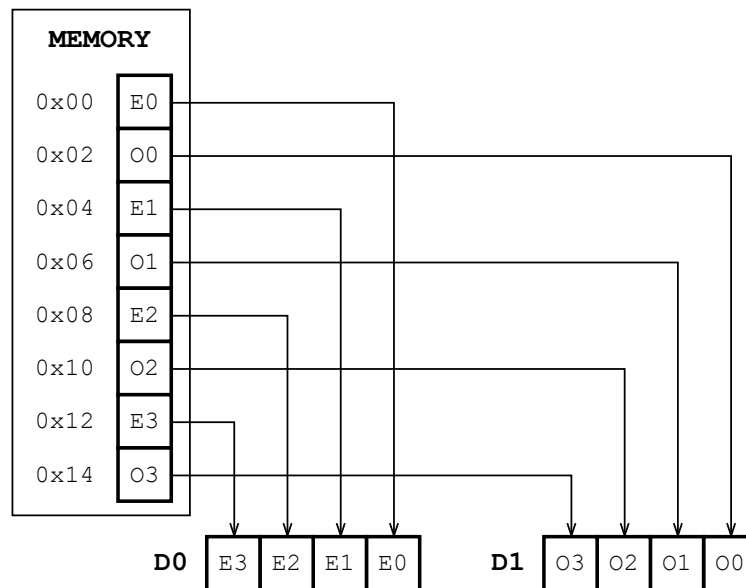


FIGURE 24 – Fonctionnement de l'instruction VLD2.16{D0, D1}, [R0]

Les données des tableaux `t1` et `t3` restent dans l'ordre dans lequel elles ont été chargées. Les données des tableaux `t2` et `t4` sont inversées pour être rangées de la dernière à la première. Cette opération se fait en appelant deux instructions SIMD de *reverse* :

- `vrev32_s16` qui inverse les données au sein des registres de poids fort et les données au sein des registres de poids faible ;
- `vrev64_s32` qui inverse les registres de poids fort avec les registres de poids faible.

La figure 25 montre l'effet de cette double instruction de *reverse* sur un vecteur de quatre données.

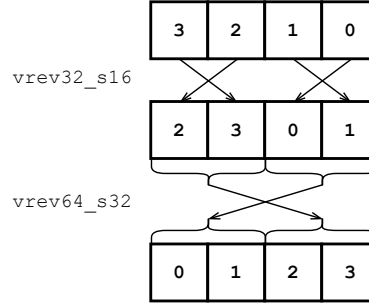


FIGURE 25 – Inversion des données dans un vecteur de quatre éléments

#### 9.2.4 Pre-processing

Les opérations de *pre-twiddling* suivent la même logique que celles de l'itération précédente, à la différence qu'elles sont effectuées sur plusieurs données en même temps. La première de ces instructions en *plain C* :

$$fft\_in[i/2].r = (((r0 * c) + 64) >> 7) + (((i0 * s) + 64) >> 7);$$

devient

```
start.val[0] = vshrq_n_s32(vaddq_s32(
    vaddq_s32(vnull_s16(t4.val[1], start_tw.val[0]), vmull_s16(t3.val[0], start_tw.val[0])),
    vaddq_s32(vnull_s16(t1.val[0], start_tw.val[1]), vmull_s16(vneg_s16(t2.val[1], start_tw.val[1]))), 7);
```

**t1.val[x], t2.val[x], t3.val[x], t4.val[x]** vecteurs contenant quatre échantillons du signal temporel;

**start\_tw.val[x]** vecteur contenant quatre facteurs de *twiddling*;

**vmull\_s16(t4.val[1], start\_tw.val[0])** instruction ARM SIMD (**v**) qui multiplie (**mul**) `t4.val[1]` par `start_tw.val[0]`, *integers* signés sur 16 bits (**s16**), et garde les 32 bits de résultat (**l**);

**vaddq\_s32(vmull\_s16(...), vmull\_s16(...))** addition (**add**) de deux vecteurs contenant quatre entiers signés de 32 bits (**s32**), ces vecteurs sont le résultat de deux opérations de multiplication;

**vaddq\_s32(vaddq\_s32(...), vaddq\_s32(...))** la même instruction SIMD que celle appelée à l'étape précédente additionne les résultats des deux additions et place le résultat dans un vecteur de quatre entiers signés codés sur 32 bits;

**vshrq\_n\_s32(vaddq\_s32(...), 7)** rotation de bits vers la droite (**shift right**) réalisée afin de conserver la *headroom* nécessaire pour la FFT.

Les résultats des opérations de *pre-twiddling* sont déchargés dans le tableau d'entrée de la FFT avec l'instruction `vst2q_s32`. C'est une instruction *Advanced SIMD* (**v**) de *store* (**st**) qui entrelace deux vecteurs (2) d'entiers signés de 32 bits (**s32**).

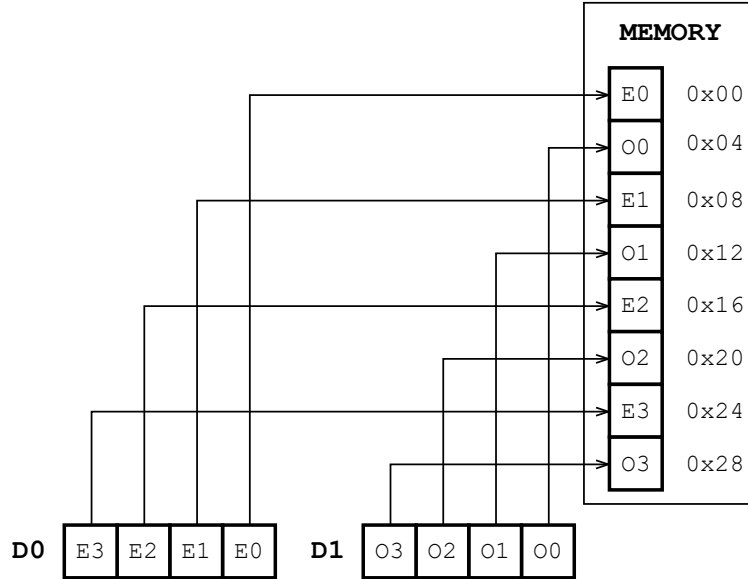


FIGURE 26 – Fonctionnement de l'instruction VST2.32 {D0, D1}, [R0]

### 9.2.5 Post-processing

Les données de sortie de la FFT sont chargées dans des vecteurs, certaines dans l'ordre dans lequel elles se trouvent en mémoire et certaines dans l'ordre inverse. Les instructions SIMD utilisées pour leur chargement sont un peu différentes de celles utilisées pour le *pre-twiddling* puisque les données de sortie de la FFT sont codées sur 16 bits mais le principe reste le même.

Les opérations de *post-processing* de l'itération précédente sont adaptées à l'utilisation d'instructions SIMD, Ainsi, la première des opérations de *post-processing* :

$$spectrum[i] = ((((-r0 + 128) >> 8) * c + 16384) >> 15) - (((i0 + 128) >> 8) * s + 16384) >> 15);$$

devient

$$spectrum\_start.val[0] = vshrq\_n\_s32(vaddq\_s32(\\begin{aligned} &vqrdmulhq\_s32(vnegq\_s32(fft\_out\_start.val[0]), start\_tw.val[0]), \\ &vqrdmulhq\_s32(vnegq\_s32(fft\_out\_start.val[1]), start\_tw.val[1])), 8); \end{aligned}$$

**fft\_out\_start.val[x]** vecteurs contenant quatre résultats de sortie de la FFT;

**start\_tw.val[x]** vecteur contenant quatre facteurs de *twiddling*;

**vnegq\_s32(fft\_out\_start.val[x])** instruction *Advanced SIMD* (**v**) qui transforme en leur valeur négative (**neg**) quatre nombres entiers signés de 32 bits (**s32**) pour une vue en 128 bits du registre (**quadword**);

**vqrdmulhq\_s32(vnegq\_s32(fft\_out\_start.val[x]), start\_tw.val[x])** instruction ARM SIMD (**v**) qui opère sur une vue en 128 bits des registres (**q**) une multiplication (**mul**) sur des entiers signés en 32 bits (**s32** : le résultat de cette opération est un vecteur de quatre entiers signés sur 32 bits (**q**) qui ne conserve que les bits de poids forts (**h**) du produit de la multiplication ;

**vaddq\_s32(vaddq\_s32(vqrdmulhq\_s32(...), vqrdmulhq\_s32(...))** les deux vecteurs de quatre éléments entiers sur 32 bits sont additionnés (**add**) avec pour résultat un autre vecteur de quatre entiers signés sur 32 bits pour une représentation en 128 bits des vecteurs ;

**vshrq\_n\_s32(vaddq\_s32(...), 8)** le résultat final subit une rotation vers la droite (**shift right**) de 8 bits pour revenir à une échelle Q15.

Les résultats des opérations de *post-twiddling* sont déchargées des registres NEON par les mêmes opérations de *store* (vst2q\_s32) que les résultats des opérations de *pre-twiddling*.

### 9.3 Validation

L'implémentation de la MDCT *fixed point* avec optimisations NEON a été testée de la même manière que toutes les autres MDCT (cf. section 10.1). Parmi les nombreux tests effectués, la figure 27 présente le spectre de fréquences que génère cette MDCT avec un signal à 440 Hz en entrée.

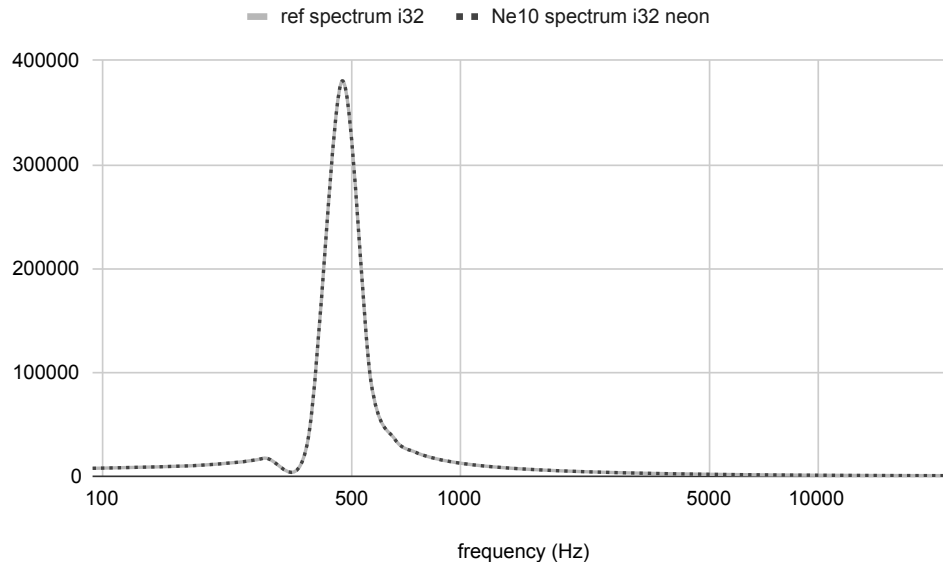


FIGURE 27 – Spectre de fréquences généré par la MDCT Ne10 i32 NEON comparé au spectre de référence (440 Hz)

Le spectre généré par la MDCT *Ne10 i32 neon* se superpose bien au spectre de référence. La principale composante fréquentielle relevée est, comme attendu, aux alentours de 440 Hz

## 9.4 Performances

Les performances de cette dernière itération de la MDCT sont cette fois satisfaisantes. Avec un temps d'exécutions moyen de  $5.8\mu\text{s}$ , elle est la plus rapide des MDCT développées dans ce travail. Elle est évidemment plus rapide que l'algorithme en *fixed point plain C* qui était le plus lent de tous les algorithmes optimisés avec  $22\mu\text{s}$  de temps d'exécution moyen. Mais elle est surtout plus rapide que les MDCT en *floating point* ( $9\mu\text{s}$  pour la MDCT basée sur la FFT de *Ne10* et  $7.4\mu\text{s}$  pour celle basée sur la FFT de *FFTW3*).

La section suivante revient plus en détail sur le protocole de mesure des performances et les comparaisons entre les différentes MDCT.

## 10 Analyse des résultats

### 10.1 Protocole de validation

Les sections précédentes ont montré que les différentes itérations de la MDCT ont été validées à chaque étape du développement de ce travail. Cette validation consiste essentiellement en une vérification manuelle des données de sortie de la MDCT sur base de divers signaux en entrée.

L'**annexe M** présente le code de test utilisé pour ces vérifications. Les tests génèrent différents types de signaux : signaux sinusoïdaux à une ou plusieurs fréquences et données aléatoires. Les différentes MDCT génèrent des spectres de fréquences qui sont sortis dans un fichier CSV afin de pouvoir être exploités sous forme graphique.

Avec un signal sinusoïdal connu en entrée, il est facile de vérifier que le spectre ne contienne bien qu'une seule composante fréquentielle, que la vérification se fasse en lisant les données brutes à la sortie de l'algorithme ou par une analyse graphique de celles-ci. Ce travail a présenté les spectres de fréquences générés par les MDCT avec un signal à 440 Hz. Les MDCT ont bien entendu été testées avec d'autres signaux. La figure 28 présente, par exemple, le spectre de fréquences d'un signal sinusoïdal à 10 kHz.

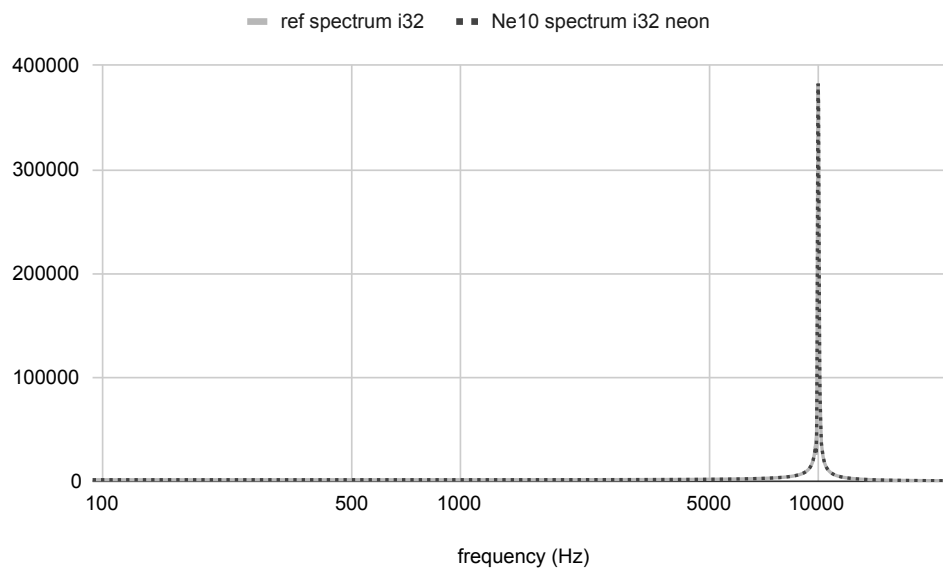


FIGURE 28 – Spectre de fréquences généré par la MDCT Ne10 i32 NEON comparé au spectre de référence (10 kHz)

La figure 28 montre que le spectre de fréquences généré par la MDCT optimisée se superpose bien au spectre de fréquences de référence. Toutes les MDCT optimisées ont été validées par comparaison avec le spectre de fréquences de référence : comparaison visuelle, comme ici avec un graphique, ou calcul de la différence entre les données des deux spectres. Cette validation a pu mettre en évidence les dépassements produits afin de les corriger.



Les spectres de fréquences ont également été comparés avec les spectres de fréquences générés par la MDCT basée sur la FFT de *FFTW3*, directement en *float* ou mis à échelle Q15. Ces comparaisons ne sont pas reproduites dans ce travail à cause du manque de lisibilité de graphiques superposant trois spectres de fréquences.

La composante fréquentielle principale mise en évidence par le spectre de fréquences de la figure 28 ne se situe pas exactement à 10 kHz. En effet, la résolution du spectre de fréquences n'offre pas une analyse aussi fine du signal. La résolution pour un spectre de fréquences de 256 composantes fréquentielles (512 éléments en nombres complexes), pour une fréquence d'échantillonnage de 48 kHz est de  $\frac{Fs/2}{size} = \frac{24000}{256} = 93.75$  Hz.

Pour rappel, les données du spectre de fréquences produit par la MDCT sont des complexes contenus dans un tableau à une dimension alternant les parties réelles aux parties imaginaires des composantes fréquentielles. Le code de test de l'**annexe M** calcule donc le module de ces composantes fréquentielles avant de les écrire dans le fichier CSV utilisé pour générer les différents graphiques présentés dans ce travail.

En plus de signaux à une seule fréquence, les MDCT ont été testées avec des signaux à multiples fréquences. La figure 29 représente un de ces signaux. Il est composé de deux sinus d'amplitudes différentes :

- un signal sinusoïdal d'amplitude 0.9 à 440 Hz;
- un signal sinusoïdal d'amplitude 0.45 à 880 Hz.

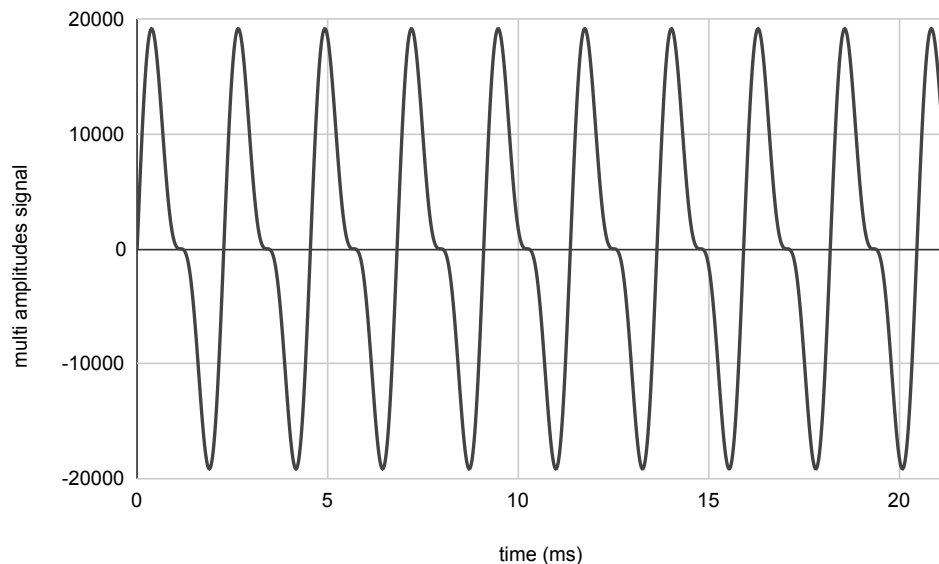


FIGURE 29 – Signal temporel composé de deux sinus d'amplitude différente à 440 et 880 Hz

La figure 30 montre le spectre de fréquences produit par la dernière itération de la MDCT avec ce signal en entrée. Les composantes fréquentielles mises en évidence par le graphique sont bien celles attendues : 440 et 880 Hz.

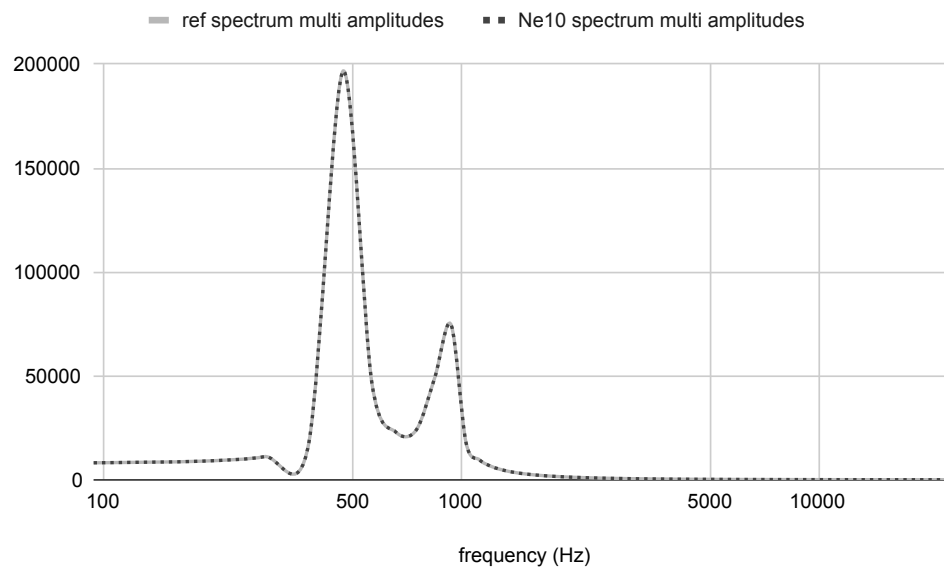


FIGURE 30 – Spectre de fréquences généré par la MDCT Ne10 i32 NEON pour un signal composé de deux sinus d'amplitude différente

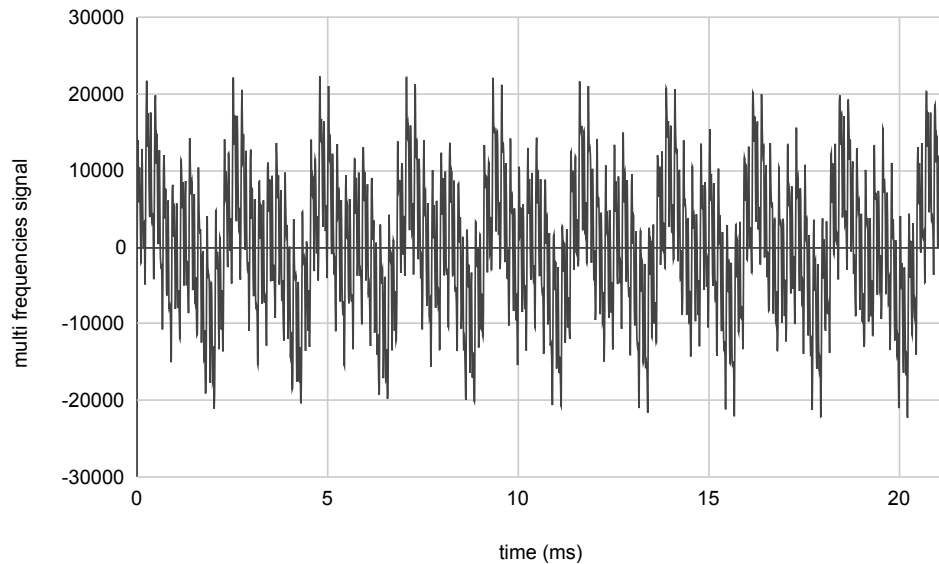


FIGURE 31 – Signal temporel composé de sinus à 440 Hz, 880 Hz, 4.4 kHz, 8.8 kHz et 17.6 kHz

Un signal composé de multiples fréquences de même amplitude (31) confirme la validité de la MDCT. La figure 32 met bien en évidence les composantes fréquentielles à 440 Hz, 880 Hz, 4.4 kHz, 8.8 kHz et 17.6 kHz du signal composé qui lui a été donné en entrée.

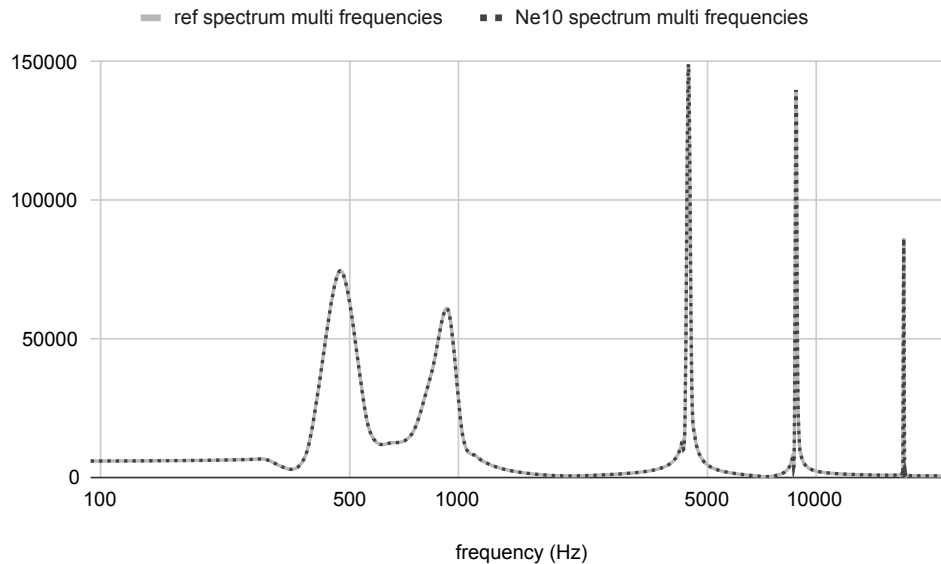


FIGURE 32 – Validation de la génération d'un spectre composé de multiples fréquences

Les MDCT ont enfin été testées sur base de données d'entrée générées aléatoirement. Les résultats de ces tests ont été validés en calculant la différence entre les valeurs du spectre généré par la MDCT de référence et les valeurs du spectre de la MDCT testée pour s'assurer que l'écart entre les deux soit acceptable.

Les tests de validation auraient pu être améliorés en automatisant la vérification, e.g. en générant une fois les données de référence attendues pour permettre le développement d'un code de test qui compare automatiquement les données de références avec les données à vérifier. En effet, devoir relancer les tests et vérifier les données à chaque fois qu'une modification est faite dans le code peut s'avérer laborieux et mettre en place des tests automatiques aurait permis de gagner un temps précieux.

## 10.2 Performances des MDCT

La mesure des performances a pour but de valider le bloc MDCT avant de l'intégrer au codec AAC. Le cahier des charges du stage ne contenait pas d'objectif à atteindre en termes de performances, ni absolu (e.g. un temps d'exécution maximal à respecter dans des conditions données), ni relatif (e.g. gagner un certain pourcentage de performances par rapport à une MDCT de référence).

L'objectif en termes de temps d'exécution n'étant pas fini, il a été décidé de tenter de gagner le maximum de performances sur le temps de mon stage. Le critère de réussite est dès lors d'obtenir des performances au moins équivalentes pour la version finale de la MDCT que pour ses itérations précédentes.

Le temps d'exécution de la MDCT *fixed point* doit évidemment être inférieur au temps d'exécution de l'algorithme de référence puisque celui-ci ne contient aucune optimisation. Ce temps peut toutefois être équivalent au temps d'exécution de la MDCT *floating point* : à performances équivalentes, l'algorithme *fixed point* rendra tout de même l'encodeur AAC plus performant en économisant les transtypes *integer-float* à l'entrée et à la sortie du bloc MDCT. En effet, les données sont reçues par la MDCT en *integer* et devront être traitées en *integer* par le bloc de quantification à la sortie de la MDCT.

Le temps d'exécution des différentes itérations de la MDCT a été mesuré sur base du code de l'**annexe N.1** compilé par les commandes CMake présentées dans l'**annexe N.2**. Le code permet de générer plusieurs exécutables en fonction de la variable de préprocesseur définie à la compilation, afin de pouvoir tester :

- La MDCT *Ne10 float 32 plain C* ;
- La MDCT *Ne10 integer 32 plain C* ;
- La MDCT *Ne10 integer 32 NEON* ;
- La MDCT de référence en *float 32*.

Le code de l'**annexe O.1**, compilé avec les commandes de l'**annexe O.2** génère un exécutable permettant de mesurer le temps moyen d'exécution de la MDCT *FFTW3 float 32*.

Les tests de performances sont lancés sur le Raspberry via une connexion SSH. Un script permet d'appeler tous les exécutables avec les paramètres voulus et les résultats affichés en console sont redirigés vers un fichier texte. Les tests sont réalisés en isolation, i.e. aucun processus non nécessaire au fonctionnement du Raspberry n'est lancé durant la réalisation des tests pour ne pas interférer et risquer d'allonger le temps d'exécution. Les mesures de performances ont été prises avec des exécutables compilés en mode *release* avec l'option `CMAKE_BUILD_TYPE=RELEASE`.

Les résultats présentés dans la table 2 ont été mesurés sur 10 000 000 d'exécutions (10 000 pour l'algorithme de référence) avec en entrée l'échantillon d'un son pur à 440 Hz.

MDCT	Temps d'exécution moyen (ns)	Écart type (ns)
<i>Ne10 i32 NEON</i>	5796.35	$0.02259 \times 10^{-6}$
<i>Ne10 i32 C</i>	22066.8	$3.31025 \times 10^{-6}$
<i>Ne10 f32</i>	9020.1	$0.02251 \times 10^{-6}$
<i>FFTW3 f32</i>	7446.84	$1.29403 \times 10^{-6}$
<i>Reference f32</i>	$29212.6 \times 10^3$	$0.77552 \times 10^{-6}$

TABLE 2 – Tests de performances des algorithmes MDCT (données d'entrée identiques)

Les résultats montrent que la MDCT optimisée avec les instructions ARM NEON est bien plus rapide que les autres MDCT développées avec un temps d'exécution moyen de 5796.35 ns. L'objectif du stage est donc bien atteint.

L'algorithme MDCT de référence est le plus lent de tous avec un temps d'exécution moyen de 29 212.6  $\mu$ s. Ce résultat est tout à fait normal puisque cet algorithme a été développé sans optimisation particulière.

La MDCT *fixed point* en *plain C* est la plus lente des MDCT optimisées avec un temps d'exécution moyen de 22 066.8 ns. La section 8.4 permet de comprendre en quoi ce résultat est cohérent puisque le processeur ARMv7 supporte de nombreuses instructions en *float* sur 32 bits et que l'arithmétique *fixed point* nécessite souvent plusieurs opérations là où une seule est nécessaire en *floating point*.

Ces résultats montrent que l'implémentation des instructions ARM NEON était nécessaire afin d'obtenir des performances acceptables. Sans l'implémentation d'une MDCT optimisée avec ces instructions, l'utilisation d'une MDCT *fixed point* aurait été compromis par les résultats insatisfaisants de l'implémentation *plain C*.

Enfin, pour les implémentations *floating point plain C*, la MDCT *Ne10* est un peu plus lente que la MDCT *FFTW3* avec un temps d'exécution moyen de 9020.1 ns contre 7446.84 ns. Ce résultat est cohérent avec les performances des différentes FFT mesurées à la section 7.4 : la FFT de *FFTW3* en *float 32* est en effet environ 2  $\mu$ s plus rapide que la FFT de *Ne10* en *float 32 plain C*.

La MDCT est un algorithme déterministe : elle a des performances identiques quelles que soient ces données d'entrée. À titre indicatif, la table 3 montre les résultats des tests de performances réalisés dans les mêmes conditions que ceux présentés plus haut mais avec des données aléatoires différentes à chaque exécution en entrée des MDCT.

MDCT	Temps d'exécution moyen (ns)	Écart type (ns)
<i>Ne10 i32 NEON</i>	5738.84	$0.29399 \times 10^{-6}$
<i>Ne10 i32 C</i>	21805.5	$0.28367 \times 10^{-6}$
<i>Ne10 f32</i>	8948.4	$0.26262 \times 10^{-6}$
<i>FFTW3 f32</i>	7574.63	$0.13941 \times 10^{-6}$
<i>Reference f32</i>	$29253.1 \times 10^3$	$4.58387 \times 10^{-6}$

TABLE 3 – Tests de performances des algorithmes MDCT (données d'entrée variables aléatoires)

## 11 Pistes d'amélioration

L'algorithme MDCT ne constitue qu'une première étape de la construction d'un encodeur AAC. Pour pouvoir être testé plus complètement, e.g. sur des fenêtres d'échantillons provenant d'un signal réel, toute une mécanique de lecture des données avec overlap aurait dû être mise en place.

Après la lecture des données et leur passage dans la MDCT, le bloc suivant à implémenter est le bloc de quantification. Les mêmes optimisations que celles apportées à la MDCT doivent lui être apportées avec l'utilisation d'une arithmétique *fixed point* reposant sur les opérations SIMD du processeur ARM.

La MDCT doit être complétée avec une fonction de fenêtre. Cette fonction est typiquement une fonction basée sur un sinus ou un cosinus au travers de laquelle le signal temporel est passé avant d'être analysé par la MDCT. Cette fonction a pour but d'améliorer la transformation effectuée par la MDCT en atténuant l'effet de coupure aux extrémités de la fenêtre d'entrée de la MDCT.

La fonction de fenêtre utilisée pour l'encodeur AAC, aussi appelée MLT (*Modulated Lapped Transform*) (figure 33), est donnée pour une fenêtre de taille  $2N$ , par l'équation :

$$w_n = \sin \left[ \frac{\pi}{2N} \left( n + \frac{1}{2} \right) \right]$$

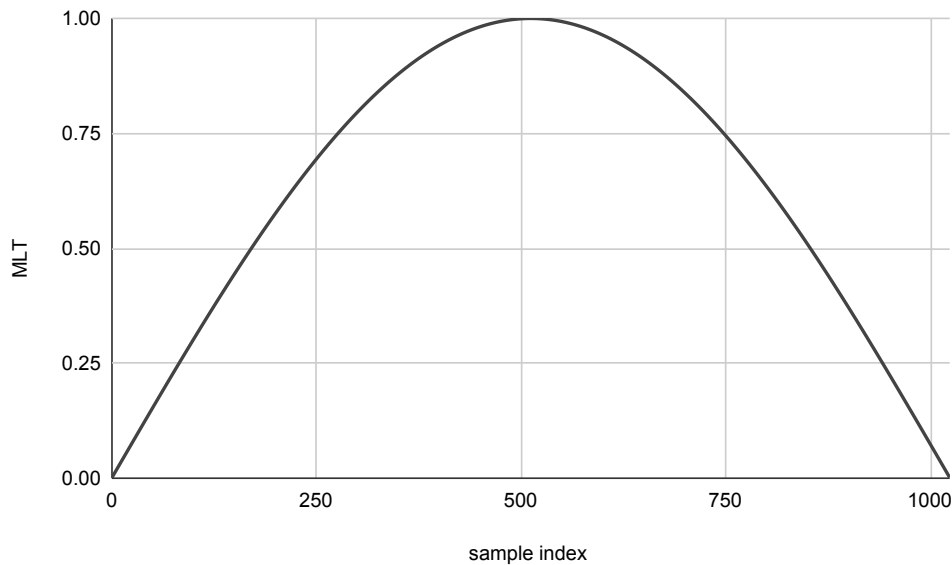


FIGURE 33 – Window function (MLT)

La figure 34 montre la comparaison entre les spectres de fréquences générés par la MDCT *Ne10 i32 neon* pour le même signal d'entrée, passé ou non au travers de la fonction de fenêtre pour le même signal sinusoïdal à 440 Hz que

celui montré dans la plupart des exemples de ce travail. La comparaison a également été faite avec quelques autres signaux. À chaque fois, la composante fréquentielle relevée est un peu plus nette avec la fonction de fenêtre.

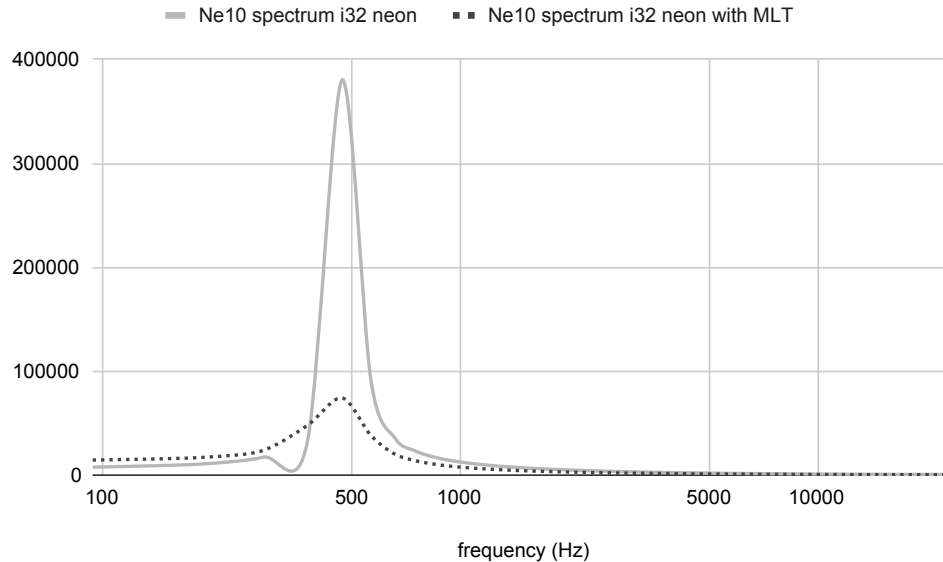


FIGURE 34 – Comparaison des spectres de fréquences générés par la MDCT avec et sans MLT (440 Hz)

Le graphique montre également une valeur plus basse pour la fréquence relevée sur base du signal passé par la MLT. Cette valeur tient désormais sur du Q15 sans dépassement. Il aurait été intéressant, si mon stage avait duré plus longtemps, de vérifier si le spectre de fréquences produit après le passage dans la MLT permettait toujours d'avoir ce type de résultats. Les performances de la MDCT pourraient alors encore être améliorées en ramenant plus d'opérations en 16 bits.

Pour pouvoir être intégrée intelligemment à la MDCT, la fonction de fenêtre aurait dû être combinée aux facteurs de *pre-twiddling* de la MDCT. Il aurait alors fallu relancer tous les tests afin de valider le nouvel algorithme. De la même manière, pour rendre l'encodeur plus performant, les premières opérations du bloc de quantification pourraient être effectuées en même temps que le *post-twiddling*.

Avec des tests automatisés, j'aurais probablement eu plus de temps à la fin de mon stage pour mettre en place cette fonction de fenêtre de manière sûre. Si je devais recommencer ce type de travail aujourd'hui, avec l'expérience acquise durant mon stage, je réfléchirais très probablement en début de développement à une manière plus simple de valider les données, et peut-être également les performances.

## Conclusion

Ce travail a abouti avec succès à une version optimisée du bloc MDCT. Les différentes itérations de l'algorithme ont permis successivement :

- d'implémenter une MDCT basée sur une FFT existante avec opérations de *pre-* et de *post-processing* sur base d'un code fourni;
- d'intégrer la librairie *Ne10* pour utiliser une FFT optimisée avec les instructions *Advanced SIMD*;
- de passer les opérations de *pre-* et de *post-processing* en arithmétique *fixed point*;
- de mettre en œuvre les instructions *Advanced SIMD* dans les opérations de *pre-* et de *post-processing* de la MDCT.

Les résultats en performance des itérations en arithmétique *fixed point* ont montré que, pour un processeur disposant d'un jeu d'instructions *floating point* performant, comme c'est le cas de l'ARMv7, travailler en *integer* n'est plus aussi avantageux que sur des processeurs plus anciens. Les effets de bord positifs d'un algorithme en *integer* n'ont pas pu être mesurés puisque le développement de la MDCT était la première étape du développement de l'encodeur AAC.

La MDCT implémentée avec les instructions ARM NEON a compensé les lenteurs de l'algorithmique *fixed point*. Le temps d'exécution de la dernière itération de la MDCT est le plus court de tous ceux mesurés au cours de ce travail.

Pour être réellement complète, la MDCT doit encore intégrer une fonction de fenêtre à appliquer au signal d'entrée. Le bloc MDCT lui-même devra être intégré à tout un encodeur qui n'est pas encore construit.

La réalisation de ce travail m'a permis de mettre en œuvre les connaissances acquises au cours de mon bachelier pour les appliquer à un domaine nouveau. Ce stage a été l'occasion de me confronter pour la première fois aux techniques de traitement du signal audiovisuel du *broadcast*. J'y ai acquis énormément de nouvelles connaissances en peu de temps, avec parfois la frustration de ne pas pouvoir me consacrer plus aux aspects théoriques de l'encodage audionumérique.

Mon stage m'a enfin permis de découvrir une nouvelle entreprise, différente sur de nombreux aspects des entreprises dans lesquels j'ai travaillé auparavant. C'est une chance incroyable qui m'a été offerte de travailler dans un cadre aussi exceptionnel où tout est mis en œuvre pour favoriser le développement de produits de qualité et la collaboration.



## Références

- [1] “EVS Website.” [<https://evs.com>], consulté le 21 avril 2022.
- [2] “Page de présentation des produits commercialisés par EVS Broadcast Equipment.” [<https://evs.com/products>], consulté le 21 avril 2022.
- [3] J.-J. Embrechts, “Introduction aux techniques audio et video (notes de cours),” 2005.
- [4] Wikipedia, “Codec.” [<https://en.wikipedia.org/wiki/Codec>], consulté le 2 mai 2022.
- [5] Wikipedia, “Moving picture experts group.” [[https://en.wikipedia.org/wiki/Moving\\_Picture\\_Experts\\_Group](https://en.wikipedia.org/wiki/Moving_Picture_Experts_Group)], consulté le 30 mars 2022.
- [6] Wikipedia, “Advanced audio coding.” [[https://en.wikipedia.org/wiki/Advanced\\_Audio\\_Coding](https://en.wikipedia.org/wiki/Advanced_Audio_Coding)], consulté le 7 mars 2022.
- [7] “Information technology – Generic coding of moving pictures and associated audio information – Part 7 : Advanced Audio Coding (AAC),” standard, International Organization for Standardization, 2006. [<https://www.iso.org/standard/43345.html>].
- [8] “Information technology – Coding of audio-visual objects – Part 3 : Audio,” standard, International Organization for Standardization, 2019. [<https://www.iso.org/standard/76383.html>].
- [9] K. Brandenburg, “MP3 and AAC Explained,” *AES 17<sup>th</sup> International Conference on High Quality Audio Coding*, 1999.
- [10] Wikipedia, “Psychoacoustics.” [<https://en.wikipedia.org/wiki/Psychoacoustics>], consulté le 2 mars 2022.
- [11] J. Herre and S. Dick, “Psychoacoustic Models for Perceptual Audio Coding—A Tutorial Review,” *Applied Sciences*, vol. 9, p. 2854, 07 2019.
- [12] R. L. Wegel and C. E. Lane, “The auditory masking of one pure tone by another and its probable relation to the dynamics of the inner ear,” *Phys. Rev.*, vol. 23, pp. 266–285, 1924.
- [13] L. L. M. Vogten, “Pure-tone masking : A new result from a new method,” in *Facts and Models in Hearing* (E. Zwicker and E. Terhardt, eds.), (Berlin, Heidelberg), pp. 142–155, Springer Berlin Heidelberg, 1974.
- [14] W. Heddari, “Study of audio aac encoding and developing an optimized encoder,” Master’s thesis, Université de Liège, 2020–2021.
- [15] Wikipedia, “Modified discrete cosine transform.” [[https://en.wikipedia.org/wiki/Modified\\_discrete\\_cosine\\_transform](https://en.wikipedia.org/wiki/Modified_discrete_cosine_transform)], consulté le 17 septembre 2021.
- [16] B. Edler, “The MDCT and its Applications in Audio Coding,” 2014. [<https://community.arm.com/arm-community-blogs/b/architectures-and-processors-blog/posts/coding-for-neon---part-1-load-and-stores>].
- [17] J. Princen, A. Johnson, and A. Bradley, “Subband/transform coding using filter bank designs based on time domain aliasing cancellation,” in *ICASSP ’87. IEEE International Conference on Acoustics, Speech, and Signal Processing*, vol. 12, pp. 2161–2164, 1987.
- [18] “Site internet de la Fondation Raspberry.” [<https://www.raspberrypi.com/>], consulté le 10 juin 2022.
- [19] “Code d’exemple d’une MDCT basée sur une FFT,” 2011. [<https://www.dsprelated.com/showcode/196.php>].
- [20] M. Frigo and S. G. Johnson, “The design and implementation of FFTW3,” *Proceedings of the IEEE*, vol. 93, no. 2, pp. 216–231, 2005. Special issue on “Program Generation, Optimization, and Platform Adaptation”.
- [21] “Site de la librairie FFTW.” [<http://www.fftw.org/>], consulté le 10 juin 2022.

- 
- [22] “Documentation du projet Ne10.” [<http://projectne10.github.io/Ne10/doc/>], consulté le 9 mai 2022.
- [23] “The 3-Clause BSD License.” [<https://opensource.org/licenses/BSD-3-Clause>], consulté le 9 mai 2022.
- [24] “Instruction Set Assembly Guide for Armv7 and earlier Arm architectures – Version 2.0 – Reference Guide.” [<https://developer.arm.com/documentation/100076/0200>], consulté le 10 juin 2022.
- [25] E. Oberstar, “Fixed-Point Representation & Fractional Math Revision 1.2,” 2007.
- [26] Wikipedia, “Single instruction, multiple data.” [[https://en.wikipedia.org/wiki/Single\\_instruction,\\_multiple\\_data](https://en.wikipedia.org/wiki/Single_instruction,_multiple_data)], consulté le 29 mai 2022.
- [27] “Liste des intrinsèques ARM NEON supportée par GCC.” [<https://gcc.gnu.org/onlinedocs/gcc-4.6.1/gcc/ARM-NEON-Intrinsics.html>], consulté le 10 juin 2022.
- [28] ARM Community blogs, “Série de tutoriels *Coding for Neon*,” 2013. [<https://community.arm.com/arm-community-blogs/b/architectures-and-processors-blog/posts/coding-for-neon---part-1-load-and-stores>].

## Liste des annexes

<b>A</b>	<b>Raspberry Pi 4 CPU info</b>	<b>I</b>
<b>B</b>	<b>CMake principal</b>	<b>II</b>
<b>C</b>	<b>Valeurs constantes des MDCT</b>	<b>III</b>
<b>D</b>	<b>Algorithmes de référence</b>	<b>IV</b>
D.1	MDCT de référence en <i>floating point</i> . . . . .	IV
D.2	MDCT de référence en <i>fixed point</i> . . . . .	IV
<b>E</b>	<b>Génération d'un signal sinusoïdal</b>	<b>V</b>
E.1	Génération d'un signal sinusoïdal en <i>floating point</i> . . . . .	V
E.2	Génération d'un signal sinusoïdal en <i>fixed point</i> . . . . .	V
<b>F</b>	<b>Implémentation de la MDCT basée sur la FFT de <i>FFTW3</i></b>	<b>VI</b>
F.1	Header . . . . .	VI
F.2	Constructeur . . . . .	VI
F.3	Destructeur . . . . .	VII
F.4	Fonction MDCT . . . . .	VII
<b>G</b>	<b>Validation de la MDCT <i>FFTW3</i> en <i>float 32</i></b>	<b>IX</b>
G.1	Code source . . . . .	IX
G.2	Compilation . . . . .	X
<b>H</b>	<b>Implémentation de la MDCT basée sur la FFT de <i>Ne10</i> en <i>floating point</i></b>	<b>XI</b>
H.1	Header . . . . .	XI
H.2	Constructeur . . . . .	XI
H.3	Destructeur . . . . .	XII
H.4	Fonction MDCT . . . . .	XII
<b>I</b>	<b>Mesure des performances des FFT de <i>Ne10</i></b>	<b>XIV</b>
I.1	Code source . . . . .	XIV
I.2	Compilation . . . . .	XVI
<b>J</b>	<b>Mesure des performances des FFT de <i>FFTW3</i></b>	<b>XVIII</b>
J.1	Code source . . . . .	XVIII
J.2	Compilation . . . . .	XIX
<b>K</b>	<b>Implémentation de la MDCT basée sur la FFT de <i>Ne10</i> en <i>fixed point</i></b>	<b>XX</b>
K.1	Header . . . . .	XX
K.2	Constructeur . . . . .	XX
K.3	Destructeur . . . . .	XXI
K.4	Fonction MDCT . . . . .	XXI

<b>L</b>	<b>Implémentation de la MDCT basée sur la FFT de <i>Ne10</i> en <i>fixed point</i> avec optimisations NEON</b>	<b>XXIII</b>
L.1	Header . . . . .	XXIII
L.2	Constructeur . . . . .	XXIII
L.3	Destructeur . . . . .	XXIV
L.4	Fonction MDCT . . . . .	XXIV
<b>M</b>	<b>Validation des spectres de fréquences produits par les MDCT</b>	<b>XXVIII</b>
M.1	Code source . . . . .	XXVIII
M.2	Compilation . . . . .	XXXII
<b>N</b>	<b>Mesure des performances des MDCT <i>Ne10</i> et MDCT de référence</b>	<b>XXXIII</b>
N.1	Code source . . . . .	XXXIII
N.2	Compilation . . . . .	XXXV
<b>O</b>	<b>Mesure des performances de la MDCT <i>FFTW3</i> en <i>float 32</i></b>	<b>XXXVII</b>
O.1	Code source . . . . .	XXXVII
O.2	Compilation . . . . .	XXXVIII

## A Raspberry Pi 4 CPU info

Informations sur les CPU du Raspberry Pi 4 contenues dans le fichier `/proc/cpuinfo`.

```
$ cat /proc/cpuinfo
processor       : 0
model name     : ARMv7 Processor rev 3 (v7l)
BogoMIPS      : 108.00
Features       : half thumb fastmult vfp edsp neon vfpv3 tls vfpv4 idiva idivt vfpd32 lpae
               evtstrm crc32
CPU implementer : 0x41
CPU architecture: 7
CPU variant    : 0x0
CPU part       : 0xd08
CPU revision   : 3

processor       : 1
model name     : ARMv7 Processor rev 3 (v7l)
BogoMIPS      : 108.00
Features       : half thumb fastmult vfp edsp neon vfpv3 tls vfpv4 idiva idivt vfpd32 lpae
               evtstrm crc32
CPU implementer : 0x41
CPU architecture: 7
CPU variant    : 0x0
CPU part       : 0xd08
CPU revision   : 3

processor       : 2
model name     : ARMv7 Processor rev 3 (v7l)
BogoMIPS      : 108.00
Features       : half thumb fastmult vfp edsp neon vfpv3 tls vfpv4 idiva idivt vfpd32 lpae
               evtstrm crc32
CPU implementer : 0x41
CPU architecture: 7
CPU variant    : 0x0
CPU part       : 0xd08
CPU revision   : 3

processor       : 3
model name     : ARMv7 Processor rev 3 (v7l)
BogoMIPS      : 108.00
Features       : half thumb fastmult vfp edsp neon vfpv3 tls vfpv4 idiva idivt vfpd32 lpae
               evtstrm crc32
CPU implementer : 0x41
CPU architecture: 7
CPU variant    : 0x0
CPU part       : 0xd08
CPU revision   : 3

Hardware       : BCM2711
Revision       : b03112
Serial         : 1000000022221a34
Model          : Raspberry Pi 4 Model B Rev 1.2
```

## B CMake principal

Fichier CMake principal placé à la racine du projet. Il permet de compiler :

- le projet *audio\_encoding* contenant les différentes MDCT et leurs tests : les commandes CMake de ce sous-projet sont présentées dans les annexes suivantes sous le code qu'elles permettent de compiler;
- la librairie *Ne10* : les variables suivantes sont initialisées conformément aux recommandations de la documentation pour la compilation de la librairie :
  - `NE10_LINUX_TARGET_ARCH` est initialisée à `armv7` (l'architecture du Raspberry Pi 4);
  - `GNULINUX_PLATFORM` est initialisée à `ON`;
  - `BUILD_DEBUG` est initialisée à `ON` si le projet est compilé en mode *debug*.

```
cmake_minimum_required(VERSION 3.13)

set(NE10_LINUX_TARGET_ARCH armv7)
set(GNULINUX_PLATFORM ON)
if (CMAKE_BUILD_TYPE STREQUAL "DEBUG")
    set(BUILD_DEBUG ON)
endif (CMAKE_BUILD_TYPE STREQUAL "DEBUG")

add_subdirectory(audio_encoding)
add_subdirectory(Ne10)
```

## C Valeurs constantes des MDCT

Le fichier `mdct_constants.h` rassemble les valeurs constantes des MDCT pour une fenêtre d'entrée de 1024 échantillons.

```
// Sampling frequency: 48kHz
#define FS 48000

// Window length and derived constants
#define MDCT_WINDOW_LEN 1024
#define MDCT_M (MDCT_WINDOW_LEN > 1) // spectrum size
#define MDCT_M2 (MDCT_WINDOW_LEN > 2) // fft size
#define MDCT_M4 (MDCT_WINDOW_LEN > 3)
#define MDCT_M32 (3 * (MDCT_WINDOW_LEN > 2))
#define MDCT_M52 (5 * (MDCT_WINDOW_LEN > 2))
```

## D Algorithmes de référence

### D.1 MDCT de référence en *floating point*

Algorithme de référence basé sur la formule mathématique de la MDCT. Le *template* permet de réaliser les calculs en *float* ou en *double*.

```
#include <cmath>

#include "mdct_constants.h"

template<typename FLOAT>
void ref_float_mdct(FLOAT *time_signal, FLOAT *spectrum)
{
    FLOAT scale = 2.0 / sqrt(MDCT_WINDOW_LEN);
    FLOAT factor1 = 2.0 * M_PI / static_cast<FLOAT>(MDCT_WINDOW_LEN);
    FLOAT factor2 = 0.5 + static_cast<FLOAT>(MDCT_M2);
    for (int k = 0; k < MDCT_M; ++k)
    {
        FLOAT result = 0.0;
        FLOAT factor3 = (k + 0.5) * factor1;
        for (int n = 0; n < MDCT_WINDOW_LEN; ++n)
        {
            result += time_signal[n] * cos((static_cast<FLOAT>(n) + factor2) * factor3);
        }
        spectrum[k] = scale * result;
    }
}
```

### D.2 MDCT de référence en *fixed point*

Algorithme de référence basé sur la formule mathématique de la MDCT. Le spectre est calculé en *double* puis converti en *integer* sur 32 bits en représentation Q15.

```
#include <cassert>

#include "ref_mdct.h"

void ref_int_mdct(int16_t *time_signal, int32_t *spectrum)
{
    double scale = sqrt(MDCT_WINDOW_LEN) / 2.0; // MDCT scale (2/sqrt(WIN_LEN)) + Q15 scale
    double factor1 = 2.0 * M_PI / MDCT_WINDOW_LEN;
    double factor2 = 0.5 + MDCT_M2;
    for (int k = 0; k < MDCT_M; ++k)
    {
        double result = 0.0;
        double factor3 = (k + 0.5) * factor1;
        for (int n = 0; n < MDCT_WINDOW_LEN; ++n)
        {
            result += time_signal[n] * cos((n + factor2) * factor3);
        }
        assert(round(result * scale) == static_cast<int32_t>(round(result * scale)));
        spectrum[k] = static_cast<int32_t>(round(result / scale));
    }
}
```



## E Génération d'un signal sinusoïdal

### E.1 Génération d'un signal sinusoïdal en *floating point*

Code de génération d'un signal sinusoïdal en *float* ou en *double*. Le *template* permet de générer ces deux types de signaux avec le même code.

```
#include <cmath>

template<typename FLOAT>
void sin_float(FLOAT *out, int n_samples, double amplitude,
              double frequency, double phase_shift, int sampling_frequency)
{
    FLOAT omega = 2.0 * M_PI * frequency / static_cast<FLOAT>(sampling_frequency);
    for (int i = 0; i < n_samples; ++i)
    {
        out[i] = amplitude * sin(static_cast<FLOAT>(i) * omega + phase_shift);
    }
}
```

### E.2 Génération d'un signal sinusoïdal en *fixed point*

La génération du signal sinusoïdal en *integer* fait appel à la génération du signal sinusoïdal en *double* avant de convertir le résultat en *integer* (représentation Q15).

```
#include <cstring>

#include "sin_wave.h"

void sin_int(int16_t *out, int n_samples, double amplitude,
            double frequency, double phase_shift, int sampling_frequency)
{
    double scale = 1.0;
    if (abs(amplitude) < 1.0) scale *= amplitude;

    double *temp_sin = static_cast<double *>(malloc(n_samples*sizeof(double)));
    memset(temp_sin, 0, n_samples*sizeof(double));

    sin_float<double>(temp_sin, n_samples, scale, frequency, phase_shift, sampling_frequency);

    for (int i = 0; i < n_samples; ++i)
    {
        out[i] = static_cast<int16_t>(temp_sin[i]*pow(2.0, 15.0));
    }
}
```

## F Implémentation de la MDCT basée sur la FFT de *FFTW3*

### F.1 Header

Header de la classe `mdct_fftw3_f32` : MDCT basée sur la FFT de la librairie *FFTW3* en *float* (32 bits). La classe contient les structures de données `fft_in` et `fft_out`, le tableau de facteurs de `twiddle` utilisé pour le pre- et le post-processing et la configuration de la FFT (`fft_plan`). L'implémentation des fonctions de ce header est présentée dans les annexes suivantes.

```
#include <fftw3.h>

#include "mdct_constants.h"

class fftw3_mdct_f32
{
    private:
        fftwf_plan fft_plan;           // FFT configuration
        fftwf_complex *fft_in;         // FFT input buffer
        fftwf_complex *fft_out;        // FFT output buffer
        float twiddle[MDCT_M];

    public:
        fftw3_mdct_f32();
        ~fftw3_mdct_f32();
        void mdct(float *time_signal, float *spectrum);
        void imdct(float *spectrum, float *time_signal);
};
```

### F.2 Constructeur

Initialisation de la MDCT dans le constructeur de la classe `mdct_fftw3_f32` :

- Le tableau de `twiddle` est initialisé en *float* sur 32 bits;
- La FFT de *FFTW3* est initialisée en une dimension (pour l'audio) avec la taille de la FFT réduite à un quart de la taille de la fenêtre d'entrée par le pre-processing et avec l'option `FFTW_MEASURE` plus lente à l'initialisation mais qui permet d'optimiser le temps d'exécution de la FFT;
- Les tableaux contenant les données d'entrée (`fft_in`) et de sortie (`fft_out`) de la FFT sont alloués dynamiquement avec la fonction de *FFTW3* et ils sont passés en paramètre à la configuration de la FFT.

```
#include <cmath>

fftw3_mdct_f32::fftw3_mdct_f32()
{
    float alpha = M_PI / (8.f * MDCT_M);
    float omega = M_PI / MDCT_M;
    float scale = sqrt(sqrt(2.f / MDCT_M));

    for (int i = 0; i < MDCT_M2; ++i)
    {
        float x = omega*i + alpha;
        twiddle[2*i] = scale * cos(x);
        twiddle[2*i+1] = scale * sin(x);
    }
}
```

```

fft_in = (fftwf_complex *)fftwf_malloc(sizeof(fftwf_complex) * MDCT_M2);
fft_out = (fftwf_complex *)fftwf_malloc(sizeof(fftwf_complex) * MDCT_M2);
fft_plan = fftwf_plan_dft_1d(MDCT_M2, fft_in, fft_out, FFTW_FORWARD, FFTW_MEASURE);
}

```

### F.3 Destructeur

Destructeur de la classe `mdct_fftw3_f32` qui permet de libérer la mémoire allouée aux tableaux d'entrée et de sortie de la FFT et à sa configuration avec les fonctions appropriées fournies par la librairie *FFTW3*.

```

fftw3_mdct_f32::~fftw3_mdct_f32()
{
    fftwf_destroy_plan(fft_plan);
    fftwf_free(fft_in);
    fftwf_free(fft_out);
}

```

### F.4 Fonction MDCT

Implémentation de l'algorithme de MDCT basé sur la FFT de la librairie *FFTW3* :

- Initialisation du tableau d'entrée de la FFT : les opérations de *pre-twiddling* permettent de réduire la fenêtre d'entrée de la FFT;
- Appel de la fonction FFT de *FFTW3*;
- Calcul du spectre de fréquences : les opérations de *post-twiddling* permettent de calculer le spectre à partir des données de sortie de la FFT et des facteurs de *twiddle*.

```

void fftw3_mdct_f32::mdct(float *time_signal, float *spectrum)
{
    float *cos_tw = twiddle;
    float *sin_tw = cos_tw + 1;

    /* odd/even folding and pre-twiddle */
    float *xr = (float *)fft_in;
    float *xi = xr + 1;

    for (int i = 0; i < MDCT_M2; i += 2)
    {
        float r0 = time_signal[MDCT_M32-1-i] + time_signal[MDCT_M32+i];
        float i0 = time_signal[MDCT_M2+i] - time_signal[MDCT_M2-1-i];

        float c = cos_tw[i];
        float s = sin_tw[i];

        xr[i] = r0*c + i0*s;
        xi[i] = i0*c - r0*s;
    }

    for(int i = MDCT_M2; i < MDCT_M; i += 2)
    {
        float r0 = time_signal[MDCT_M32-1-i] - time_signal[-MDCT_M2+i];
        float i0 = time_signal[MDCT_M2+i] + time_signal[MDCT_M52-1-i];
    }
}

```

```

        float c = cos_tw[i];
        float s = sin_tw[i];

        xr[i] = r0*c + i0*s;
        xi[i] = i0*c - r0*s;
    }

    /* complex FFT of size MDCT_M2 */
    fftwf_execute(fft_plan);

    /* post-twiddle */
    xr = (float *)fft_out;
    xi = xr + 1;

    for (int i = 0; i < MDCT_M; i += 2)
    {
        float r0 = xr[i];
        float i0 = xi[i];

        float c = cos_tw[i];
        float s = sin_tw[i];

        spectrum[i] = -r0*c - i0*s;
        spectrum[MDCT_M-1-i] = -r0*s + i0*c;
    }
}

```

## G Validation de la MDCT *FFTW3* en *float 32*

### G.1 Code source

Test de la MDCT basée sur la FFT de *FFTW3* en *float 32* avec un signal d'entrée sinusoïdal à 440 Hz :

- Génération et affichage d'un signal sinusoïdal à 440 Hz;
- Calcul et affichage du spectre de fréquences de ce signal;
- Opération inverse de la MDCT et affichage du signal temporel calculé à partir du spectre.

Les différentes données sont écrites dans un fichier CSV afin de pouvoir les exploiter sous forme graphique.

```
#include <iomanip>
#include <iostream>
#include <fstream>

#include <cstring>

#include "mdct_constants.h"
#include "fftw3_mdct_f32.h"
#include "sin_wave.h"

/**
 * @brief MDCT algorithm calling the FFT of the fftw3 library
 * Code based on https://www.dsprelated.com/showcode/196.php
 * Change the MDCT_WINDOW_LEN to test the MDCT with other spectrum sizes
 */
int main(void)
{
    // input time signal (440 Hz)
    float time_in[MDCT_WINDOW_LEN];
    sin_float(time_in, MDCT_WINDOW_LEN, 0.9, 440.0, 0.0, FS);

    // output time signal (generated by the IMDCT)
    float time_out[MDCT_WINDOW_LEN];
    memset(time_out, 0, MDCT_WINDOW_LEN*sizeof(float));

    // frequency spectrum (generated by the MDCT)
    float spectrum[MDCT_M];
    memset(spectrum, 0, MDCT_M*sizeof(float));

    // perform the MDCT and IMDCT
    fftw3_mdct_f32 fftw3_mdct;
    fftw3_mdct.mdct(time_in, spectrum);
    fftw3_mdct.imdct(spectrum, time_out);

    // print the results in CSV file
    std::ofstream csv_file;
    csv_file.open("fftw3_mdct_f32.csv");
    csv_file << "time_(ms), signal_in, signal_out, frequency_(Hz), spectrum" << std::endl;

    for (int i = 0; i < MDCT_M; ++i)
    {
        csv_file << i*1000.0/FS << "," << time_in[i] << "," << time_out[i] << ","
            << (i+1.0)*FS/MDCT_WINDOW_LEN << "," << std::abs(spectrum[i]) << "," << std::endl;
    }
}
```

```

    for (int i = MDCT_M; i < MDCT_WINDOW_LEN; ++i)
    {
        csv_file << i*1000.0/(FS) << "," << time_in[i] << "," << time_out[i] << "," << std::endl;
    }

    csv_file.close();

    return 0;
}

```

## G.2 Compilation

Commandes CMake permettant de compiler le code d'exemple.

```

# MDCT using the fftw3 library f32
add_executable(fftw3_mdct_f32 test/validation/fftw3_example.cpp
    src/fftw3_mdct_f32.cpp src/sin_wave.cpp)
target_link_libraries(fftw3_mdct_f32 fftw3f)

```

## H Implémentation de la MDCT basée sur la FFT de *Ne10* en *floating point*

### H.1 Header

Header de la classe `mdct_ne10_f32_c` : MDCT basée sur la FFT de la librairie *Ne10* en *float* (32 bits). La classe contient les structures de données `fft_in` et `fft_out`, le tableau de facteurs de `twiddle` utilisé pour le pre- et le post-processing et la configuration de la FFT (`cfg`). L'implémentation des fonctions de ce header est présentée dans les annexes suivantes.

```
#pragma once

#include "mdct_constants.h"
#include "NE10.h"

class ne10_mdct_f32_c
{
    private:
        ne10_fft_cfg_float32_t cfg; // Ne10 configuration
        ne10_fft_cpx_float32_t fft_in[MDCT_M2]__attribute__((aligned(16))); // Ne10 FFT input buffer
        ne10_fft_cpx_float32_t fft_out[MDCT_M2]__attribute__((aligned(16))); // Ne10 FFT output buffer
        float twiddle[MDCT_M]__attribute__((aligned(16))); // twiddle factors

    public:
        ne10_mdct_f32_c();
        ~ne10_mdct_f32_c();
        void mdct(float *time_signal, float *spectrum);
};
```

### H.2 Constructeur

Initialisation de la MDCT dans le constructeur de la classe `mdct_ne10_f32_c` :

- Le tableau de `twiddle` est initialisé en *float* sur 32 bits;
- La configuration de la FFT de *Ne10* est initialisée en *complex to complex* en *float 32* avec en paramètre la taille de la fenêtre de la FFT réduite à un quart de la taille de la fenêtre d'entrée.

```
ne10_mdct_f32_c::ne10_mdct_f32_c()
{
    float alpha = M_PI / (8.0 * static_cast<float>(MDCT_M));
    float omega = M_PI / static_cast<float>(MDCT_M);
    float scale = sqrt(sqrt(2.0 / static_cast<float>(MDCT_M)));
    for (int i = 0; i < MDCT_M2; ++i)
    {
        float x = omega * i + alpha;
        twiddle[2*i] = static_cast<float>(scale * cos(x));
        twiddle[2*i+1] = static_cast<float>(scale * sin(x));
    }

    cfg = ne10_fft_alloc_c2c_float32_c(MDCT_M2);
}
```

### H.3 Destructeur

Destructeur de la classe `mdct_ne10_f32_c` qui permet de libérer la mémoire allouée à la configuration de la FFT avec la fonction appropriée de la librairie *Ne10*.

```
ne10_mdct_f32_c::~ne10_mdct_f32_c()
{
    ne10_fft_destroy_c2c_float32(cfg);
}
```

### H.4 Fonction MDCT

Implémentation de l'algorithme de MDCT basé sur la FFT de la librairie *Ne10* en *float 32* et en *plain C* :

- Initialisation du tableau d'entrée de la FFT : les opérations de *pre-twiddling* permettent de réduire la fenêtre d'entrée de la FFT;
- Appel de la fonction FFT de *Ne10*;
- Calcul du spectre de fréquences : les opérations de *post-twiddling* permettent de calculer le spectre à partir des données de sortie de la FFT et des facteurs de *twiddle*.

```
void ne10_mdct_f32_c::mdct(float *time_signal, float *spectrum)
{
    // pre-twiddling
    float *cos_tw = twiddle;
    float *sin_tw = cos_tw + 1;
    for (int i = 0; i < MDCT_M2; i += 2)
    {
        float r0 = time_signal[MDCT_M32-1-i] + time_signal[MDCT_M32+i];
        float i0 = time_signal[MDCT_M2+i] - time_signal[MDCT_M2-1-i];

        float c = cos_tw[i];
        float s = sin_tw[i];

        fft_in[i/2].r = r0*c + i0*s;
        fft_in[i/2].i = i0*c - r0*s;
    }

    for (int i = MDCT_M2; i < (MDCT_M); i += 2)
    {
        float r0 = time_signal[MDCT_M32-1-i] - time_signal[-MDCT_M2+i];
        float i0 = time_signal[MDCT_M2+i] + time_signal[MDCT_M52-1-i];

        float c = cos_tw[i];
        float s = sin_tw[i];

        fft_in[i/2].r = r0*c + i0*s;
        fft_in[i/2].i = i0*c - r0*s;
    }

    // FFT
    ne10_fft_c2c_1d_float32_c(fft_out, fft_in, cfg, 0);
}
```



```

// post-twiddling
for (int i = 0; i < (MDCT_M); i += 2)
{
    float r0 = fft_out[i/2].r;
    float i0 = fft_out[i/2].i;

    float c = cos_tw[i];
    float s = sin_tw[i];

    spectrum[i] = -r0*c - i0*s;
    spectrum[(MDCT_M)-1-i] = -r0*s + i0*c;
}

```

# I Mesure des performances des FFT de *Ne10*

## I.1 Code source

Code permettant de tester la vitesse d'exécution moyenne de différentes FFT proposées par la librairie *Ne10*. La moyenne est calculée sur 10 000 000 d'exécutions. Les données d'entrée de la FFT sont générées aléatoirement et sont différentes pour chaque exécution. Les variables de préprocesseur définies à la compilation permettent à partir du même code de mesurer le temps d'exécution moyen avec écart type :

- de la FFT *complex to complex* en *float 32* en *plain C* ou avec les optimisations NEON;
- de la FFT *complex to complex* en *integer 32* en *plain C* ou avec les optimisations NEON;
- de la FFT *complex to complex* en *integer 16* en *plain C* ou avec les optimisations NEON.

```
#include <iomanip>
#include <iostream>
#include <limits>

#include <cmath>
#include <cstring>

#include "mdct_constants.h"
#include "Timers.h"
#include "NE10.h"

#ifdef F32          // 32 bits floating point arithmetic

#define INPUT_RANGE      1.8
#define INPUT_DATA      ne10_fft_cpx_float32_t
#define OUTPUT_DATA      ne10_fft_cpx_float32_t
#define FFT_CONFIG      ne10_fft_cfg_float32_t
#define DESTROY_CONFIG  ne10_fft_destroy_c2c_float32

#ifdef NEON
#define ALLOC_CONFIG      ne10_fft_alloc_c2c_float32_neon
#define PERFORM_FFT      ne10_fft_c2c_1d_float32_neon
#else
#define ALLOC_CONFIG      ne10_fft_alloc_c2c_float32_c
#define PERFORM_FFT      ne10_fft_c2c_1d_float32_c
#endif

#elif I32          // 32 bits fixed point arithmetic

#define INPUT_RANGE      std::numeric_limits<int16_t>::max()*2
#define INPUT_DATA      ne10_fft_cpx_int32_t
#define OUTPUT_DATA      ne10_fft_cpx_int32_t
#define FFT_CONFIG      ne10_fft_cfg_int32_t
#define DESTROY_CONFIG  ne10_fft_destroy_c2c_int32

#ifdef NEON
#define ALLOC_CONFIG      ne10_fft_alloc_c2c_int32_neon
#define PERFORM_FFT      ne10_fft_c2c_1d_int32_neon
#else
#define ALLOC_CONFIG      ne10_fft_alloc_c2c_int32_c
#define PERFORM_FFT      ne10_fft_c2c_1d_int32_c
#endif

#endif
```

```

#else                                // 16 bits fixed point arithmetic

#define INPUT_RANGE                    std::numeric_limits<int16_t>::max()*2
#define INPUT_DATA                     ne10_fft_cpx_int16_t
#define OUTPUT_DATA                    ne10_fft_cpx_int16_t
#define FFT_CONFIG                     ne10_fft_cfg_int16_t
#define ALLOC_CONFIG                   ne10_fft_alloc_c2c_int16
#define DESTROY_CONFIG                 ne10_fft_destroy_c2c_int16

#ifdef NEON
#define PERFORM_FFT                    ne10_fft_c2c_1d_int16_neon
#else
#define PERFORM_FFT                    ne10_fft_c2c_1d_int16_c
#endif

#endif

#define RUNS                          10000000
#define FFT_SCALE_FLAG                0

int main()
{
    // print which FFT will be tested
#ifdef F32
#ifdef NEON
        std::cout << "FFT_Ne10_f32_NEON" << std::endl;
#else
        std::cout << "FFT_Ne10_f32_plain_C" << std::endl;
#endif

#elif I32
#ifdef NEON
        std::cout << "FFT_Ne10_i32_NEON" << std::endl;
#else
        std::cout << "FFT_Ne10_i32_plain_C" << std::endl;
#endif
#else
#ifdef NEON
        std::cout << "FFT_Ne10_i16_NEON" << std::endl;
#else
        std::cout << "FFT_Ne10_i16_plain_C" << std::endl;
#endif
#endif

    // seed the random
    srand(static_cast<unsigned>(time(0)));

    // initialize the configuration
    FFT_CONFIG cfg = ALLOC_CONFIG(MDCT_M2);

    // start the loop executing the FFTs
    int64_t *runtimes = static_cast<int64_t *>(malloc(RUNS * sizeof(int64_t)));
    for (int i = 0; i < RUNS; ++i)
    {
        // initialize an empty spectrum
        OUTPUT_DATA spectrum[MDCT_M2]__attribute__((aligned(16)));
        memset(&spectrum, 0, (MDCT_M2)*sizeof(OUTPUT_DATA));
    }
}

```

```

    // generate random input data
    INPUT_DATA time_signal[MDCT_M2]__attribute__((aligned(16)));
    for (int i = 0; i < MDCT_M2; ++i)
    {
        time_signal[i].r = INPUT_RANGE * rand() / RAND_MAX - INPUT_RANGE / 2;
        time_signal[i].i = INPUT_RANGE * rand() / RAND_MAX - INPUT_RANGE / 2;
    }

    // perform the FFT and measure the run time
    EvsHwLGPL::CTimers timer;
    timer.Start();
#ifdef F32
    PERFORM_FFT(time_signal, spectrum, cfg, 0);
#else
    PERFORM_FFT(time_signal, spectrum, cfg, 0, FFT_SCALE_FLAG);
#endif
    timer.Stop();
    runtimes[i] = timer.GetTimeElapsed();
}

// clean
DESTROY_CONFIG(cfg);

// compute the average
double avg = 0.0;
for (int i = 0; i < RUNS; ++i) avg += static_cast<double>(runtimes[i]);
avg = avg / static_cast<double>(RUNS);
std::cout << "average_run_time:_" << avg << "_ns" << std::endl;

// compute the standard deviation
double dev = 0.0;
for (int i = 0; i < RUNS; ++i) dev += static_cast<double>(runtimes[i]) - avg;
dev = dev * dev / static_cast<double>(RUNS);
dev = sqrt(dev);
std::cout << "standard_deviation:_" << dev << "_ns" << std::endl;

return 0;
}

```

## I.2 Compilation

Commandes CMake utilisées pour générer les exécutables permettant de mesurer le temps d'exécution de différentes FFT proposées par la librairie *Ne10*. En fonction des variables de préprocesseur définies, les exécutables suivants sont générés :

- `run_fft_f32_c` est généré si la variable `F32` est définie pour mesurer le temps d'exécution de la FFT *float 32 plain C*;
- `run_fft_i32_c` est généré si la variable `I32` est définie pour mesurer le temps d'exécution de la FFT *integer 32 plain C*;
- `run_fft_i16_c` est généré par défaut pour mesurer le temps d'exécution de la FFT *integer 16 plain C*;
- `run_fft_f32_neon` est généré si les variables `F32` et `NEON` sont définies pour mesurer le temps d'exécution de la FFT *float 32* avec optimisations NEON;
- `run_fft_i32_neon` est généré si les variables `I32` et `NEON` sont définies pour mesurer le temps d'exécution de la FFT *integer 32* avec optimisations NEON;

- `run_fft_i16_neon` est généré si la variable `NEON` est définie pour mesurer le temps d'exécution de la FFT *integer 16* avec optimisations NEON.

```
# Ne10 FFT performance (float32 plain C)
add_executable(run_ne10_fft_f32_c test/performance/run_ne10_fft.cpp src/Timers.cpp)
target_compile_definitions(run_ne10_fft_f32_c PUBLIC -DF32)
target_link_libraries(run_ne10_fft_f32_c NE10)

# Ne10 FFT performance (int32 plain C)
add_executable(run_ne10_fft_i32_c test/performance/run_ne10_fft.cpp src/Timers.cpp)
target_compile_definitions(run_ne10_fft_i32_c PUBLIC -DI32)
target_link_libraries(run_ne10_fft_i32_c NE10)

# Ne10 FFT performance (int16 plain C)
add_executable(run_ne10_fft_i16_c test/performance/run_ne10_fft.cpp src/Timers.cpp)
target_compile_definitions(run_ne10_fft_i16_c PUBLIC -DI16)
target_link_libraries(run_ne10_fft_i16_c NE10)

# Ne10 FFT performance (float32 with neon optimizations)
add_executable(run_ne10_fft_f32_neon test/performance/run_ne10_fft.cpp src/Timers.cpp)
target_compile_definitions(run_ne10_fft_f32_neon PUBLIC -DF32 -DNEON)
target_link_libraries(run_ne10_fft_f32_neon NE10)

# Ne10 FFT performance (int32 with neon optimizations)
add_executable(run_ne10_fft_i32_neon test/performance/run_ne10_fft.cpp src/Timers.cpp)
target_compile_definitions(run_ne10_fft_i32_neon PUBLIC -DI32 -DNEON)
target_link_libraries(run_ne10_fft_i32_neon NE10)

# Ne10 FFT performance (int16 with neon optimizations)
add_executable(run_ne10_fft_i16_neon test/performance/run_ne10_fft.cpp src/Timers.cpp)
target_compile_definitions(run_ne10_fft_i16_neon PUBLIC -DI16 -DNEON)
target_link_libraries(run_ne10_fft_i16_neon NE10)
```

## J Mesure des performances des FFT de *FFTW3*

### J.1 Code source

Code permettant de tester la vitesse d'exécution moyenne de la FFT en *float 32* de la librairie *FFTW3*. La moyenne est calculée sur 10 000 000 d'exécutions. Les données d'entrée de la FFT sont générées aléatoirement et sont différentes pour chaque exécution.

```
#include <iomanip>
#include <iostream>
#include <cmath>

#include <fftw3.h>

#include "mdct_constants.h"
#include "Timers.h"

#define RUNS 10000000

int main()
{
    // print which FFT will be tested
    std::cout << "FFT_FFTW3_f32_plain_C" << std::endl;

    // seed the random
    srand( static_cast<unsigned>(time(0)));

    // start the loop executing the FFTs
    int64_t *runtimes = static_cast<int64_t *>(malloc(RUNS * sizeof(int64_t)));
    for (int i = 0; i < RUNS; ++i)
    {
        // initialize an empty spectrum
        fftwf_complex *fft_out = (fftwf_complex *)fftwf_malloc(sizeof(fftwf_complex) * MDCT_M2);

        // generate random input data
        fftwf_complex *fft_in = (fftwf_complex *)fftwf_malloc(sizeof(fftwf_complex) * MDCT_M2);
        float *x = (float *)fft_in;
        for (int i = 0; i < MDCT_M2; ++i)
        {
            x[i] = 1.8f * rand() / RAND_MAX - 1.8f / 2.0f;
        }

        // initialize the configuration
        fftwf_plan fft_plan = fftwf_plan_dft_1d(MDCT_M2, fft_in, fft_out,
            FFTW_FORWARD, FFTW_MEASURE);

        // perform the FFT and measure the run time
        EvsHwLGPL::CTimers timer;
        timer.Start();
        fftwf_execute(fft_plan);
        timer.Stop();
        runtimes[i] = timer.GetTimeElapsed();

        // clean
        fftwf_destroy_plan(fft_plan);
        fftwf_free(fft_in);
        fftwf_free(fft_out);
    }
}
```

```

    // compute the average
    double avg = 0.0;
    for (int i = 0; i < RUNS; ++i) avg += static_cast<double>(runtimes[i]);
    avg = avg / static_cast<double>(RUNS);
    std::cout << "average_run_time:_" << avg << "_ns" << std::endl;

    // compute the standard deviation
    double dev = 0.0;
    for (int i = 0; i < RUNS; ++i) dev += static_cast<double>(runtimes[i]) - avg;
    dev = dev * dev / static_cast<double>(RUNS);
    dev = sqrt(dev);
    std::cout << "standard_deviation:_" << dev << "_ns" << std::endl;

    return 0;
}

```

## J.2 Compilation

Commandes CMake utilisées pour générer l'exécutable permettant de mesurer le temps d'exécution de la FFT *float32* de la librairie *FFTW3*.

```

# FFTW3 FFT performance (float32)
add_executable(run_fftw3_fft_f32 test/performance/run_fftw3_fft_f32.cpp src/Timers.cpp)
target_link_libraries(run_fftw3_fft_f32 fftw3f)

```

## K Implémentation de la MDCT basée sur la FFT de *Ne10* en *fixed point*

### K.1 Header

Header de la classe `mdct_ne10_i32_c` : MDCT basée sur la FFT de la librairie *Ne10* en *integer* (32 bits). La classe contient les structures de données `fft_in` en représentation Q1.15 et `fft_out` en Q9.15, le tableau de facteurs de `twiddle` utilisé pour le pre- et le post-processing et la configuration de la FFT (`cfg`). L'implémentation des fonctions de ce header est présentée dans les annexes suivantes.

```
#pragma once

#include "mdct_constants.h"
#include "NE10.h"

class ne10_mdct_i32_c
{
private:
    ne10_fft_cfg_int32_t cfg; // Ne10 configuration
    ne10_fft_cpx_int32_t fft_in[MDCT_M2] __attribute__((aligned(16))); // Ne10 FFT input buffer
                                                                    // Q1.15
    ne10_fft_cpx_int32_t fft_out[MDCT_M2] __attribute__((aligned(16))); // Ne10 FFT output buffer
                                                                    // Q9.15
    int16_t twiddle[MDCT_M] __attribute__((aligned(16))); // MDCT twiddle factors

public:
    ne10_mdct_i32_c();
    ~ne10_mdct_i32_c();
    void mdct(int16_t *time_signal, int32_t *spectrum);
};
```

### K.2 Constructeur

Initialisation de la MDCT dans le constructeur de la classe `mdct_ne10_i32_c` :

- Le tableau de `twiddle` est initialisé en *double* puis converti en *integer* (représentation Q15);
- La configuration de la FFT de *Ne10* est initialisée en *complex to complex* en *integer 32* avec en paramètre la taille de la fenêtre de la FFT réduite à un quart de la taille de la fenêtre d'entrée.

```
ne10_mdct_i32_c::ne10_mdct_i32_c()
{
    // initialize the twiddling factors
    double alpha = M_PI / (8.0*MDCT_M);
    double omega = M_PI / MDCT_M;
    double scale = sqrt(sqrt(2.0 / static_cast<double>MDCT_M));
    for (int i = 0; i < MDCT_M2; ++i)
    {
        double x = omega * i + alpha;
        twiddle[2*i] = static_cast<int16_t>(cos(x)*scale*pow(2.0, 15.0));
        twiddle[2*i+1] = static_cast<int16_t>(sin(x)*scale*pow(2.0, 15.0));
    }

    // initialize the Ne10 FFT configuration
    cfg = ne10_fft_alloc_c2c_int32_c(MDCT_M2);
}
```



### K.3 Destructeur

Destructeur de la classe `mdct_ne10_i32_c` qui permet de libérer la mémoire allouée à la configuration de la FFT avec la fonction appropriée de la librairie *Ne10*.

```
ne10_mdct_i32_c::~ne10_mdct_i32_c()
{
    ne10_fft_destroy_c2c_int32(cfg);
}
```

### K.4 Fonction MDCT

Implémentation de l'algorithme de MDCT basé sur la FFT de la librairie *Ne10* en *integer 32* et en *plain C* :

- Initialisation du tableau d'entrée de la FFT : les opérations de *pre-twiddling* permettant de réduire la fenêtre d'entrée de la FFT sont faites en algorithmique *fixed point*;
- Appel de la fonction FFT de *Ne10*;
- Calcul du spectre de fréquences : les opérations de *post-twiddling* permettant de calculer le spectre à partir des données de sortie de la FFT et des facteurs de *twiddle* sont faites en algorithmique *fixed point*.

```
void ne10_mdct_i32_c::mdct(int16_t *time_signal, int32_t *spectrum)
{
    // pre-twiddling
    // fft_in = (Q1.15 + Q1.15) * Q1.15/4 + (Q1.15 + Q1.15) * Q1.15/4
    //          1/4 Q1.30 + 1/4 Q1.30 + 1/4 Q1.30 + 1/4 Q1.30 -> Q1.30
    //          >>7 -> Q1.23 + 8 bits reserved for the FFT
    int16_t *cos_tw = twiddle;
    int16_t *sin_tw = cos_tw + 1;
    for (int i = 0; i < MDCT_M2; i += 2)
    {
        int32_t r0 = static_cast<int32_t>(time_signal[MDCT_M32-1-i]) + time_signal[MDCT_M32+i];
        int32_t i0 = static_cast<int32_t>(time_signal[MDCT_M2+i]) - time_signal[MDCT_M2-1-i];

        int16_t c = cos_tw[i];
        int16_t s = sin_tw[i];

        fft_in[i/2].r = (((r0*c)+64)>>7) + (((i0*s)+64)>>7);
        fft_in[i/2].i = (((i0*c)+64)>>7) - (((r0*s)+64)>>7);
    }

    for (int i = MDCT_M2; i < MDCT_M; i += 2)
    {
        int32_t r0 = static_cast<int32_t>(time_signal[MDCT_M32-1-i]) - time_signal[-MDCT_M2+i];
        int32_t i0 = static_cast<int32_t>(time_signal[MDCT_M2+i]) + time_signal[MDCT_M52-1-i];

        int16_t c = cos_tw[i];
        int16_t s = sin_tw[i];

        fft_in[i/2].r = (((r0*c)+64)>>7) + (((i0*s)+64)>>7);
        fft_in[i/2].i = (((i0*c)+64)>>7) - (((r0*s)+64)>>7);
    }

    // perform the FFT
    ne10_fft_c2c_1d_int32_c(fft_out, fft_in, cfg, 0, 0);
}
```

```

// post-twiddling
// spectrum = Q9.23>>8 * Q1.15/4 + Q9.23>>8 * Q1.15/4
//           = Q9.15 * Q1.15/4 + Q9.15 * Q1.15/4
//           = Q10.30/4 + Q10.30/4
//           = Q11.30/4
//           = Q9.30 >> 15 = Q9.15
for (int i = 0; i < MDCT_M; i += 2)
{
    int32_t r0 = fft_out[i/2].r;
    int32_t i0 = fft_out[i/2].i;

    int16_t c = cos_tw[i];
    int16_t s = sin_tw[i];

    spectrum[i] = (((-(static_cast<int64_t>(r0)+128)>>8)*c+16384)>>15)
        - (((static_cast<int64_t>(i0)+128)>>8)*s+16384)>>15);
    spectrum[MDCT_M-1-i] = (((-(static_cast<int64_t>(r0)+128)>>8)*s+16384)>>15)
        + (((static_cast<int64_t>(i0)+128)>>8)*c+16384)>>15);
}
}

```

## L Implémentation de la MDCT basée sur la FFT de *Ne10* en *fixed point* avec optimisations NEON

Le code de cette annexe utilise les instructions intrinsèques NEON et doit être compilé avec l'option `-mfpu=neon`.

### L.1 Header

Header de la classe `mdct_ne10_i32_neon` : MDCT basée sur la FFT de la librairie *Ne10* en *integer* (32 bits) optimisée par l'utilisation des opérations ARM NEON. La classe contient les structures de données `fft_in` en représentation Q1.15 et `fft_out` en Q9.15, les tableaux de facteurs de twiddle utilisés pour le *pre-* et le *post-processing* et la configuration de la FFT (`cfg`). Contrairement aux autres implémentations, les facteurs de twiddle ne sont pas rassemblés dans un seul tableau. Les tableaux de facteurs de *pre-twiddling* et de *post-twiddling* sont séparés car ils sont utilisés en 16 bits pour le *pre-twiddling* et en 32 bits pour le *post-twiddling*. Chacun de ces tableaux est séparé en deux afin que chaque moitié puisse être initialisée dans un ordre qui facilite l'utilisation des opérations SIMD. L'implémentation des fonctions de ce header est présentée dans les annexes suivantes.

```
#pragma once

#include <arm_neon.h>
#include "mdct_constants.h"
#include "NE10.h"

class ne10_mdct_i32_neon
{
private:
    ne10_fft_cfg_int32_t cfg; // Ne10 configuration
    ne10_fft_cpx_int32_t fft_in[MDCT_M2]__attribute__((aligned(16))); // Ne10 FFT input buffer
    ne10_fft_cpx_int32_t fft_out[MDCT_M2]__attribute__((aligned(16))); // Ne10 FFT output buffer
    int16_t pretwiddle_start[MDCT_M2]__attribute__((aligned(16))); // pre-twiddle factors
    int16_t pretwiddle_end[MDCT_M2]__attribute__((aligned(16))); // second half is stored
    // in reversed order
    int32_t posttwiddle_start[MDCT_M2]__attribute__((aligned(16))); // post-twiddle factors
    int32_t posttwiddle_end[MDCT_M2]__attribute__((aligned(16))); // second half is stored
    // in reversed order

public:
    ne10_mdct_i32_neon();
    ~ne10_mdct_i32_neon();
    void mdct(int16_t *time_signal, int32_t *spectrum);
};
```

### L.2 Constructeur

Initialisation de la MDCT dans le constructeur de la classe `mdct_ne10_i32_neon` :

- Les tableaux de twiddle sont initialisés en *double* puis convertis en *integer* (représentation Q15 en 16 bits pour le *pre-twiddling* et en 32 bits pour le *post-twiddling*) : la première moitié des tableaux est rangée à l'endroit dans les tableaux `pretwiddle_start` et `posttwiddle_start` tandis que la seconde est rangée à l'envers dans les tableaux `pretwiddle_end` et `posttwiddle_end`;
- La configuration de la FFT de *Ne10* est initialisée en *complex to complex* en *integer 32* avec en paramètre la taille de la fenêtre de la FFT réduite à un quart de la taille de la fenêtre d'entrée avec la fonction adaptée pour l'exécution d'une FFT optimisée avec les instructions ARM NEON.

```

ne10_mdct_i32_neon::ne10_mdct_i32_neon()
{
    double alpha = M_PI / (8.0*MDCT_M);
    double omega = M_PI / MDCT_M;
    double scale = sqrt(sqrt(2.0 / static_cast<double>MDCT_M));
    for (int i = 0; i < MDCT_M4; ++i)
    {
        double start = omega * (i) + alpha;
        double end = omega * (i+MDCT_M4) + alpha;
        double cos_start = cos(start);
        double sin_start = sin(start);
        double cos_end = cos(end);
        double sin_end = sin(end);
        pretwiddle_start[2*i] = static_cast<int16_t>(cos_start*scale*pow(2.0, 15.0));
        pretwiddle_start[2*i+1] = static_cast<int16_t>(sin_start*scale*pow(2.0, 15.0));
        pretwiddle_end[MDCT_M2-2*i-2] = static_cast<int16_t>(cos_end*scale*pow(2.0, 15.0));
        pretwiddle_end[MDCT_M2-2*i-1] = static_cast<int16_t>(sin_end*scale*pow(2.0, 15.0));
        posttwiddle_start[2*i] = static_cast<int32_t>(cos_start*scale*pow(2.0, 31.0));
        posttwiddle_start[2*i+1] = static_cast<int32_t>(sin_start*scale*pow(2.0, 31.0));
        posttwiddle_end[MDCT_M2-2*i-2] = static_cast<int32_t>(cos_end*scale*pow(2.0, 31.0));
        posttwiddle_end[MDCT_M2-2*i-1] = static_cast<int32_t>(sin_end*scale*pow(2.0, 31.0));
    }

    cfg = ne10_fft_alloc_c2c_int32_neon(MDCT_M2);
}

```

### L.3 Destructeur

Destructeur de la classe `mdct_ne10_i32_c` qui permet de libérer la mémoire allouée à la configuration de la FFT avec la fonction appropriée de la librairie *Ne10*.

```

ne10_mdct_i32_neon::~ne10_mdct_i32_neon()
{
    ne10_fft_destroy_c2c_int32(cfg);
}

```

### L.4 Fonction MDCT

Implémentation de l'algorithme de MDCT basé sur la FFT de la librairie *Ne10* en *integer 32* avec utilisation des instructions ARM NEON :

- Initialisation du tableau d'entrée de la FFT : les opérations de *pre-twiddling* permettant de réduire la fenêtre d'entrée de la FFT sont faites en algorithmique *fixed point*. L'utilisation des fonctions SIMD permet d'effectuer quatre opérations en parallèle afin de réduire le temps d'exécution. Les facteurs de *pre-twiddling* codés sur 16 bits transforment le signal d'entrée codé sur 16 bits en un tableau d'entrée de la FFT codé sur 32 bits;
- Appel de la fonction FFT de *Ne10* optimisée par l'utilisation des instructions ARM NEON;
- Calcul du spectre de fréquences : les opérations de *post-twiddling* permettant de calculer le spectre à partir des données de sortie de la FFT et des facteurs de *twiddle* sont faites en algorithmique *fixed point*. Les fonctions SIMD permettent d'effectuer deux ou quatre opérations en parallèle afin de réduire le temps d'exécution.

```

void ne10_mdct_i32_neon::mdct(int16_t *time_signal, int32_t *spectrum)
{
    // see the twiddling_loops.nlsx file for more details

    // for i from 0 to 254, step 2

    // r[ 0 -> 127, pas 1] = time_signal[ 767 -> 513, pas 2] * c[ 0 -> 127, pas 1]
    //                        + time_signal[ 768 -> 1022, pas 2] * c[ 0 -> 127, pas 1]
    //                        + time_signal[ 256 -> 510, pas 2] * s[ 0 -> 127, pas 1]
    //                        + -time_signal[ 255 -> 1, pas 2] * s[ 0 -> 127, pas 1]

    // i[ 0 -> 127, pas 1] = time_signal[ 256 -> 510, pas 2] * c[ 0 -> 127, pas 1]
    //                        + -time_signal[ 255 -> 1, pas 2] * c[ 0 -> 127, pas 1]
    //                        + time_signal[ 767 -> 513, pas 2] * s[ 0 -> 127, pas 1]
    //                        + -time_signal[ 768 -> 1022, pas 2] * s[ 0 -> 127, pas 1]

    // fft_in[i/2].r = time_signal[M32-1-i] * cos_tw[i] + time_signal[M32+i] * cos_tw[i]
    //                + time_signal[M2+i] * sin_tw[i] + (-time_signal[M2-1-i]) * sin_tw[i]

    // fft_in[i/2].i = time_signal[M2+i] * cos_tw[i] + (-time_signal[M2-1-i]) * cos_tw[i]
    //                + (-time_signal[M32-1-i]) * sin_tw[i] + (-time_signal[M32+i]) * sin_tw[i]

    // for i from 510 to 256, step 2

    // r[255 -> 128, pas 1] = time_signal[ 257 -> 511, pas 2] * c[255 -> 128, pas 1]
    //                        + -time_signal[ 254 -> 0, pas 2] * c[255 -> 128, pas 1]
    //                        + time_signal[ 766 -> 512, pas 2] * s[255 -> 128, pas 1]
    //                        + time_signal[ 769 -> 1023, pas 2] * s[255 -> 128, pas 1]

    // i[255 -> 128, pas 1] = time_signal[ 766 -> 512, pas 2] * c[255 -> 128, pas 1]
    //                        + time_signal[ 769 -> 1023, pas 2] * c[255 -> 128, pas 1]
    //                        + -time_signal[ 257 -> 511, pas 2] * s[255 -> 128, pas 1]
    //                        + time_signal[ 254 -> 0, pas 2] * s[255 -> 128, pas 1]

    // fft_in[i/2].r = time_signal[M32-1-i] * cos_tw[i] + (-time_signal[-M2+i]) * cos_tw[i]
    //                + time_signal[M2+i] * sin_tw[i] + time_signal[M52-1-i] * sin_tw[i]

    // fft_in[i/2].i = time_signal[M2+i] * cos_tw[i] + time_signal[M52-1-i] * cos_tw[i]
    //                + (-time_signal[M32-1-i]) * sin_tw[i] + time_signal[-M2+i] * sin_tw[i]

    for (int i = 0; i < MDCT_M2; i += 8)
    {
        // tx.val[0] -> odd indexes
        // tx.val[1] -> even indexes
        int16x4x2_t t1 = vld2_s16(time_signal+MDCT_M2+i);
        int16x4x2_t t2 = vld2_s16(time_signal+MDCT_M2-8-i);
        int16x4x2_t t3 = vld2_s16(time_signal+MDCT_M32+i);
        int16x4x2_t t4 = vld2_s16(time_signal+MDCT_M32-8-i);

        t2.val[0] = (int16x4_t)vrev64_s32((int32x2_t)vrev32_s16(t2.val[0]));
        // reverse the t2 even values: 0 2 4 6 -> 6 4 2 0
        t2.val[1] = (int16x4_t)vrev64_s32((int32x2_t)vrev32_s16(t2.val[1]));
        // reverse the t2 odd values: 1 3 5 7 -> 7 5 3 1
        t4.val[0] = (int16x4_t)vrev64_s32((int32x2_t)vrev32_s16(t4.val[0]));
        // reverse the t4 even values: 0 2 4 6 -> 6 4 2 0
        t4.val[1] = (int16x4_t)vrev64_s32((int32x2_t)vrev32_s16(t4.val[1]));
        // reverse the t4 odd values: 1 3 5 7 -> 7 5 3 1
    }
}

```

```

// x_tw.val[0] -> cos twiddle
// x_tw.val[1] -> sin twiddle
int16x4x2_t start_tw = vld2_s16(pretwiddle_start+i);
int16x4x2_t end_tw = vld2_s16(pretwiddle_end+i);

// start.val[0] -> real part
// start.val[1] -> imaginary part
int32x4x2_t start;
start.val[0] = vshrq_n_s32(
    vaddq_s32(
        vaddq_s32(
            vmull_s16(t4.val[1], start_tw.val[0]),
            vmull_s16(t3.val[0], start_tw.val[0])),
        vaddq_s32(
            vmull_s16(t1.val[0], start_tw.val[1]),
            vmull_s16(vneg_s16(t2.val[1]), start_tw.val[1]))),
    7);
start.val[1] = vshrq_n_s32(
    vaddq_s32(
        vaddq_s32(
            vmull_s16(t1.val[0], start_tw.val[0]),
            vmull_s16(vneg_s16(t2.val[1]), start_tw.val[0])),
        vaddq_s32(
            vmull_s16(vneg_s16(t4.val[1]), start_tw.val[1]),
            vmull_s16(vneg_s16(t3.val[0]), start_tw.val[1]))),
    7);

// end.val[0] -> real part
// end.val[1] -> imaginary part
int32x4x2_t end;
end.val[0] = vshrq_n_s32(
    vaddq_s32(
        vaddq_s32(
            vmull_s16(t1.val[1], end_tw.val[0]),
            vmull_s16(vneg_s16(t2.val[0]), end_tw.val[0])),
        vaddq_s32(
            vmull_s16(t4.val[0], end_tw.val[1]),
            vmull_s16(t3.val[1], end_tw.val[1]))),
    7);
end.val[1] = vshrq_n_s32(
    vaddq_s32(
        vaddq_s32(
            vmull_s16(t4.val[0], end_tw.val[0]),
            vmull_s16(t3.val[1], end_tw.val[0])),
        vaddq_s32(
            vmull_s16(vneg_s16(t1.val[1]), end_tw.val[1]),
            vmull_s16(t2.val[0], end_tw.val[1]))),
    7);

// reverse the end part
end.val[0] = (int32x4_t)vrev64q_s32(end.val[0]);
end.val[0] = vcombine_s32(vget_high_s32(end.val[0]), vget_low_s32(end.val[0]));
end.val[1] = (int32x4_t)vrev64q_s32(end.val[1]);
end.val[1] = vcombine_s32(vget_high_s32(end.val[1]), vget_low_s32(end.val[1]));

// store the result
vst2q_s32((int32_t *)fft_in+i, start);
vst2q_s32((int32_t *) (fft_in+MDCT_M2-4-i/2), end);

```

```

}

// perform the FFT
ne10_fft_c2c_1d_int32_neon(fft_out, fft_in, cfg, 0, 0);

// post-twiddling
for (int i = 0; i < MDCT_M2; i += 8)
{
    // load the fft output and reverse the end part
    // fft_out_x.val[0] -> real part
    // fft_out_x.val[1] -> imaginary part
    int32x4x2_t fft_out_start = vld2q_s32((int32_t *)fft_out+i);
    int32x4x2_t fft_out_end = vld2q_s32((int32_t *)fft_out+MDCT_M-8-i);
    fft_out_end.val[0] = (int32x4_t)vrev64q_s32(fft_out_end.val[0]);
    fft_out_end.val[0] = vcombine_s32(vget_high_s32(fft_out_end.val[0]),
                                     vget_low_s32(fft_out_end.val[0]));
    fft_out_end.val[1] = (int32x4_t)vrev64q_s32(fft_out_end.val[1]);
    fft_out_end.val[1] = vcombine_s32(vget_high_s32(fft_out_end.val[1]),
                                     vget_low_s32(fft_out_end.val[1]));

    // load the twiddle factors
    // x_tw.val[0] -> cos twiddle
    // x_tw.val[1] -> sin twiddle
    int32x4x2_t start_tw = vld2q_s32(posttwiddle_start+i);
    int32x4x2_t end_tw = vld2q_s32(posttwiddle_end+i);

    int32x4x2_t spectrum_start;
    spectrum_start.val[0] = vshrq_n_s32(vaddq_s32(
        vqrdmulhq_s32(vnegq_s32(fft_out_start.val[0]), start_tw.val[0]),
        vqrdmulhq_s32(vnegq_s32(fft_out_start.val[1]), start_tw.val[1])), 8);
    spectrum_start.val[1] = vshrq_n_s32(vaddq_s32(
        vqrdmulhq_s32(vnegq_s32(fft_out_end.val[0]), end_tw.val[1]),
        vqrdmulhq_s32(fft_out_end.val[1], end_tw.val[0])), 8);

    int32x4x2_t spectrum_end;
    spectrum_end.val[0] = vshrq_n_s32(vaddq_s32(
        vqrdmulhq_s32(vnegq_s32(fft_out_end.val[0]), end_tw.val[0]),
        vqrdmulhq_s32(vnegq_s32(fft_out_end.val[1]), end_tw.val[1])), 8);
    spectrum_end.val[1] = vshrq_n_s32(vaddq_s32(
        vqrdmulhq_s32(vnegq_s32(fft_out_start.val[0]), start_tw.val[1]),
        vqrdmulhq_s32(fft_out_start.val[1], start_tw.val[0])), 8);

    spectrum_end.val[0] = (int32x4_t)vrev64q_s32(spectrum_end.val[0]);
    spectrum_end.val[0] = vcombine_s32(vget_high_s32(spectrum_end.val[0]),
                                     vget_low_s32(spectrum_end.val[0]));
    spectrum_end.val[1] = (int32x4_t)vrev64q_s32(spectrum_end.val[1]);
    spectrum_end.val[1] = vcombine_s32(vget_high_s32(spectrum_end.val[1]),
                                     vget_low_s32(spectrum_end.val[1]));

    // store the result
    vst2q_s32((int32_t *)spectrum+i, spectrum_start);
    vst2q_s32((int32_t *)spectrum+MDCT_M-8-i, spectrum_end);
}
}

```

## M Validation des spectres de fréquences produits par les MDCT

### M.1 Code source

Code permettant de générer les spectres de fréquences par différentes MDCT avec différents signaux d'entrée. Les données sont sorties dans un fichier CSV afin de pouvoir être exploitées sous forme de graphique.

```
#include <fstream>
#include <iomanip>
#include <iostream>
#include <limits>
#include <cmath>
#include <cstring>

#include "sin_wave.h"
#include "ref_mdct.h"
#include "fftw3_mdct_f32.h"
#include "ne10_mdct_f32_c.h"
#include "ne10_mdct_i32_c.h"
#include "ne10_mdct_i32_neon.h"

#define FREQUENCY 440.0

template<typename T, size_t L>
void convert_to_absolute(T* input, T* output)
{
    for (size_t i = 0; i < L; i+= 2)
        output[i/2] = std::hypot(input[i], input[i+1]);
}

/**
 * @brief one algorithm to compare them all, prints the test data in a CSV file
 */
int main(void)
{
    srand(static_cast<unsigned>(time(0)));

    // generate the time signal (double)
    double time_f64[MDCT_WINDOW_LEN]__attribute__((aligned(16)));
    sin_float(time_f64, MDCT_WINDOW_LEN, 0.9, FREQUENCY, 0.0, FS);
    // generate the time signal (float)
    float time_f32[MDCT_WINDOW_LEN]__attribute__((aligned(16)));
    sin_float(time_f32, MDCT_WINDOW_LEN, 0.9, FREQUENCY, 0.0, FS);
    // generate the time signal (integer)
    int16_t time_i16[MDCT_WINDOW_LEN]__attribute__((aligned(16)));
    sin_int(time_i16, MDCT_WINDOW_LEN, 0.9, FREQUENCY, 0.0, FS);
    // generate time signal with multiple amplitudes (integer)
    double time_temp0[MDCT_WINDOW_LEN]__attribute__((aligned(16)));
    sin_float(time_temp0, MDCT_WINDOW_LEN, 1.0, FREQUENCY, 0.0, FS);
    double time_temp1[MDCT_WINDOW_LEN]__attribute__((aligned(16)));
    sin_float(time_temp1, MDCT_WINDOW_LEN, 0.5, (FREQUENCY*2.0), 0.0, FS);
    int16_t time_i16_multi_ampl[MDCT_WINDOW_LEN]__attribute__((aligned(16)));
    for (int i = 0; i < MDCT_WINDOW_LEN; ++i)
        time_i16_multi_ampl[i] = static_cast<int16_t>(
            (time_temp0[i] + time_temp1[i]) * 0.45 * pow(2.0, 15.0));
    // generate time signal with multiple frequencies (integer)
    sin_float(time_temp0, MDCT_WINDOW_LEN, 1.0, FREQUENCY, 0.0, FS);
    sin_float(time_temp1, MDCT_WINDOW_LEN, 1.0, (FREQUENCY*2.0), 0.0, FS);
```



```

double time_temp2[MDCT_WINDOW_LEN]__attribute__((aligned(16)));
sin_float(time_temp2, MDCT_WINDOW_LEN, 1.0, (FREQUENCY*10.0), 0.0, FS);
double time_temp3[MDCT_WINDOW_LEN]__attribute__((aligned(16)));
sin_float(time_temp3, MDCT_WINDOW_LEN, 1.0, (FREQUENCY*20.0), 0.0, FS);
double time_temp4[MDCT_WINDOW_LEN]__attribute__((aligned(16)));
sin_float(time_temp4, MDCT_WINDOW_LEN, 1.0, (FREQUENCY*40.0), 0.0, FS);
int16_t time_i16_multi_freq[MDCT_WINDOW_LEN]__attribute__((aligned(16)));
for (int i = 0; i < MDCT_WINDOW_LEN; ++i)
    time_i16_multi_freq[i] = static_cast<int16_t>(
        (time_temp0[i] + time_temp1[i] + time_temp2[i] + time_temp3[i] + time_temp4[i])
        * 0.18 * pow(2.0, 15.0));
// generate random time signal (integer)
int16_t time_i16_random[MDCT_WINDOW_LEN]__attribute__((aligned(16)));
for (int i = 0; i < MDCT_WINDOW_LEN; ++i)
    time_i16_random[i] = std::numeric_limits<int16_t>::max() * 2 * rand() / RAND_MAX
        - std::numeric_limits<int16_t>::max();
// generate windowed (MLT) time signal
sin_float(time_temp0, MDCT_WINDOW_LEN, 0.9, FREQUENCY, 0.0, FS);
int16_t time_i16_mlt[MDCT_WINDOW_LEN]__attribute__((aligned(16)));
for (int i = 0; i < MDCT_WINDOW_LEN; ++i)
    time_i16_mlt[i] = static_cast<int16_t>(
        time_temp0[i] * M_PI / MDCT_WINDOW_LEN * (i + 0.5)
        * 0.18 * pow(2.0, 15.0));

// perform the ref MDCT (double precision)
double ref_spectrum_f64[MDCT_M]__attribute__((aligned(16)));
ref_float_mdct(time_f64, ref_spectrum_f64);
double ref_f64_abs[MDCT_M2]__attribute__((aligned(16)));
convert_to_absolute<double, MDCT_M>(ref_spectrum_f64, ref_f64_abs);

// perform the ref MDCT (single precision)
float ref_spectrum_f32[MDCT_M]__attribute__((aligned(16)));
ref_float_mdct(time_f32, ref_spectrum_f32);
float ref_f32_abs[MDCT_M2]__attribute__((aligned(16)));
convert_to_absolute<float, MDCT_M>(ref_spectrum_f32, ref_f32_abs);

// perform the ref MDCT (integer)
int32_t ref_spectrum_i32[MDCT_M]__attribute__((aligned(16)));
ref_int_mdct(time_i16, ref_spectrum_i32);
int32_t ref_i32_abs[MDCT_M2]__attribute__((aligned(16)));
convert_to_absolute<int32_t, MDCT_M>(ref_spectrum_i32, ref_i32_abs);

int32_t ref_spectrum_i32_multi_ampl[MDCT_M]__attribute__((aligned(16)));
ref_int_mdct(time_i16_multi_ampl, ref_spectrum_i32_multi_ampl);
int32_t ref_i32_multi_ampl_abs[MDCT_M2]__attribute__((aligned(16)));
convert_to_absolute<int32_t, MDCT_M>(ref_spectrum_i32_multi_ampl, ref_i32_multi_ampl_abs);

int32_t ref_spectrum_i32_multi_freq[MDCT_M]__attribute__((aligned(16)));
ref_int_mdct(time_i16_multi_freq, ref_spectrum_i32_multi_freq);
int32_t ref_i32_multi_freq_abs[MDCT_M2]__attribute__((aligned(16)));
convert_to_absolute<int32_t, MDCT_M>(ref_spectrum_i32_multi_freq, ref_i32_multi_freq_abs);

int32_t ref_spectrum_i32_random[MDCT_M]__attribute__((aligned(16)));
ref_int_mdct(time_i16_random, ref_spectrum_i32_random);
int32_t ref_i32_random_abs[MDCT_M2]__attribute__((aligned(16)));
convert_to_absolute<int32_t, MDCT_M>(ref_spectrum_i32_random, ref_i32_random_abs);

int32_t ref_spectrum_i32_mlt[MDCT_M]__attribute__((aligned(16)));

```

```

ref_int_mdct(time_i16_mlt, ref_spectrum_i32_mlt);
int32_t ref_i32_mlt_abs[MDCT_M2]__attribute__((aligned(16)));
convert_to_absolute<int32_t, MDCT_M>(ref_spectrum_i32_mlt, ref_i32_mlt_abs);

// perform the FFTW3 MDCT
float fftw_spectrum_f32[MDCT_M]__attribute__((aligned(16)));
fftw3_mdct_f32 fftw3_mdct;
fftw3_mdct.mdct(time_f32, fftw_spectrum_f32);
float fftw_f32_abs[MDCT_M]__attribute__((aligned(16)));
convert_to_absolute<float, MDCT_M>(fftw_spectrum_f32, fftw_f32_abs);

// scale the FFTW3 spectrum to Q15
int32_t fftw_i32_abs[MDCT_M2]__attribute__((aligned(16)));
for (int i = 0; i < MDCT_M2; ++i)
    fftw_i32_abs[i] = static_cast<int32_t>(fftw_f32_abs[i]*pow(2.0, 15.0));

// perform the Ne10 MDCT f32 c
float ne10_spectrum_f32[MDCT_M]__attribute__((aligned(16)));
ne10_mdct_f32_c ne10_f32;
ne10_f32.mdct(time_f32, ne10_spectrum_f32);
float ne10_f32_abs[MDCT_M2]__attribute__((aligned(16)));
convert_to_absolute<float, MDCT_M>(ne10_spectrum_f32, ne10_f32_abs);

// perform the Ne10 MDCT i32 c
int32_t ne10_spectrum_i32_c[MDCT_M]__attribute__((aligned(16)));
ne10_mdct_i32_c ne10_i32_c;
ne10_i32_c.mdct(time_i16, ne10_spectrum_i32_c);
int32_t ne10_i32_c_abs[MDCT_M2]__attribute__((aligned(16)));
convert_to_absolute<int32_t, MDCT_M>(ne10_spectrum_i32_c, ne10_i32_c_abs);

// perform the Ne10 MDCT i32 neon
ne10_mdct_i32_neon ne10_i32_neon;

int32_t ne10_spectrum_i32_neon[MDCT_M]__attribute__((aligned(16)));
ne10_i32_neon.mdct(time_i16, ne10_spectrum_i32_neon);
int32_t ne10_i32_neon_abs[MDCT_M2]__attribute__((aligned(16)));
convert_to_absolute<int32_t, MDCT_M>(ne10_spectrum_i32_neon, ne10_i32_neon_abs);

int32_t ne10_spectrum_i32_neon_multi_ampl[MDCT_M]__attribute__((aligned(16)));
ne10_i32_neon.mdct(time_i16_multi_ampl, ne10_spectrum_i32_neon_multi_ampl);
int32_t ne10_i32_neon_multi_ampl_abs[MDCT_M2]__attribute__((aligned(16)));
convert_to_absolute<int32_t, MDCT_M>(ne10_spectrum_i32_neon_multi_ampl,
    ne10_i32_neon_multi_ampl_abs);

int32_t ne10_spectrum_i32_neon_multi_freq[MDCT_M]__attribute__((aligned(16)));
ne10_i32_neon.mdct(time_i16_multi_freq, ne10_spectrum_i32_neon_multi_freq);
int32_t ne10_i32_neon_multi_freq_abs[MDCT_M2]__attribute__((aligned(16)));
convert_to_absolute<int32_t, MDCT_M>(ne10_spectrum_i32_neon_multi_freq,
    ne10_i32_neon_multi_freq_abs);

int32_t ne10_spectrum_i32_neon_random[MDCT_M]__attribute__((aligned(16)));
ne10_i32_neon.mdct(time_i16_random, ne10_spectrum_i32_neon_random);
int32_t ne10_i32_neon_random_abs[MDCT_M2]__attribute__((aligned(16)));
convert_to_absolute<int32_t, MDCT_M>(ne10_spectrum_i32_neon_random, ne10_i32_neon_random_abs);

int32_t ne10_spectrum_i32_neon_mlt[MDCT_M]__attribute__((aligned(16)));
ne10_i32_neon.mdct(time_i16_mlt, ne10_spectrum_i32_neon_mlt);
int32_t ne10_i32_neon_mlt_abs[MDCT_M2]__attribute__((aligned(16)));

```

```

convert_to_absolute<int32_t, MDCT_M>(ne10_spectrum_i32_neon_mlt, ne10_i32_neon_mlt_abs);

// print the results in CSV file
std::ofstream csv_file;
csv_file.open("mdct.csv");
csv_file
    << "time_(ms), signal_(f64), signal_(f32), signal_(i16),"
    << "multi_amplitudes_signal, multi_frequencies_signal,"
    << "frequency_(Hz), ref_spectrum_f64, ref_spectrum_f32, ref_spectrum_i32,"
    << "FFTW3_spectrum_f32, FFTW3_spectrum_i32_(scaled_to_q15),"
    << "Ne10_spectrum_f32, Ne10_spectrum_i32_c, Ne10_spectrum_i32_neon,"
    << "ref_spectrum_multi_amplitudes, Ne10_spectrum_multi_amplitudes,"
    << "ref_spectrum_multi_frequencies, Ne10_spectrum_multi_frequencies,"
    << "ref_spectrum_random, Ne10_spectrum_random,"
    << "ref_spectrum_with_MLT, Ne10_spectrum_with_MLT,"
    << std::endl;

for (int i = 0; i < MDCT_M2; ++i)
    csv_file
        << i*1000.0/FS << ", "
        << time_f64[i] << ", "
        << time_f32[i] << ", "
        << time_i16[i] << ", "
        << time_i16_multi_ampl[i] << ", "
        << time_i16_multi_freq[i] << ", "
        << (i+1.0)*FS/MDCT_M << ", "
        << ref_f64_abs[i] << ", "
        << ref_f32_abs[i] << ", "
        << ref_i32_abs[i] << ", "
        << fftw_f32_abs[i] << ", "
        << fftw_i32_abs[i] << ", "
        << ne10_f32_abs[i] << ", "
        << ne10_i32_c_abs[i] << ", "
        << ne10_i32_neon_abs[i] << ", "
        << ref_i32_multi_ampl_abs[i] << ", "
        << ne10_i32_neon_multi_ampl_abs[i] << ", "
        << ref_i32_multi_freq_abs[i] << ", "
        << ne10_i32_neon_multi_freq_abs[i] << ", "
        << ref_i32_random_abs[i] << ", "
        << ne10_i32_neon_random_abs[i] << ", "
        << ref_i32_mlt_abs[i] << ", "
        << ne10_i32_neon_mlt_abs[i] << ", "
        << std::endl;

for (int i = MDCT_M2; i < MDCT_WINDOW_LEN; ++i)
    csv_file
        << i*1000.0/FS << ", "
        << time_f64[i] << ", "
        << time_f32[i] << ", "
        << time_i16[i] << ", "
        << time_i16_multi_ampl[i] << ", "
        << time_i16_multi_freq[i] << ", "
        << std::endl;

csv_file.close();

return 0;
}

```

## M.2 Compilation

Commandes CMake utilisées pour générer l'exécutable de test des MDCT.

```
# MDCTs to CSV file
add_executable(test_mdct test/validation/test_mdct.cpp
    src/sin_wave.cpp src/ref_mdct.cpp src/fftw3_mdct_f32.cpp
    src/ne10_mdct_f32_c.cpp src/ne10_mdct_i32_c.cpp src/ne10_mdct_i32_neon.cpp)
target_link_libraries(test_mdct NE10 fftw3f)
```

## N Mesure des performances des MDCT *Ne10* et MDCT de référence

### N.1 Code source

Code permettant de mesurer les performances des MDCT de *Ne10* en *float 32 plain C*, *integer 32 plain C*, *integer 32* avec optimisation NEON et de la MDCT de référence en *double* (en fonction de la variable de préprocesseur définie à la compilation). Le code mesure et affiche le temps d'exécution moyen et l'écart type. Ces informations sont calculées sur un nombre d'exécutions donné en paramètre à l'exécutable. Les MDCT sont testées avec le même signal sinusoïdal en entrée dont la valeur par défaut est de 200 Hz.

```
#include <iostream>
#include <cstring>

#include "args_parser.h"
#include "mdct_constants.h"
#include "sin_wave.h"
#include "Timers.h"

#ifdef FIXED_POINT_C    // fixed point arithmetic

#include "ne10_mdct_i32_c.h"

#define INPUT_DATA      int16_t
#define OUTPUT_DATA     int32_t
#define GENERATE_SIN    sin_int
#define MDCT            ne10_mdct_i32_c

#elif FIXED_POINT_NEON  // fixed point arithmetic

#include "ne10_mdct_i32_neon.h"

#define INPUT_DATA      int16_t
#define OUTPUT_DATA     int32_t
#define GENERATE_SIN    sin_int
#define MDCT            ne10_mdct_i32_neon

#elif FLOATING_POINT    // floating point arithmetic

#include "ne10_mdct_f32_c.h"

#define INPUT_DATA      float
#define OUTPUT_DATA     float
#define GENERATE_SIN    sin_float
#define MDCT            ne10_mdct_f32_c

#else                    // reference algorithm in floating point arithmetic

#include "ref_mdct.h"

#define INPUT_DATA      double
#define OUTPUT_DATA     double
#define GENERATE_SIN    sin_float

#endif
```

```

/**
 * @brief Run the MDCT on a single frame x times
 * the signal is a single tone configurable via the --sin parameter (200Hz by default)
 * the number of runs is setted by the --run parameter (1 by default)
 */
int main(int argc, char **argv)
{
    // initialize the parameters
    params p;
    try
    {
        p = parse_args(argc, argv);
    }
    catch(const std::runtime_error &err)
    {
        std::cerr << err.what() << std::endl;
        usage();
        return 1;
    }

    // print which MDCT will be tested
#ifdef FIXED_POINT_C
    std::cout << "MDCT_Ne10_i32_plain_C:" <<
        << p.runs << "runs_with_a_single_tone_signal(" << p.frequency << "Hz)" << std::endl;
#elif FIXED_POINT_NEON
    std::cout << "MDCT_Ne10_i32_Neon:" <<
        << p.runs << "runs_with_a_single_tone_signal(" << p.frequency << "Hz)" << std::endl;
#elif FLOATING_POINT
    std::cout << "MDCT_Ne10_f32_plain_C:" <<
        << p.runs << "runs_with_a_single_tone_signal(" << p.frequency << "Hz)" << std::endl;
#else
    std::cout << "Reference_MDCT:" <<
        << p.runs << "runs_with_a_single_tone_signal(" << p.frequency << "Hz)" << std::endl;
#endif

    // generate the time signal
    INPUT_DATA time_signal[MDCT_WINDOW_LEN] __attribute__((aligned(16)));
    memset(&time_signal, 0, MDCT_WINDOW_LEN*sizeof(INPUT_DATA));
    GENERATE_SIN(time_signal, MDCT_WINDOW_LEN, 0.9, p.frequency, 0.0, FS);

    // initialize an empty spectrum
    OUTPUT_DATA mdct_spectrum[MDCT_M] __attribute__((aligned(16)));
    memset(&mdct_spectrum, 0, MDCT_M*sizeof(OUTPUT_DATA));

    // perform the MDCT x times
    EvsHwLGPL::CTimers timer;
    int64_t *runtimes = static_cast<int64_t *>(malloc(p.runs * sizeof(int64_t)));

#ifdef REF
    for (unsigned i = 0; i < p.runs; ++i) {
        timer.Start();
        ref_float_mdct<INPUT_DATA>(time_signal, mdct_spectrum);
        timer.Stop();
        runtimes[i] = timer.GetTimeElapsed();
    }

```

```

#else
    MDCT ne10_mdct;
    for (unsigned i = 0; i < p.runs; ++i) {
        timer.Start();
        ne10_mdct.mdct(time_signal, mdct_spectrum);
        timer.Stop();
        runtimes[i] = timer.GetTimeElapsed();
    }
#endif

    // compute the average run time
    double avg = 0.0;
    for (unsigned i = 0; i < p.runs; ++i) avg += static_cast<double>(runtimes[i]);
    avg = avg / static_cast<double>(p.runs);
    std::cout << "average_run_time:_" << avg << "_ns" << std::endl;

    // compute the standard deviation
    double dev = 0.0;
    for (unsigned i = 0; i < p.runs; ++i) dev += static_cast<double>(runtimes[i]) - avg;
    dev = dev * dev / static_cast<double>(p.runs);
    dev = sqrt(dev);
    std::cout << "standard_deviation:_" << dev << std::endl;

    // clean
    free(runtimes);

    return 0;
}

```

## N.2 Compilation

Commandes CMake pour la compilation des différents exécutables de tests de performance des MDCT :

- la variable `FLOATING_POINT` permet de compiler l'exécutable `run_mdct_f32_c` pour tester la MDCT basée sur la FFT de *Ne10* en *float 32 plain C*;
- la variable `FIXED_POINT_C` permet de compiler l'exécutable `run_mdct_i32_c` pour tester la MDCT basée sur la FFT de *Ne10* en *integer 32 plain C*;
- la variable `FIXED_POINT_NEON` permet de compiler l'exécutable `run_mdct_i32_neon` pour tester la MDCT basée sur la FFT de *Ne10* en *integer 32* avec optimisations NEON;
- la variable `REF` permet de compiler l'exécutable `run_mdct_ref` pour tester la MDCT de référence en *double*;

```

# Ne10 f32 x times on a single frame
add_executable(run_ne10_mdct_f32_c test/performance/run_ne10_mdct.cpp
    src/args_parser src/sin_wave.cpp src/Timers.cpp
    src/ne10_mdct_f32_c.cpp)
target_compile_definitions(run_ne10_mdct_f32_c PUBLIC -DFLOATING_POINT)
target_link_libraries(run_ne10_mdct_f32_c NE10)

# Ne10 i32 plain C x times on a single frame
add_executable(run_ne10_mdct_i32_c test/performance/run_ne10_mdct.cpp
    src/args_parser src/sin_wave.cpp src/Timers.cpp
    src/ne10_mdct_i32_c.cpp)
target_compile_definitions(run_ne10_mdct_i32_c PUBLIC -DFIXED_POINT_C)
target_link_libraries(run_ne10_mdct_i32_c NE10)

```

```

# Ne10 i32 neon x times on a single frame
add_executable(run_ne10_mdct_i32_neon test/performance/run_ne10_mdct.cpp
    src/args_parser src/sin_wave.cpp src/Timers.cpp
    src/ne10_mdct_i32_neon.cpp)
target_compile_definitions(run_ne10_mdct_i32_neon PUBLIC -DFIXED_POINT_NEON)
target_link_libraries(run_ne10_mdct_i32_neon NE10)

# Ref MDCT x times on a single frame
add_executable(run_ref_mdct test/performance/run_ne10_mdct.cpp
    src/args_parser src/sin_wave.cpp src/Timers.cpp
    src/ref_mdct.cpp)
target_compile_definitions(run_ref_mdct PUBLIC -DREF)
target_link_libraries(run_ref_mdct NE10)

```



## O Mesure des performances de la MDCT *FFTW3* en *float 32*

### O.1 Code source

Code permettant de mesurer les performances de la MDCT basée sur la FFT de *FFTW3* en *float 32*. Le code mesure et affiche le temps d'exécution moyen et l'écart type. Ces informations sont calculées sur 10 000 000 d'exécutions. La MDCT est testée avec le même signal sinusoïdal en entrée dont la valeur est définie à 440 Hz.

```
#include <iostream>
#include <cstring>

#include "fftw3_mdct_f32.h"
#include "sin_wave.h"
#include "Timers.h"

#define RUNS          10000000
#define FREQUENCY     440.0

int main()
{
    // print which MDCT will be tested
    std::cout << "MDCT_FFTW3_f32_plain_C:_"
        << RUNS << "_runs_with_a_single_tone_signal_" << FREQUENCY << "Hz)" << std::endl;

    // generate the time signal
    float time_signal[MDCT_WINDOW_LEN];
    sin_float(time_signal, MDCT_WINDOW_LEN, 0.9, FREQUENCY, 0.0, FS);

    // initialize an empty spectrum
    float spectrum[MDCT_M];
    memset(spectrum, 0, MDCT_M * sizeof(float));

    // initialize the configuration
    fftw3_mdct_f32 fftw3_mdct;

    // perform the MDCT
    EvsHwLGPL::CTimers timer;
    int64_t *runtimes = static_cast<int64_t*>(malloc(RUNS * sizeof(int64_t)));
    for (int i = 0; i < RUNS; ++i)
    {
        timer.Start();
        fftw3_mdct.mdct(time_signal, spectrum);
        timer.Stop();
        runtimes[i] = timer.GetTimeElapsed();
    }

    // compute the average run time
    double avg = 0.0;
    for (int i = 0; i < RUNS; ++i) avg += static_cast<double>(runtimes[i]);
    avg = avg / static_cast<double>(RUNS);
    std::cout << "average_run_time:_" << avg << "_ns" << std::endl;

    // compute the standard deviation
    double dev = 0.0;
    for (int i = 0; i < RUNS; ++i) dev += static_cast<double>(runtimes[i]) - avg;
    dev = dev * dev / static_cast<double>(RUNS);
    dev = sqrt(dev);
    std::cout << "standard_deviation:_" << dev << std::endl;
```

```
    // clean
    free(runtimes);

    return 0;
}
```

## O.2 Compilation

Commandes CMake pour la compilation de l'exécutable de tests de performance de la MDCT basée sur la FFT de *FFTW3* en *float 32*.

```
# FFTW3 f32
add_executable(run_fftw3_mdct_f32 test/performance/run_fftw3_mdct_f32.cpp
    src/fftw3_mdct_f32.cpp src/sin_wave.cpp src/Timers.cpp)
target_link_libraries(run_fftw3_mdct_f32 fftw3f)
```